## **TUGAS AKHIR**

# UPAYA PENINGKATAN PERFORMANCE ACWH DENGAN PENAMBAHAN SIRIP PADA APK SHELL HELICAL COIL

Diajukan Untuk Memenuhi Syarat Memperoleh Gelar Sarjana Teknik Mesin Pada Fakultas Teknik Universitas Muhammadiyah Sumatera Utara

**Disusun Oleh:** 

<u>ULIL AMRI</u> 1507230164



PROGRAM STUDI TEKNIK MESIN
FAKULTAS TEKNIK
UNIVERSITAS MUHAMMADIYAH SUMATERA UTARA
MEDAN
2020

# HALAMAN PENGESAHAN

# Tugas Akhir ini diajukan oleh:

Nama : Ulil Amri NPM : 1507230164 Program Studi : Teknik Mesin

Judul Skripsi : Upaya Peningkatan Performance ACWH Dengan

Penambahan Sirip Pada APK Shell Helical Coil

Bidang ilmu : Konversi Energi

Telah berhasil dipertahankan di hadapan Tim Penguji dan diterima sebagai salah satu syarat yang diperlukan untuk memperoleh gelar Sarjana Teknik pada Program Studi Teknik Mesin, Fakultas Teknik, Universitas Muhammadiyah Sumatera Utara.

Medan, 14 Februari 2020

## Mengetahui dan menyetujui:

Dosen Penguji I

Dosen Penguji II

Khairul Umurani, S.T., M.T

Murulmene

Affandi, S.T., M.T

Dosen Penguji III

Chandra A Siregar, S.T., M.T

Dosen Penguji IV

Ahmad Marabdi Siregar, S.T., M.T.

am Studi Teknik Mesin

di, S.T., M.T

## SURAT PERNYATAAN KEASLIAN TUGAS AKHIR

Saya yang bertanda tangan di bawah ini:

Nama Lengkap

: Ulil Amri

Tempat / Tanggal Lahir: Medan / 05 November 1997

NPM Fakultas : 1507230164

Program Studi

: Teknik

: Teknik Mesin

Menyatakan dengan sesungguhnya dan sejujurnya, bahwa laporan Tugas Akhir saya yang berjudul:

"Upaya Peningkatan Performance ACWH Dengan Penambahan Sirip Pada Apk Shell Helical Coil",

Bukan merupakan plagiarisme, pencurian hasil karya milik orang lain, hasil kerja orang lain untuk kepentingan saya karena hubungan material dan non-material, ataupun segala kemungkinan lain, yang pada hakekatnya bukan merupakan karya tulis Tugas Akhir saya secara orisinil dan otentik.

Bila kemudian hari diduga kuat ada ketidaksesuaian antara fakta dengan kenyataan ini, saya bersedia diproses oleh Tim Fakultas yang dibentuk untuk melakukan verifikasi, dengan sanksi terberat berupa pembatalan kelulusan/kesarjanaan saya.

Demikian Surat Pernyataan ini saya buat dengan kesadaran sendiri dan tidak atas tekanan ataupun paksaan dari pihak manapun demi menegakkan integritas akademik di Program Studi Teknik Mesin, Fakultas Teknik, Universitas Muhammadiyah Sumatera Utara.

Medan, 11 Februari 2020

Saya yang menyatakan,

Ulil Amri

#### **ABSTRAK**

Pada era globalisasi sekarang ini air conditioner (AC) dan pemanas air sudah menjadi kebutuhan umum pada rumah tangga, gedung-gedung perkantoran maupun rumah sakit juga sering memakai sistem ini. Hal ini menunjukkan bahwa kebutuhan akan daya listrik semakin meningkat. Untuk mengurangi konsumsi listrik yang cukup tinggi, akibat penggunaan air conditioner (AC) sekaligus pemanas air elektrik, dapat digunakan sistem ACWH (Air Conditioner Water Heater). Cara kerja sistem ACWH ini adalah memanfaatkan panas yang terbuang dari sistem AC untuk memanaskan air dengan penambahan alat penukar kalor bersirip, dimana alat penukar kalor dirancang untuk memanfaatkan energi yang sudah ada didalam sistem. Dengan demikian, pada saat menggunakan sistem ACWH ini sangat menguntungkan bagi penggunanya karena mendapatkan dua keuntungan sekaligus, yaitu pendinginan ruangan dan pemanasan air serta menghemat energi.Sementara rumusan masalah pada penelitian ini yaitu bagaimana mengupayakan peningkatan laju perpindahan panas dengan penambahan sirip pada alat penukar kalor dan juga untuk mengetahui efektivitas alat penukar kalor yang telah dipasang sirip untuk memanaskan air. Penelitian ini menggunakan metode penelitian eksperimental dengan melakukan pengujian pada temperature AC 16°C, 18°C, dan 20°C,. Tempat pelaksanaan penelitian ini dilakukan dilaboratorium proses produksi dan prestasi mesin Universitas Muhammadiyah Sumatera Utara. Adapun sumber data yang digunakan yaitu data yang dihasilkan dan diambil saat pengujian mesin ACWH.Hasil pengujian menunjukan bahwa alat penukar kalor yang telah dipasang sirip mampu menghasilkan temperatur air yang lebih besar dibandingkan dengan alat penukar kalor tanpa sirip, dengan hasil pemanasan air pada temperatur  $AC16^{\circ}C = 54,69^{\circ}C$ , pada temperatur AC18°C = 55°C, dan pada temperatur AC20°C = 52,75°C. Dari hasil pengujian ini menunjukan bahwa sirip mempunyai peranan penting untuk peningkatan laju perpindahan panas pada alat penukar kalor.

Kata kunci : Alat Penukar Kalor, Sirip, Perpindahan Panas.

#### **ABSTRACT**

In the current era of globalization, air conditioners (AC) and water heaters have become a common need in households, office buildings and hospitals also often use this system. This shows that the demand for electric power is increasing. This shows that the demand for electric power is increasing. To reduce electricity consumption which is quite high, due to the use of air conditioners (AC) as well as electric water heaters, an ACWH (Air Conditioner Water Heater) system can be used. The workings of this ACWH system are to utilize the heat wasted from the AC system to heat water by adding finned heat exchangers, where the heat exchanger is designed to utilize the energy already present in the system. Thus, when using this ACWH system it is very beneficial for its users because it gets two benefits at once, namely cooling the room and heating water and saving energy. While the formulation of the problem in this study is how to strive to increase the rate of heat transfer by adding fins to the heat exchanger and also to find out the effectiveness of the heat exchanger that has been installed fins to heat water. This study uses an experimental research method by testing at temperatures of 16 °C, 18 °C, and 20 °C. The place of this research was carried out in the laboratory of the production process and machine achievements of the University of Muhammadiyah North Sumatra. The data source used is the data generated and retrieved when testing the ACWH engine. The test results show that the heat exchanger which has been installed with fins is able to produce a greater water temperature compared to the heat exchanger without fins, with the result of water heating at AC temperature 16  $^{\circ}C$  = 54.69  $^{\circ}C$ , at AC temperature 18  $^{\circ}C$  = 55  $^{\circ}C$ , and at AC temperature 20  $^{\circ}$ C = 52.75  $^{\circ}$ C. From the results of this test show that the fins have an important role to increase the rate of heat transfer in the heat exchanger.

Keywords: Heat Exchanger, Fins, Heat Transfer.

#### **KATA PENGANTAR**

Dengan nama Allah Yang Maha Pengasih lagi Maha Penyayang. Segala puji dan syukur penulis ucapkan kehadirat Allah SWT yang telah memberikan karunia dan nikmat yang tiada terkira. Salah satu dari nikmat tersebut adalah keberhasilan penulis dalam menyelesaikan laporan Tugas Akhir ini yang berjudul "Upaya Peningkatan *Performance* ACWH Dengan Penambahan Sirip Pada APK *Shell Helical Coil*" sebagai syarat untuk meraih gelar akademik Sarjana Teknik pada Program Studi Teknik Mesin, Fakultas Teknik, Universitas Muhammadiyah Sumatera Utara (UMSU), Medan.

Banyak pihak telah membantu dalam menyelesaikan laporan Tugas Akhir ini, untuk itu penulis menghaturkan rasa terimakasih yang tulus dan dalam kepada:

- Bapak Chandra A Siregar, S.T., M.T., selaku Dosen Pembimbing I dan Penguji yang telah banyak membimbing dan mengarahkan penulis dalam menyelesaikan Tugas Akhir ini. Sekaligus Sekertaris Program Studi Teknik Mesin, Universitas Muhammadiyah Sumatera Utara.
- 2. Bapak Ahmad Marabdi Siregar, S.T., M.T., selaku Dosen Pembimbing II dan Penguji yang telah banyak membimbing dan mengarahkan penulis dalam menyelesaikan Tugas Akhir ini.
- 3. Bapak Khairul Umurani, S.T,. M.T, selaku Dosen Pembanding I dan Penguji yang telah banyak memberikan koreksi dan masukan kepada penulis dalam menyelesaikan Tugas Akhir ini..
- 4. Bapak Affandi, S.T., M.T., Selaku Dosen Pembanding II dan Pengujiyang telah banyak memberikan koreksi dan masukan kepada penulis dalam menyelesaikan Tugas Akhir ini, sekaligus sebagai Ketua Program Studi Teknik Mesin, Universitas Muhammadiyah Sumatera Utara.
- 5. Bapak Munawar Alfansury Siregar, S.T,. M.T, selaku Dekan Fakultas Teknik, Universitas Muhammadiyah Sumatera Utara.
- Seluruh Bapak/Ibu Dosen di Program Studi Teknik Mesin, Universitas Muhammadiyah Sumatera Utara yang telah banyak memberikan ilmu keteknikmesinan kepada penulis.

- 7. Orang tua penulis: Syamsul Anwar dan Ustina, yang telah bersusah payah membesarkan dan membiayai studi penulis.
- 8. Bapak/Ibu Staf Administrasi di Biro Fakultas Teknik, Universitas Muhammadiyah Sumatera Utara.
- 9. Sahabat-sahabat penulis: Setiawan Hadi, Arifin Handrianto, Fadli Umri Pratama, Yogi Pranata, Febry Andrean, Andri Kurniawan, Dana Setiawan, Marwan Anggara, Muhammad Imam, Iqbal Fauzi, Indah Mustika, Putra Hamzah Gumay dan lainnya yang tidak mungkin namanya disebut satu per satu.

Laporan Tugas Akhir ini tentunya masih jauh dari kesempurnaan, untuk itu penulis berharap kritik dan masukan yang konstruktif untuk menjadi bahan pembelajaran berkesinambungan penulis di masa depan. Semoga laporan Tugas Akhir ini dapat bermanfaat bagi dunia konstruksi teknik Mesin.

Medan, 11 Februari 2020

Ulif Amri

# **DAFTAR ISI**

LEMBAR PENGESAHAN LEMBAR PERNYATAN KEASLIAN SKRIPSI ABSTRAK ABSTRACT KATA PENGANTAR DAFTAR ISI DAFTAR TABEL DAFTAR GAMBAR DAFTAR NOTASI		ii iv v vi viii x xi	
BAB 1	PEN	NDAHULUAN	1
		Latar Belakang	1
	1.2.	Rumusan masalah	2
	1.3.	Ruang lingkup	2
		Tujuan	3
	1.5.	Manfaat	3
BAB 2	TIN	JAUAN PUSTAKA	4
	2.1.	Definisi Perpindahan Panas	4
		Alat Penukar Kalor	6
		Prosedur Perencanaan Alat Penukar Kalor	8
		Konduktivitas Termal	9
	2.5.	Sirip (Fin)	9
BAB 3	MET	TODOLOGI	15
	3.1	Tempat dan Waktu	15
		3.1.1. Tempat	15
		3.1.2. Waktu Penelitian	15
	3.2	Bahan dan Alat	15
		3.2.1. Alat Yang Digunakan	15
	2.2	3.2.2.Bahan Yang Digunakan	22
	3.3	8 8	24
BAB 4		Prosedur Penelitian Shell Helical Coil Bersirip SIL DAN PEMBAHASAN	25 <b>27</b>
DAD 7	4.1	Prosedur Penelitian	27
	7.1	4.1.1. Perancangan <i>Shell Helical Coil</i> Bersirip	27
		4.1.2. Proses Pembuatan <i>Shell Helical Coil</i> Bersirip	29
	4.2	Proses Pengujian ACWH	33
	4.3	Set Up Alat Uji ACWH Shell Helical Coil Bersirip	36
	4.4	Hasil Pengujian	40
		4.4.1 Data Hasil Pengujian Temperatur Air, Temperatur K	
		Kompresor, Dan Temperatur Masuk Kondensor	40
		4.4.2 Hasil Pengujian Waktu Terhadap Temperatur Air	53

	4.4.3	Hasil Pengujian Waktu Terhadap Temperatur Keluar	
		Kompresor	54
	4.4.4	Hasil Pengujian Waktu Terhadap Temperatur Masuk	
		Kondensor	55
4.5 Pengo	olahan Dan	Perhitungan Data	56
	4.5.1	Perhitungan Perpindahan Panas Dari Shell helical Coil	
	Ве	ersirip Ke Air	56
BAB 5	KESIMP	PULAN DAN SARAN	80
	5.1. Kes	simpulan	80
	5.2. Sar	an	80
DAFTAR	R PUSTAK	$\mathbf{A}$	81
LAMPIR	AN		
LEMBAH	R ASISTE	NSI	
DAFTAR	RIWAVA	T HIDLIP	

# DAFATAR TABEL

Tabel 2.1 Konduktivitas Thermal (JP. Holman, 2010)	9
Tabel 2.4 Road Map Penelitian	14
Tabel 3.1 jadwal dan kegiatan saat melakukan penelitian	15
Tabel 4.1 Data Hasil Pengujian Temperatur Air	53
Tabel 4.2 Data Hasil Pengujian Temperatur Keluar Kompresor	54
Tabel 4.3 Data Hasil Pengujian Temperatur Masuk Kondensor	55
Tabel 4.4 propertis air	57
Tabel 4.5 propertis refrigerant R22	58
Tabel 4.6 propertis refrigerant R22	58
Tabel 4.7 propertis refrigerant R22	59
Tabel 4.8 propertis refrigerant R22	59
Tabel 4.9 propertis refrigerant R22	60
Tabel 4.10 propertis refrigerant R22	60
Tabel 4.11 propertis air	64
Tabel 4.12 propertis refrigerant R22	65
Tabel 4.13 propertis refrigerant R22	65
Tabel 4.14 propertis refrigerant R22	66
Tabel 4.15 propertis refrigerant R22	66
Tabel 4.16 propertis refrigerant R22	67
Tabel 4.17 propertis refrigerant R22	67
Tabel 4.18 propertis air	71
Tabel 4.19 propertis refrigerant R22	72
Tabel 4.20 propertis refrigerant R22	72
Tabel 4.21 propertis refrigerant R22	73
Tabel 4.22 propertis refrigerant R22	73
Tabel 4.23 propertis refrigerant R22	74
Tabel 4.24 propertis refrigerant R22	74
Tabel 4.25 Data Hasil Perhitungan APK Shell Helical Coil Bersirip.	77
Tabel 4.26Data Hasil Perhitungan APK Shell Helical Coil Tanpa Sirip	77
Tabel 4.27Perbandingan Temperatur Air <i>Shell Helical Coil</i> Bersirip Der <i>Helical Coil</i> Tanpa Sirip.	ngan <i>Shell</i> 79

# **DAFTAR GAMBAR**

Gambar 2.1Laju Perpindahan Panas Konduksi (Kosim Abdurohman, 2	(014)	5
Gambar 2.2Perpindahan Panas Konveksi (JP.Holman, 2010)		5
Gambar 2.3 Perpindahan Panas Radiasi (JP.Holman.2010)		6
Gambar 2.4sirip (JP.Holman.2010)	11	
Gambar 3.1 Gunting Potong	16	
Gambar 3.2 Meteran		16
Gambar 3.3 Alat Las		16
Gambar 3.4 Tang		17
Gambar 3.5 Unit Indoor AC Split		17
Gambar 3.6 Unit Outdoor AC Split		17
Gambar 3.7Pipe Cutter		18
Gambar 3.8Flaring Tool		18
Gambar 3.9 Sensor Suhu		19
Gambar 3.10 Kunci Pas		19
Gambar 3.11 Nepel		19
Gambar 3.12 Kunci L	,	20
Gambar 3.13 Manifold Gauge	,	20
Gambar 3.14 Arduino	,	20
Gambar 3.15 Alat Uji ACWH	,	21
Gambar 3.16. Lembaran pelat		22
Gambar 3.17 Pipa Tembaga		22
Gambar 3.18 Kawat Las Tembaga		22
Gambar 3.19 Freon (R22)		23
Gambar 4.1. Laptop	,	27
Gambar 4.2 Software Solidork 2014	,	27
Gambar 4.3 plat tembaga dan pipa tembaga	,	28
Gambar 4.4 Rancangan APK Shell Helical coil Bersirip.	,	28
Gambar 4.5 Dimensi Rancangan APK Shell Helical Coil Bersirip.	,	29
Gambar 4.6 Pembuatan Lilitan		30
Gambar 4.7 Pengelasan <i>Helical Coil</i>	,	30

Gambar 4.8 Pemotongan Pelat Tembaga	30
Gambar 4.9 Pembentukan Sirip	31
Gambar 4.10 Proses Pemasangan Sirip Terhadap APK	31
Gambar 4.11 Proses Pengelasan	32
Gambar 4.12 Hasil Pengelasan	32
Gambar 4.13 Pemasangan <i>Helical Coil</i> ke Dalam Tangki	33
Gambar 4.14. Menyambung Alat Penukar Kalor ke Jalur Refrigrant	33
Gambar 4.15 Percobaan Pengujian ACWH	34
Gambar 4.16 Pengisian Freon	34
Gambar 4.17 Pengisian Air	35
Gambar 4.18 Pengambilan Data	35
Gambar 4.19.Bagian-Bagian Komponen Alat Uji ACWH (Shell Helio	cal Coil
Bersirip)	36
Gambar 4.20. Kabel Koneksi	36
Gambar 4.21. Bread Board	37
Gambar 4.22. Tangki	37
Gambar 4.23. Sensor Suhu Air	37
Gambar 4.24. Sensor Suhu Keluar Kompresor	37
Gambar 4.25. Sensor Suhu Masuk Kondensor	38
Gambar 4.26. Unit Indoor AC	38
Gambar 4.27. APK Shell Helical Coil Bersirip	38
Gambar 4.28. Pipa Freon	39
Gambar 4.29. Rangka	39
Gambar 4.30. Pipa Keluar Kompresor	39
Gambar 4.31. Pipa Masuk Kondensor	39
Gambar 4.32. Unit Outdoor AC	40
Gambar 4.33. Data Pengujian Temperatur Awal Suhu 16 °C	41
Gambar 4.34. Data Pada Waktu Memulai Pengujian, Suhu 16 °C	41
Gambar 4.35. Data Hasil Pengujian Pada Waktu 10 menit Di Suhu 16	5°C 42
Gambar 4.36. Data Hasil Pengujian Pada Waktu 20 menit Di Suhu 16	5°C 42
Gambar 4.37. Data Hasil Pengujian Pada Waktu 30 menit Di Suhu 16	5°C 43
Gambar 4.38. Data Hasil Pengujian Pada Waktu 40 menit Di Suhu 16	5°C 43

Gambar 4.39. Data Hasil pengujian Pada Waktu 50 menit Di Suhu 16°C	44
Gambar 4.40. Data Hasil Pengujian Pada Waktu 60 menit Di Suhu 16°C	44
Gambar 4.41. Data Hasil Pengujian Temperatur Awal Di Suhu 18°C	45
Gambar 4.42. Data Pada Waktu Memulai Pengujian Di Suhu 18°C	45
Gambar 4.43. Data Hasil Pengujian Pada Waktu 10 menit Di Suhu 18°C	46
Gambar 4.44. Data Hasil Pengujian Pada Waktu 20 menit Suhu 18°C	46
Gambar 4.45. Data Hasil Pengujian Pada Waktu 30 menit Suhu 18°C	47
Gambar 4.46. Data Hasil Pengujian Pada Waktu 40 menit Suhu 18°C	47
Gambar 4.47. Data Hasil Pengujian Pada Waktu 50 menit Suhu 18°C	48
Gambar 4.48. Data Hasil Pengujian Pada Waktu 60 menit Suhu 18°C	48
Gambar 4.49. Data Hasil Temperatur Awal Di Suhu 20°C	49
Gambar 4.50. Data Hasil Memulai Pengujian Di Suhu 20°C	49
Gambar 4.51. Data Hasil Pengujian Pada Waktu 10 menit Suhu 20°C	50
Gambar 4.52. Data Hasil Pengujian Pada Waktu 20 menit Suhu 20°C	50
Gambar 4.53. Data Hasil Pengujian Pada Waktu 30 menit Suhu 20°C	51
Gambar 4.54. Data Hasil Pengujian Pada Waktu 40 menit Suhu 20°C	51
Gambar 4.55. Data Hasil Pengujian Pada Waktu 50 menit Suhu 20°C	52
Gambar 4.56. Data Hasil Pengujian Pada Waktu 60 menit Suhu 20°C	52
Gambar 4.57 Grafik Perbandingan Waktu Terhadap Temperatur Air	53
Gambar 4.58 Grafik Perbandingan Waktu Terhadap Temperatur Keluar	
Kompresor	54
Gambar 4.59 Grafik Waktu Terhadap Temperatur Masuk Kondensor	55
Gambar 4.60 Grafik Perbandingan Laju Perpindahan Panas Shell Helical	
CoilBersirip Dengan Shell Helical Coil Tanpa Sirip terhadap Temperatur AC.	
80Gambar 4.61 Grafik Perbandingan Temperatur Air Shell Helical Coil Bersir	ip
Dengan Shell Helical Coil Tanpa Sirip terhadap Temperatur AC.81	

#### **DAFTAR NOTASI**

Q<sub>cond</sub> = Laju perpindahan panas konduksi (watt)

K = Konduktivitas thermal bahan (W/m.K)

A = Luar penampang tegak lurus terhadap arah aliran panas  $(m^2)$ 

 $\Delta t/\Delta x$  = Gradien suhu (perubahan suhu terhadap arah x) (K/m)

F = Faktor yang bergantung pada geometri dan sifat permukaan

δ = Konstanta stefan boltzmann 5,67 × 10<sup>-8</sup> (W/m<sup>2</sup>k<sup>4</sup>)

A = Luas permukaan,  $(m^2)$ 

 $T_1,T_2$  = Temperatur, (K)

 $U_o$  = Koefisien perpindahan panas keseluruhan yang didasarkan

atas luas tube, (w.m².C)

 $h_o$  = Koefisien perpindahan panas lapisan film pada bagian

luar tube (w/m<sup>2</sup>.C)

 $h_{od}$  = Koefisien perpindahan panas kotoran yang berada pada

bagian luar tube (fouling factor), (w/m<sup>2</sup>.C)

 $h_{id}$  = Koefisien perpindahan panas lapisan kotoran yang ada

pada sebelah dalam tube, (w/m².C)

 $h_i$  = Koefisien perpindahan panas lapisan kotoran yang ada pada

sebelah dalam tube, (w/m².C)

 $d_o$  = Diameter luar tube, (m)

 $d_i$  = Diameter dalam tube, (m)

V = Volume air (liter)

 $d_i$  = Diameter dalam pipa (m)

d<sub>o</sub> = Diameter luar pipa (m)

L = Panjang pipa (m)

 $T_{ai}$  = Temperatur awal air ( ${}^{\circ}$ C)

 $T_{ao}$  = Temperatur akhir air ( ${}^{\circ}$ C)

 $\Delta T_{air}$  = Selisih temperatur air (°C)

 $T_{ci}$  = Temperatur masuk tangki (°C)

 $T_{co}$  = Temperatur keluar tangki ( ${}^{\circ}$ C)

 $\Delta T_{coil}$  = Selisih Temperatur *Refrigerant* (°C)

L = Panjang Sirip (cm)

T = Tebal Sirip (mm)

A = Luas Permukaan Sirip (cm)

W = Energi (MJ)

 $T_{ra}$  = Temperatur Rata-rata air (°C)

 $C_{air}$  = panas jenis air (j/kg.°c)

 $h_o$  = koefisien perpindahan panas pada sisi luar coil (W/m<sup>2.o</sup>c)

 $Q_{coil}$  = kapasitas penukar pakar (W)

 $\dot{m}$  = laju aliran massa Freon (kg/s)

H<sub>o</sub> = Entalpy keluar tangki (kj/kg)

H<sub>i</sub> = Entalpy masuk tangki (kj/kg)

 $T_{rc}$  = Temperatur Rata-rata Coil (°C)

v = Laju refrigerant (m/s)

ρ = Rapat massa (*density*) freon (kg/m<sup>3</sup>)

Re = Bilangan reynold

 $\mu$  = Viskositas Freon (kg/m.s)

Nu = Bilangan nusselt

D = Diameter apk (m)

Pr = Bilangan prandalt

h<sub>i</sub> = Koefisien perpindahan panas sisi dalam coil

 $R_{th}$  = Resistensi thermal ( ${}^{\circ}C/W$ )

U = koefisien perpindahan panas menyeluruh  $(w/m^2)^{\circ}$ 

Q = laju perpindahan panas dari helical coil ke air (W)

## BAB 1 PENDAHULUAN

## 1.1. Latar Belakang

Pada era globalisasi sekarang ini air conditioner (AC) dan water heater sudah menjadi kebutuhan umum pada rumah tangga, gedung-gedung perkantoran maupun rumah sakit. Hal ini menunjukkan bahwa kebutuhan akan daya listrik semakin meningkat. Untuk mengurangi konsumsi listrik yang cukup tinggi akibat penggunaan air conditioner (AC) sekaligus pemanas air elektrik maupun pemanas air tenaga surya dapat digunakan sistem ACWH (Air Conditioner Water Heater). ACWH memang bukan sistem yang baru, sistem ini telah lama dikembangkan sebelumnya. Cara kerja sistem ACWH ini adalah memanfaatkan panas yang terbuang dari sistem AC untuk memanaskan air dengan penambahan alat penukar kalor. Dimana alat penukar kalor yang digunakan tidak memerlukan energi tambahan, tetapi alat penukar kalor dirancang untuk memanfaatkan sebesar besarnya energi yang ada dalam sistem. Dengan demikian, pada saat menggunakan sistem ACWH ini sangat menguntungkan bagi penggunanya karena mendapatkan dua keuntungan sekaligus, yaitu pendinginan ruangan dan pemanasan air h emat energi sehingga dapat mengurangi konsumsi listrik yang tinggi sebelumnya.

Pada umumnya dalam penggunaan AC (*Air Conditioner*) dengan kapasitas pendinginan kecil sedang maupun besar kalor yang dibuang oleh panas yang dihasilkan dari *kompresor* AC yang bertempratur tinggi, biasanya dibiarkan dibuang percuma. Kalor ini dapat dimanfaatkan sebagai pemanas air, sehingga didapat air panas tanpa perlu menggununakan elemen listrik untuk memanaskan air. pemanfaatan panas buang kompresor AC ini akan menghemat energi listrik untuk keperluan air panas.

Sirip sebagai salah satu bagian penting dalam peracangan alat penukar panas tipe *Shell Helical-Coil* bersirip.Permukaan bersirip biasanya digunakan untuk mempertinggi perpindahan panas, dan meningkatkan laju perpindahan panas dari sebuah permukaan yang terlipat. Kalor konduksi pada suatu benda kadang harus dibuang kelingkungan sekitar melalui proses konveksi. Dengan menggunakan proses konveksi yang mengharuskan aliran fluida berbenturan

dengan sirip maka akan meningkatkan suhu panasnya. Dan sedangkan alat penukar panas (*heat Exchanger*) memegang peranan penting dalam dunia industri, khususnya pada bidang konversi energi dimana alat penukar panas merupakan suatau alat yang mampu menukarkan energi dalam bentuk panas antara fluida melalui kontak langsung maupun tidak langsung.

Pada penelitian ini alat penukar panas tipe *Shell Helical-Coil* yang berbahan dasar tembaga (*copper*) yang berdiameter 15 centimeter dan total panjang lilitannya 16 meter dengan setiap lilitannya akan dilengkapi dengan sirip sirip yang disetiap siripnya berjarak 8 centimeterdengan bahan dasar tembaga (*copper*) juga. Dalam upaya penambahan sirip terhadap alat penukar panas tersebut hal yang diinginkan yaitu terjadinya peningkatan laju perpindahan panas ACWH.

Untuk mendapatkan efisiensi penukar panas yang dilengkapi dengan sirip tersebut dilakukan dengan cara melakukan perancangan yang disesuaikan dengan volume tangki dari *water heater*. Maka dalam perancangan ini bertujuan untuk meneliti efektivitas dari penukar panas untuk memanaskan air dengan volume tangki 60 liter dan temperatur yang diinginkan adalah  $40\,^{\circ}\,\mathrm{C}-45\,^{\circ}\mathrm{C}$ . Adapun fluida panas yang digunakan dalam pengujian adalah keluaran *refrigerant* kompresor AC dan fluida yang ingin dipanaskan adalah air biasa

## 1.2. Rumusan Masalah

Bagaimakah mengetahui efektivitas dan laju perpindahan panas sirip dengan luas penampang segiempat terhadap APK *Shell helical Coil* ?

## 1.3. Ruang Lingkup

Lingkup dari perancangan ini adalah perhitungan alat penukar panas tipe Shell Helical-Coil bersirip dalam rangkaian ACWH. Spesifikasi dari perancangan adalah:

- 1. Unit air conditioning (AC) yang digunakan memiliki daya 1 pk;
- 2. Bahan spesimen penukar panas *copper* (tembaga);
- 3. Media pemanasan adalah keluaran *refrigerant* kompresor AC;
- 4. Bahan yang dipanaskan adalah air dengan volume 60 liter;
- 5. Pengukuran yang terdapat pada pengujian meliputi pengukuran temperatur air, temperatur keluar kompresor, temperatur masuk kondensor dalam sistem AC.

## 1.4. Tujuan

Adapun tujuan dari penelitian tugas akhir ini adalah:

- 1. Untuk meningkatkan laju perpindahan panas ACWH dengan penambahan sirip pada alat penukar kalor.
- 2. Untuk membandingkan alat penukar kalor bersirip dengan alat penukar kalor tanpa sirip terhadap temperatur air.

#### 1.5. Manfaat

Manfaat dari penulisan ini yaitu sebagai berikut:

- Hasil penelitian dapat dipergunakan sebagai referensi bagi penulis maupun pihak lain yang ingin meneliti dengan lebih dalam mengenai proses atau cara mengetahui efektivitas dan efisiensi pada suatu sirip dengan bentuk segiempat.
- 2. Hasil penelitian dapat dipergunakan untuk menambah referensi tentang APK berbentuk *Helical Coil* diperpustakaan.

## BAB 2 TINJAUAN PUSTAKA

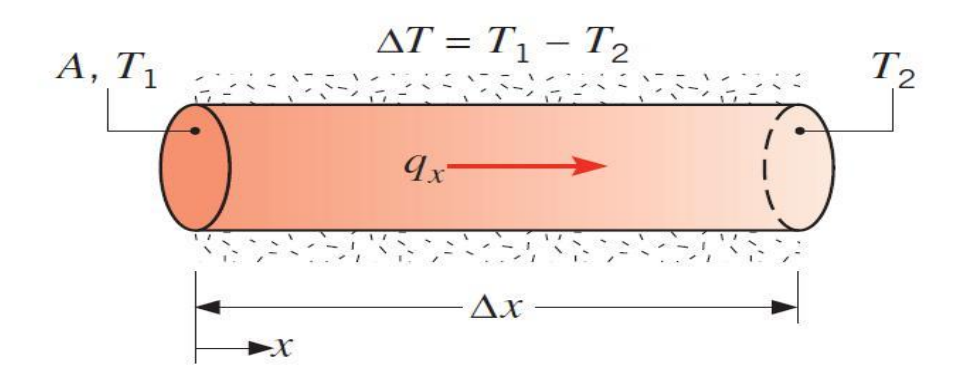
## 2.1 Definisi Perpindahan Panas

Panas merupakan salah satu bentuk energi yang dapat berpindah dari suatu sistem ke sistem yang lain karena adanya perbedaan temperatur. Perpindahan panas adalah suatu ilmu yang mempelajari tentang perpindahan energy yang terjadi karena adanya perbedaan suhu diantara sitem fisik atau material.Ilmu tentang perpindahan panas tidak hanya menjelaskan mengenai bagaimana energy panas dapat berpindah dari suatu material ke material lain, tetapi juga dapat memperkirakan laju perpindahan panas yang terjadi pada kondisi-kondisi tertentu.Ilmu perpindahan panas juga erat kaitannya dengan termodinamika hanya saja yang membedakan antara ilmu perpindahan kalor dan ilmu termodinamika adalah masalah laju perpindahan. Termodinamika membalas sistem dalam kesetimbangan ilmu ini dapat digunakan untuk memprediksi energi yang dibutuhkan untuk mengubah sistem dari suatu keadaan setimbang ke keadaan setimbang yang lain, tetapi tidak dapat mengetahui seberapa cepat atau kecepatan perpindahan panas yang terjadi. Hal ini dikarenakan perpindahan panas yang terjadi berlangsungpada keadaan sistem yang tidak setimbang. Perpindahan panas dapat berlangsung dengan tiga cara, yaitu;

## ➤ Perpindahan Panas Konduksi

Proses perpindahan panas secara konduksi adalah suatu proses perpindahan energi panas dimana energi panas tersebut mengalir dari daerah yang bersuhu lebih tinggi ke daerah yang bersuhu lebih rendah dalam suatu medium pada atau fluida diam. Persamaan umum konduksi untuk perpindahan panas dengan cara konduksi dikenal dengan hukum fourier yaitu sebagai berikut:

$$q_{cond} = KA \frac{T_1 - T_2}{\Delta_Y} = -KA \frac{\Delta_t}{\Delta_Y}$$
 (2.1)



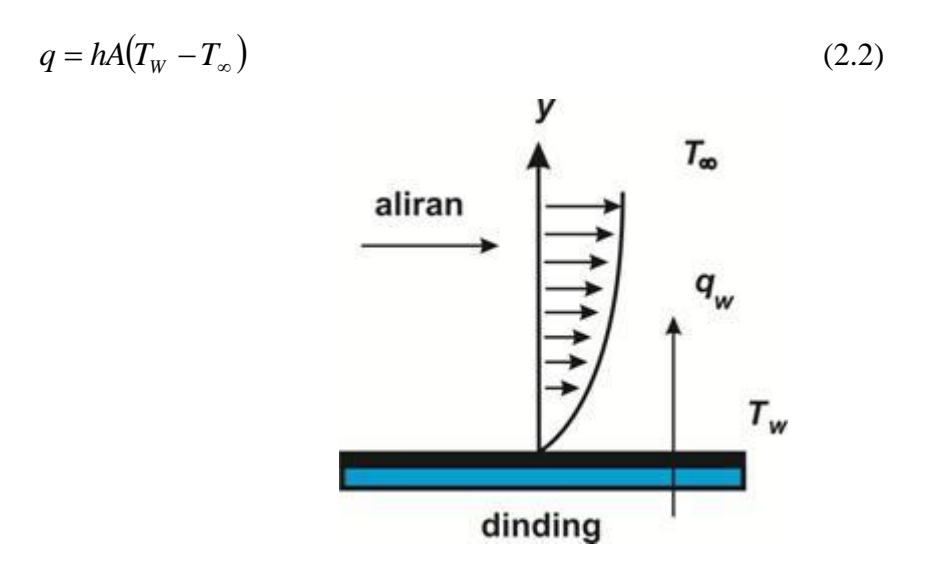
Gambar 2.1 Laju Perpindahan Panas Konduksi (Kosim Abdurohman, 2014)

## ➤ Perpindahan Panas Konveksi

Perpindahan panas konveksi adalah mode perpindahan panas pada kondisi dimana energi sebagai panas dipindahkan ke fluida yang mengalir pada permukaan diatas aliran yang terjadi. Mode ini pada dasarnya adalah konduksi di lapisan cairan yang sangat tipis pada permukaan dan kemudian bercampur disebabkan oleh aliran tersebut. Perpindahan energinya adalah dengan memadukan difusi molekul dan aliran massa.

Konveksi bukan murni mode sebagai konduksi atau radiasi dan karenanya melibatkan beberapa parameter. Jika aliran ini disebabkan pengaruh eksterna kipas atau pompa, maka mode ini dikenal sebagai konveksi paksa. Namun apabila aliran ini disebabkan oleh perbedaan suhu pada aliran itu sendiri, maka mode ini dikenal sebagai konveksi alami.

Perpindahan panas konveksi dapat dirumuskan sebagai berikut:



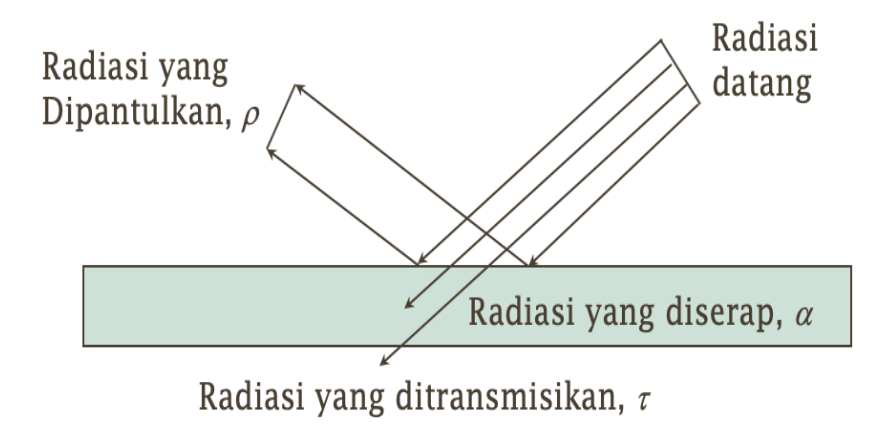
Gambar 2.2 Perpindahan Panas Konveksi (JP.Holman, 2010)

## ➤ Perpindahan Panas Radiasi

Perpindahan panas radiasi adalah bagian dari spektrum elektromagnetik dalam *range* panjang gelombang terbatas dari 0,1 sampai 10 μ m dan diemisikan pada semua permukaan yang diserap dan kemudian perpindahan panas radiasi terjadi antara permukaan-permukaan pada temperatur yang berbeda. Tidak ada medium yang dibutuhkan untuk perpindahan panas radiasi akan tetapi permukaan seharusnya dalam kontak visual untuk perpindahan panas langsung.

Persamaan lajunya ditentukan oleh hukum Stefan Boltzmann yang mana merupakan istilah dimana panas yang diradiasikan sebanding dengan pangkat empat temperatur absolut dari permukaan dan laju perpindahan panas antara permukaan yang diberikan pada persamaan sebagai berikut:

$$Q = F \delta A \left( T_1^4 - T_2^4 \right) \tag{2.3}$$



Gambar 2.3 Perpindahan Panas Radiasi (JP.Holman.2010)

## 2.2 Alat Penukar Kalor

Alat penukar kalor merupakan suatu peralatan dimana terjadi perpindahan panas dari suatu fluida yang temperaturnya lebih tinggi kepada fluida lain yang temperaturnya lebih rendah. Proses perpindahan panas tersebut dapat dilakukan secara langsung ataupun tidak. Maksudnya ialah:

1. APK yang langsung, ialah dimana fluida yang panas akan bercampur secara langsung dengan fluida dingin (tanpa adanya pemisah) dalam suatu bejana tertentu atau ruangan tertentu. 2. APK yang tidak langsung, ialah dimana fluida panas tidak berhubungan langsung (*indirect contact*) dengan fluida dingin. Jadi proses perpindahan panasnya itu mempunyai media perantara, seperti pipa, plat atau peralatan sejenisnya.

Menurut Dean A Barlet (1996) bahwa alat penukar kalor memiliki tujuan untuk mengontrol suatu sistem (temperature) dengan menambahkan atau menghilangkan energy termal dari suatu fluida ke fluida lainnya. Walaupun ada banyak perbedaan ukuran , tingkat kesempurnaan, dan perbedaan jenis alat penukar kalor , semua alat penukar kalor menggunakan elemen-elemen konduksi termal yang umumnya berupa tabung "tube" atau plat untuk memisahkan dua fluida. Salah satu dari elemen tersebut memindahkan energy kalor ke elemen lainnya.

Pramod S, dkk (2012) melakukan penelitian untuk menganalisa aliran sekunder dari penukar kalor helical coil dengan berbagai parameter untuk kondisi tertentu. Hasil penelitian menunjukkan bahwa helical coil lebih efisien pada nilai Reynold Number (Re) yang rendah. Analisis juga menunjukkan bahwa, bertambahnya besarnya diameter tube (d) dengan diameter coil sekunder didalam aliran fluida. Peningkatan intensitas sekunder dikembangkan dalam aliran fluida untuk meningkatkan Nu. Oleh karena itu untuk mendapatkan intensitas aliran sekunder yang besar maka helical coil exchanger harus memiliki diameter coil (D) yang kecil dan diameter tube yang besar (d).

Nasser Ghorbani, dkk (2010) melakukan penelitian untuk menyelidiki perpindahan kalor konveksi campuran dalam alat penukar kalor tipecoilinshelldengan variasi Reynolds Number (Re) and Rayleigh Number, variasi rasio diameter tube to coil dan dimensi coil pitch. Tujuan penelitian ini adalah untuk menilai pengaruh tube diameter, coil pitch, shellside dan laju aliran massa tabung sisi atas koefisien kinerja dan efektivitas modifikasi dari vertikal helical coil tubes heat exchanger. Percobaan dilakukan untuk kedua aliran laminar dan aliranturbulen di dalam temperatur aksial heat exchanger. Hasil penelitian juga menunjukkan bahwa hubungan -NTU dari campuran konveksi heat exchanger adalah sama dengan counter-flowheat exchanger.

#### 2.3. Prosedur Perencanaan Alat Penukar Kalor

Pokok pembahasan pada perencanaan alat penukar kalor ialah masalah perpindahan panas.Anggapan mula-mula bahwa oleh fluida panas ke fluida dingin, terjadi dengan sempurna. Kalau panas yang dilepaskan besarnya = Q persatuan waktu, maka panas itu diterima oleh fluida yang dingin sebesar Q pula.

Kemampuan untuk menerima panas itu, dipengaruhi 3 hal yaitu:

- 1. Koefisien perpindahan panas keseluruhan (teh overall heat transver coefisient), dinyatakan dengan U.
- 2. Luas perpindahan panas dinyatakan A.
- 3. Selisih temperatur rata-rata (mean temprature difference, the driving temprature forced), dinyatakan dengan  $\Delta t$  lm.

Hubungan antara besaran itu adalah:

$$Q = U.A.\Delta T1m \tag{2.4}$$

Setelah mengetahui besarnya kalor yang akan dilepas fluida panas pada fluida dingin (Q) masalah berikutnya ialah menetukan besarnya luas permukaan alat permukaan kalor. Ini merupakan kunci persoalan, sebab dari sini dapat diketahui jumlah tubes yang akan digunakan, panjang dan diameter tube. Besarnya koefisien perpindahan panas keseluruhan (U) suatu alat penukar kalor merupakan kebalikan dari tahanan keseluruhan terhadap perpindahan panasitu adalah jumlah semua tahanan pada APK. Tahanan ini meliputi tahanan konveksi fluida panas, tahanan konveksi lapisan atau kotoranpada sebelah fluida panas, tahanan konduksi karena tebal tubes, tahanan panas pada lapisan kotoran disebelah fluida dingin serta tahanan fluida dingin itu sendiri.

Besarnya masing-masing koefisien perpindahan panas itu tergantung dari:

- Proses perpindahan panas yang terjadi, apakah dengan konduksi, konveksi, radiasi, kondensi atau mendidihkan.
- Keadaan fisik fluida.
- Penyusunan secara fisik permukaan panasnya.

Beberapa buku teks telah membuat tabel menentukan besarnya nilai U, berdasarkan jenis APK dan fluida dalam atau luar tube. (Tunggul M Sitompul, 1997)

#### 2.4. Konduktivitas Termal

Konduktivitas termal adalah suatu besaran intensif bahan yang menunjukkan kemampuannya untuk menghantarkan panas. Konduktivitas termal adalah suatu fenomena transport dimana perbedaan temperatur menyebabkan transfer energi termal dari satu daerah benda panas ke daerah yang sama pada temperatur yang lebih rendah. Panas yang ditransfer dari satu titik ke titik lain melalui salah satu dari tiga metode yaitu konduksi, konveksi dan radiasi.

Tabel 2.1 Konduktivitas Termal (JP.Holman, 2010)

Material	Thermal Conductivity W/m.K
Copper	385
Aluminium	202
Carbon Steel 1% C	43
Chrome Steel 20% Cr	22,5
Chrome Nickel Steel	16,3
Concrete	1,13
Glass	0,78
Water	0,556
Asbertos	0,11
Air	0,024

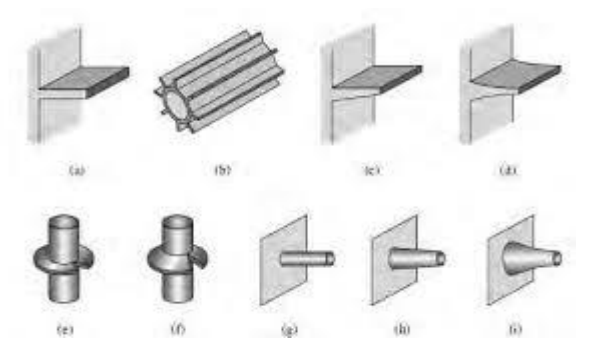
#### 2.5 Sirip (*Fin*)

Sirip digunakan pada alat penukar kalor untuk meningkatkan luasan perpindahan panas antara permukaan utama dengan fluida di sekitarnya.Idealnya, material untuk membuat sirip harusmemiliki konduktivitas termal yang tinggi untuk meminimalkan perbedaan temperatur antara permukaan utama dengan permukaan dijumpai yang diperluas. **Aplikasi** sirip sering pada systempendinginan ruangan, peralatan elektronik, motor bakar, trailing edge sudu turbin gas, alat penukar kalor kompak, dengan udara sebagai media perpindahan panasnya. Ada berbagai tipe sirip pada alat penukar kalor yang telah digunakan, mulai dari bentuk yang relatif sederhana seperti sirip segiempat, silindris, anular, tirus atau pin sampai dengan kombinasi dari berbagai geometri yang berbeda dengan jarak yang teratur dalam susunan segaris (in-line) ataupun selang-seling (staggered).

Salah satu tipe sirip pada peralatan penukar kalor yang mempunyai banyak pemakaian dalamberbagai aplikasi industri adalah sirip pin. Sirip pin adalah elemen berbentuk silinder atau bentuk lainnya yang dipasang secara tegak lurus terhadap dinding alat penukar kalor dengan fluida pendingin mengalir dalam arah aliran melintang terhadap dinding alat penukar kalor tersebut. Sirip-sirip pin dapat meningkatkan luas permukaan pelepas panas, dan menyebabkan aliran yang turbulen sehingga meningkatkan unjuk kerja disipasi panas yang berdampak pada meningkatnya ketahanan dan umur peralatan. Terdapat berbagai parameter yang menggolongkan sirip pin, seperti bentuk pin, tinggi pin, diameter pin, perbandingan tinggi dan diameter pin dan sebagainya yang dapat disusun secara segaris ataupun secara selang-seling terhadap arah aliran fluida pendinginnya.

Laju perpindahan panas dari suatu rakitan sirip pin ke lingkungan tergantung pada distribusi temperatur pada sirip pin dan plat dasar, geometri sirip pin, jarak antara ujung sirip pin dengan permukaan atas saluran udara (*shroud clearance*), sifat-sifat fluida, laju aliran udara, jarak antara titik pusat sirip (*interpin pitch*), susunan sirip pin dan orientasi dari alat penukar kalor. Laju perpindahan panas pada plat dasar dengan temperatur tertentu dapat ditingkatkan dengan menaikkan koefisien perpindahan panas rata-rata, menaikkan luas permukaan perpindahan panas atau kedua-duanya. Kenaikan perpindahan panas dapat dicapai dengan cara konveksi paksa atau mengubah konfigurasi geometri dari alat penukar panas. Dalam praktiknya, cara-cara ini dibatasi oleh penurunan tekanan maksimum yang diijinkan melalui susunan sirip pin tersebut karena kenaikan perpindahan panas akan disertai penurunan tekanan. Energi yang hilang karena penurunan tekanan dapat melebihi energy yang didapatkan dari usaha peningkatan perpindahan panas tersebut.

Sirip adalah piranti yang berfungsi untuk mempercepat laju perpindahan panas dengan cara memperluas luas permukaan benda. Ketika suatu benda mengalami perpindahan panas secara konveksi, maka laju perpindahan panas dari benda tersebut dapat dipercepat dengan cara memasang sirip sehingga luas permukaan benda semakin luas dan pendinginannya semakin cepat. Berbagai jenis muka sirip dapat dilihat pada Gambar 2.4 (J.P. Holman 2010)



Gambar. 2.4 sirip (JP.Holman.2010)

Sirip yang maksimum tidak didapatkan berdasarkan panjang sebuah sirip. Namun, efisiensi maksimum suatu sirip bisa didapatkan dari kuantitas material sirip (massa, volume, atau biaya), dan proses memaksimumkan ini jelas mempunyai arti ekonomi. Perlu dicatat pula bahwa sirip yang dipasang pada muka perpindahan kalor tidak selalu mengakibatkan peningkatan laju perpindahan kalor.. Hal ini disebabkan karena dibandingkan dengan tahanan konveksi, tahanan konduksi merupakan halangan yang lebih besar terhadap aliran kalor.(J.P. Holman 2010)

Untuk menunjukkan efektivitas sirip dalam memindahkan sejumlah kalor tertentu kita rumuskan suatu parameter baru, yang disebut efisiensi sirip(fin efficiency):

$$\eta_f = \frac{Q}{h_o P L \theta_0} = \frac{Q}{h_o 2 L \theta_0} \tag{2.5}$$

Laju perpindahan panas akanmeningkat dengan meningkatnya jumlah fin pada silinder, namun pada aliran udara rendah, pendinginan silinder akan berkurang dengan penyempitan jarak antar fin akibat penambahan jumlah fin. Hal tersebut disebabkan udara tidak mengalir dengan baik pada ruang antar fin (Yoshida dkk, 2006).

Haris Budiman dkk, (2005)melakukan penelitian bagaimana mempercepat laju perpindahan panas dari ruang pemanas *furnace* ke dalam minyak mentah di dalam pipa yaitu dengan cara memasang sirip (*fins*) penukar panas. Proses pemasangan *fins* penukar panas pada pipa sebagai logam dasar dilakukan dengan cara dilas. Proses pengelasan yang paling sesuai dengan fungsi dari *fins* penukar panas adalah Pengelasan Tembak atau *Stud Welding*, oleh karena itu dalam

praktek dan beberapa literatur penyebutan istilah *fins* dalam pipa tersebut adalah *stud fins*.

Firmansyah, B (2009) melakukan penelitian perpindahan panas pada perangkat elektronik, tepatnya dalam penggunaan *Water-block* pada pendingin CPU. Penelitian ini menggunakan data input yang berbeda pada sirip yang digunakan. Nilai distibusi temperatur yang diperoleh pun bebeda-beda baik pada tanpa sirip, panjang sirip yang kecil, sedang, maupun yang panjang disetiap node maupun elemennya. Penelitian tersebut memberikan hasil bahwa besar maupun kecilnya pendinginan temperatur disebabkan karena beda panjang sirip, walaupun memiliki koefisien konveksi yang sama disetiap analisa. Kesimpulan yang diperoleh pun *water-block* CPU yang menggunakan sirip lebih panjang memiliki nilai perpindahan kalor yang lebih baik dibanding yang menggunakan sirip lebih pendek.

Supriyono (2005) melakukan penelitian perpindahan energi dari bagian bersuhu tinggi kebagian bersuhu rendah. Proses perhitungan yang digunakan dalam perpindahan panas tidak hanya dilakukan melalui pengamatan langsung, namun juga melalui perhitungan numeris. Dalam menggunakan perhitungan numeris, para peneliti maupun praktisi saat ini banyak yang masih menggunakan metode beda hingga. Salah satu metode penyelesaian yang saat ini sedang dikembangkan adalah penggunaan metode elemen hingga. Dengan menggunakan metode elemen hingga, ada banyak domain yang mampu terselesaikan, tidak hanya segi empat, segi tiga, ataupun segi lima. Dari hasil penelitian menunjukkan bahwa dengan menggunakan metode elemen hingga perhitungan perubahan panas akan lebih sedikit dibandingkan dengan menggunakan metode beda hingga. Perangkat lunak yang dibangun juga dapat untuk menghitung perambatan panas untuk banyak elemen seberapapun.

Miriam, sarah (2011) melakukan penelitian dan membuat suatu program yang dapat melakukan komputasi distribusi suhu pada suatu sistem yang dalam keadaan tunak. Bentuk geometri sistem yang dipilih adalah penurunan persamaan perpindahan panas. Dari hasil pengamatan yang dilakukan penulis, program komputasi distribusi suhu yang dirancang menggunakan metode LSOR, melalui pendekatan beda hingga, dalam bahasa MATLAB, telah berhasil dirancang dan

dapat berfungsi dengan semestinya. Secara umum tingkat ketelitian dari program komputasi ini dapat dikatakan cukup tinggi. Hasil keluaran dari program ini divisualisasikan oleh MATLAB dalam grafik kontur dan grafik dua dimensi yang berwarna. Perbedaan derajat panas ditunjukkan oleh perbedaan warna pada grafik.

Novianarenti, Eky (2016) melakukan penelitian guna mengetahui karakteristik aliran dan perpindahan panas diluar pipa yang mengalir secara crossflow. Salah satunya adalah dengan melakukan modifikasi susunan pipa pada daerah surface condenser yaitu untuk mengembunkan exhaust steam menjadi air murni sehingga mungkin kembali ke generator uap sebagai boiler feed water. Dan didapatkan penggunaan device berupa rectangular plate yang ditambahkan didaerah kritis pada tube banks condenser yang tersusun staggered memiliki pengaruh terhadap karakteristik perpindahan panas. Hal tersebut dikarenakan adanya peningkatan kecepatan didaerah sekitar tube tersebut dan berkontribusi terhadap penurunan teakanan.

Istanto, Tri dan Juwana, Serta Wibawa Edra (2010) melakukan penelitian dan menguji karakteristik perpindahan panas dan penurunan tekanan dari susunan sirip-sirip pin silinder tirus dalam saluran udara segiempat. Sirip-sirip pin disusun secara segaris dan selang-seling. Temperatur rata-rata permukaan plat dasar dijaga konstan sebesar 60 . Sirip-sirip pin terbuat dari bahan duralumin dengan tinggi 75 mm, diameter dasar dan diameter ujung berturut-turut 12,7 mm dan 7 mm, dan jarak antar titik pusat sirip dalam arah melintang aliran udara. Perhitungan laju perpindahan panas menunjukkan bahwa susunan segaris dan selang-seling dari sirip pin silinder tirus menyebabkan peningkatan perpindahan panas relative terhadappermukaan halus (tanpa sirip).

Road Map Penelitian

Tabel 2.2 *Road Map* Penelitian ACWH di Fakultas Teknik Universitas Muhammadiyah Sumatera Utara

	Muhammadiyah Suma		
No	Nama	NPM	Judul Penelitian
1	Setiawan Hadi	1507230197	Rancang Bangun ACWH ( Air Conditioner Water Heater ) Dengan Alat Penukar Kalor Tipe Shell and Helical Coil
2	Arifin Handrianto	1507230156	Analisa <i>Performance Air</i> Conditioner (AC) Dengan Penambahan  APK Shell Helical Coil
3	Andri Kurniawan	1507230193	Pengaruh Panjang Pipa Kapiler Terhadap Efektivitas Alat Penukar Kaor Tipe Shell Helical Coil
4	Ulil Amri	1507230164	Upaya Peningkatan <i>Performance</i> ACWH Dengan Penambahan Sirip Pada APK <i>Shell Helical Coil</i>
5	Yogi Pranata	1507230218	Peningkatan Kerja ACWH Dengan Memanfaatkan <i>Honeycomb Surface</i> Berbahan Tembaga Sebagai Penukar Kalor
6	Fadli Umri Pratama	1507230224	Pengaruh Diameter <i>Honeycomb</i> Surface Berbahan Alumunium  Terhadap Kinerja ACWH
7	Febry Andrean	1507230159	Peningkatan Kerja ACWH Dengan Memanfaatkan <i>Honeycomb Surface</i> Berbahan Kuningan Sebagai Penukar Kalor
8	Dana Setiawan	1507230178	Analisis Unjuk Kerja (COP)Mesin Pengkondisian Udara (AC) Dengan Penambahan Alat Penukar kalor Tipe Shell Helical Coil Bersirip Sebagai Pemanas Air
9	Aldi Trisna Irawan	1607230062	Analisa Numerik Perpindahan Panas Pada ACWH Dngan Pipa Kapiler Sebagai Penghantar Panas
10	M.Kamaludin Wahdani	1607230075	Analisa Numerik Perpindahan Panas Pada ACWH Dengan Honeycomb Sebagai Penghantar Panas

## **METODOLOGI PENELITIAN**

## 3.1. Tempat dan Waktu Penelitian

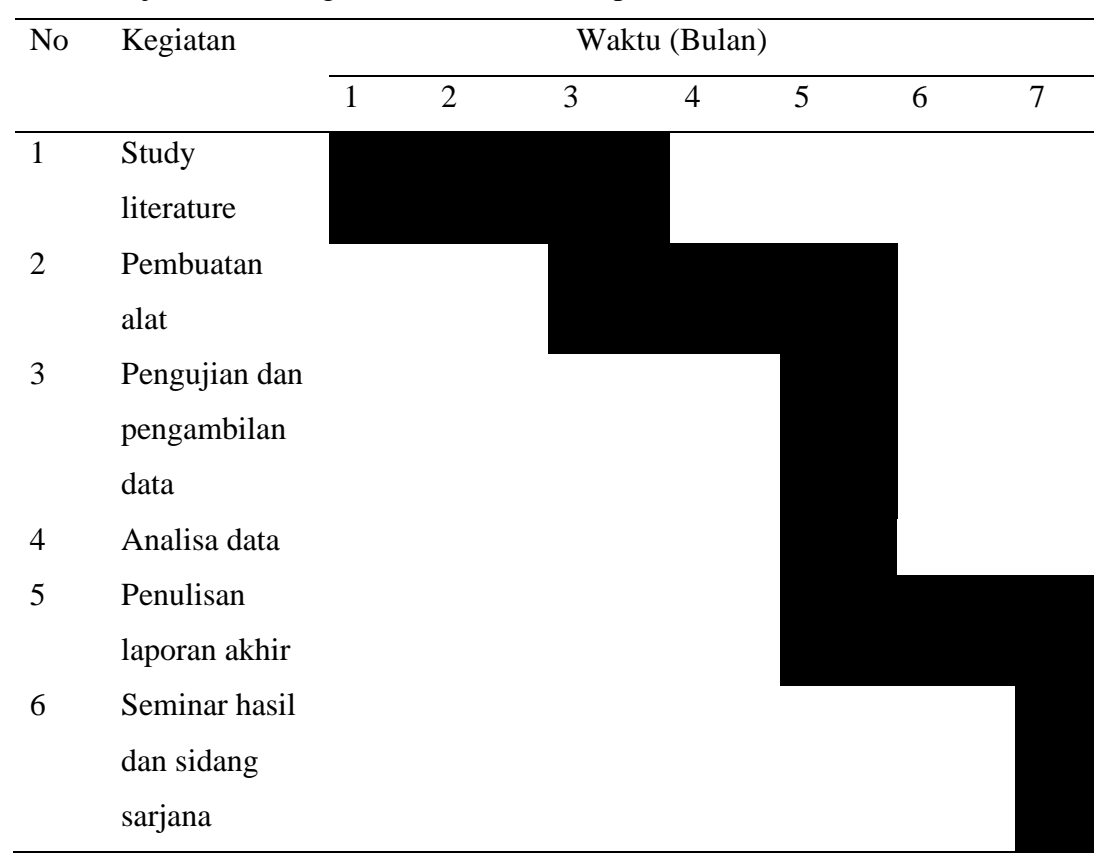
## 3.1.1 Tempat

Tempat pelaksanaan penelitian dan pengerjaan alat penukar kalor *Shell Helical Coil* bersirip dilakukan di Laboratorium Proses Produksi dan Prestasi Mesin Program Studi Teknik Mesin, Fakultas Teknik, Universitas Muhammadiyah Sumatera Utara, Jl. Kapten Muchtar Basri No.3 Medan.

#### 3.1.2 Waktu Penelitian

Waktu pelaksanaan penelitian dan kegiatan pengujian dilakukan sejak tanggal usulan oleh Program Studi Teknik Mesin Universitas Muhammadiyah Sumatera Utara seperti yang tertera pada tabel 3.1.

Tabel 3.1 jadwal dan kegiatan saat melakukan penelitian



## 3.2 Alat dan Bahan

## 3.2.1 Alat yang Digunakan

Adapun alat yang digunakan pada penelitian ini adalah;

# 1. Gunting potong

Kegunaan dari gunting potong adalah untuk untuk memotong pelat tembaga sesuai dengan ukuran yang telah ditentukan seperti pada gambar 3.1



Gambar 3.1 Gunting Potong

## 2. Meteran

Meteran ini digunakan untuk mengukur lebar pelat tembaga yang akan dipotong dan mengukur panjang sirip yang telah ditentukan sebelum dipotong seperti pada gambar 3.2



Gambar 3.2 Meteran

## 3. Alat Las

Alat las ini berfungsi untuk menyambungkan pelat sirip tembagaterhadap *Helical Coil*yang telah dibentuk. Alat las yang digunakan dapat dilihat pada gambar 3.3



Gambar 3.3 Alat Las

## 4. Tang

Alat ini berfungsi untuk pembentukan sirip dan untuk melakukan penyambungan sirip terhadap APK ketika waktu pengelasan. Tang yang digunakan dapat dilihat pada gambar 3.4



Gambar 3.4 Tang

## 5. Indoor AC Split

Unit indoor AC yang digunakan dalam penelitian tugas akhir ini adalah sebagai berikut :



Gambar 3.5 Unit Indoor AC Split

Kapasitas AC : 1 PK Input Daya : 880 W

## 6. Unit Outdoor AC Split

Unit outdoor AC yang digunakan dalam penelitian tugas akhir ini adalah sebagai berikut :



Gambar 3.6 Unit Outdoor AC Split

Arus kompresor : 16,5 A

Tegangan : 220 V

Daya : 1-fase a.c

## 7. Pipe Cutter (Pemotong Pipa)

*Pipe cutter* (pemotong pipa) berfungsi untuk memotong pipa tembaga. Gambar dari pipe cutter (pemotong pipa) dapat dilihat pada gambar 3.7



Gambar 3.7 Pipe Cutter

# 8. Flaring Tool

Flaring tool digunakan untuk mengembangkan ujung pipa tembaga atau memperbesar lubang ujung pipa tembaga agar dapat disambungkan dengan pipa tembaga lainnya. Gambar dari flaring tool dapat dilihat pada gambar 3.8



Gambar 3.8 Flaring Tool

## 9. Sensor Suhu

Sensor suhu digunakan untuk mengukur suhu kompresor, kondensor dan air ketka pengujian berlangsung. Gambar dari sensor suhu dapat dilihat pada gambar 3.9



Gambar 3.9 Sensor Suhu

Tipe :DS18B20

Suhu maximal :135°C Suhu minimal :-35°C

## 10. Kunci Pas

Kunci pas digunakan untuk mengencangkan dan mengunci baut yang digunakan dalam rangkaian ACWH. Gambar dari kunci pas dapat dilihat pada gambar 3.10



Gambar 3.10 Kunci Pas

# 11. Nepel

Nepel berfungsi untuk menyambung pipa tembaga dan untuk menahan kebocoran pada pipa tembaga. Gambar dari nepel dapat dilihat pada gambar 3.11



Gambar 3.11 Nepel

## 12. Kunci L

Kunci L digunakan untuk membuka dan menutup tube yang ada pada tabung penyimpanan Freon. Gambar kunci L dapat dilihat pada gambar 3.12



Gambar 3.12 Kunci L

## 13. Manifold Gauge

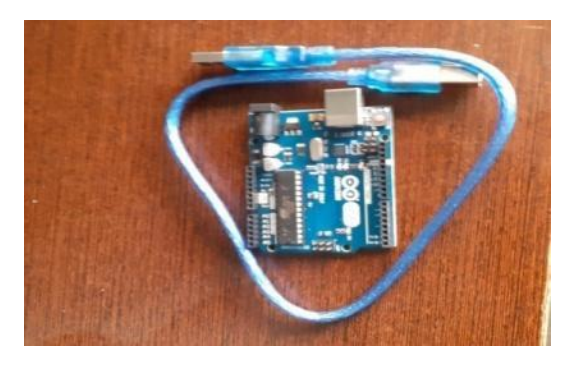
Manifold gauge digunakan untuk mengetahui tekanan freon pada AC, alat ini juga digunakan untuk mengisi Freon AC. Gambar dari manifold gauge dapat dilihat pada gambar 3.13



Gambar 3.13 Manifold Gauge

## 14. Arduino

Arduino berfungsi untuk membuat bahasa program dari sensor suhu yang digunakan.Arduino yang digunakan pada rancang bangun ini bisa dilihat pada gambar 3.14.



Gambar 3.14 Arduino

Tipe : Arduino UNO

Operating voltage : 5 V

Input voltage : 6 - 20 V

## 15. Alat Uji ACWH

ACWH berfungsi sebagai pemanas air yang memanfaatkan panas buang keluaran kompresor pada sistem AC. Rangkaian alat uji ACWH terdiri dari:

- AC split 1 PK

- Tangki Penyimpanan Air(Water storage) yang berbentuk kerucut dengan;

Tinggi tangki : 61 cm

Diameter atas tangki : 30 cm

Diameter bawah tangki : 40 cm

Volume air : 60 L

- Arduino Uno

Operating voltage : 5 V

Input voltage : 6-20 V

- Sensor Suhu

Tipe : DS18B20

Suhu max :  $135^{\circ}$ C

Suhu min :  $-35^{\circ}$ C



Gambar 3.15 Alat Uji ACWH

### 3.2.2. Bahan yang Digunakan

### 1. Lembaran pelat tembaga

Lembaran pelat tembaga pada penelitian ini memiliki tebal 0.4 mm dan digunakan untuk membuat ssirip yang dipasang dengan APK Shell Helical Coil. Dapat dilihat pada gambar 3.16



Gambar 3.16. Lembaran pelat

### 2. Pipa Tembaga

Pipa tembaga digunakan untuk Menyatukan Honeycomb dan saling terhubung di antara kedua sisinya.Pipa tembaga dapat dilihat pada gambar 3.17



Gambar 3.17 Pipa Tembaga

# 3. Kawat Las Tembaga

Kawat las tembaga berfungsi sebagai bahan tambah untuk pengelasan tembaga dengan tembaga lainnya. Kawat las tembaga yang digunakan dapat dilihat pada gambar 3.18



Gambar 3.18 Kawat Las Tembaga

# 4. Freon

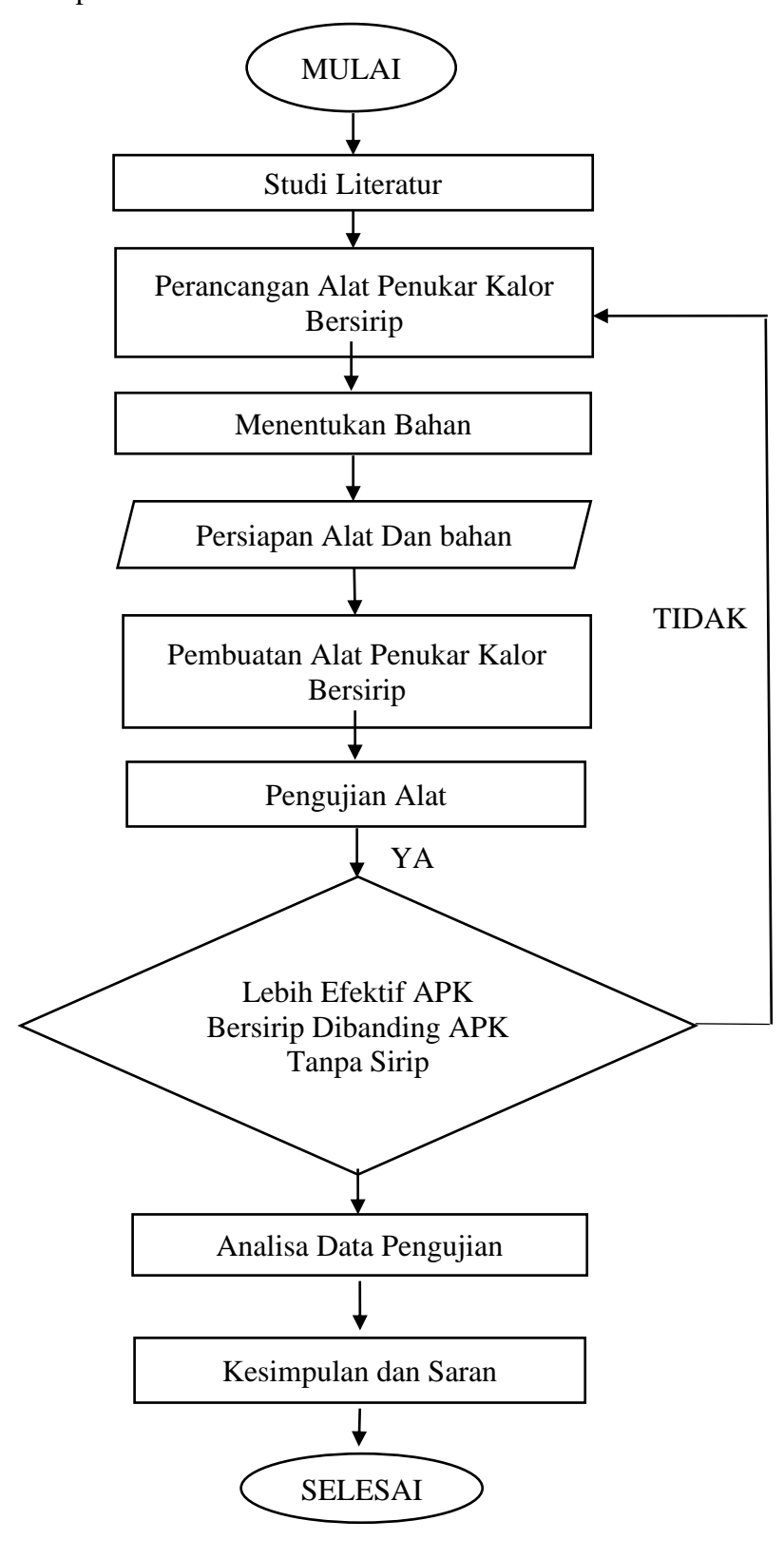
*Freon* berfungsi sebagai bahan pendingin sekaligus pemanas yang dialirkan melalui alat penukar panas *helical coil*.Gambar dari Freon dapat dilihat pada gambar 3.19



Gambar 3.19 Freon (R22)

Tipe: Refrigeran R-22

### 3.3 Diagram alir penelitian



Gambar 3.20 Diagram Alir Rancang Alat Penukar Kalor Bersirip.

Berikut adalah penjelasan dari gambar 3.20.

- Study Literatur, merupakan bagian sangat penting dari sebuah proposal atau laporan penelitian, teori-teori yang melandasi dilakukannya penelitian. Studi literature dapat diartikan sebagai kegiatan yang meliputin mencari, membaca dan menelaah laporan-laporan penelitian dan bahan pustaka yang memuat teori-teori yang relevan dengan penelitian yang akan dilakukan.
- 2. Perancangan adalah penggambaran, perencanaan dan pembuatan sketsa atau pengaturan dari beberapa elemen yang terpisah ke dalam satu kesatuan yang utuh dan berfungsi perancangan sistem dapat dirancang dalam bentuk bagan alir sistem.
- 3. Menentukan bahanadalah proses pemilihan bahan yang sesuai dengan rancangan alat. Meliputi : jenis material, kekuatan dan harga material yang digunakan.
- 4. Mempersiapkan bahan dan alat yang akan digunakan dalam penelitian.
- 5. Membuat APK Bersirip yang berbentuk segiempat disetiap lilitan *Shell helical coil* dengan panjang sriripnya 4 cm dan lebar 2,5 cm.
- 6. Melakukan pengujian pada APK bersirip yang diuji pada alat ACWH.
- 7. Temperatur air yang diinginkan adalah 44 °C dalam jangka waktu kurang dari 60 menit.
- 8. Mencatat hasil pengujian dan Menganalisa hasil pengujian serta melakukan evaluasi.
- 9. Menyimpulkan hasil pengujian yang telah di evaluasi.
- 10. Selesai
- 3.4. Prosedur Penelitian Shell Helical coil Bersirip.

Adapun prosedur penelitian APK *Shell Helical Coil* Bersirip menggunakan alat uji ACWH yaitu sebagai berikut;

- 1. Perencanaan APK Shell Helical Coil Bersirip
  - Menyediakan Laptop
  - Membuka software solidworks 2014 pada laptop
  - Menentukan bahan material.
- 2. Melakukan proses Pembuatan Shell Helical Coil:

- Pembuatan lilitan
- Pengelasan Shell Helical Coil
- 3. Melakukanproses Pembuatan Sirip:
  - Pemotongan plat tembaga
  - Pembentukan sirip
  - Pemasangan sirip terhadap Shell Helical Coil
  - Pengelasan sirip terhadap Shell Helical Coil
- 4. Pemasangkan APK *Shell Helical Coil* Bersirip ke dalam tangki air ACWH.
- 5. Melakukan penyambungan APK ke jalur *Refrigerant*.
- 6. Melakukan pemasangan sensor pada tangki.
- 7. Melakukan proses pengujian:
  - Percobaan alat uji ACWH terlebih dahulu
  - Melakukan pengisian Freon
  - Melakukan pengisian air ke tangki ACWH sebanyak 60 L
  - Melakukan pengambilan data
  - Kemudianamati dan catat data pengujian. Pengambilan data pada pengujian meliputi; tekanan *refrigerant*, temperature keluar kompresor, temperature masuk kondensor dan suhu air di dalam tangki.
  - Pengujian dilakukan 3 kali yaitu pada temperature 16°C, 18°C, dan 20°C.
- 8. Ketika pengujian telah selesai dilakukan kemudian matikan kembali alat uji ACWH, Lepaskan sensor suhu dari arduino, lepaskan *manifold gauge* dari alat ACWH, kemudian keluarkan air yang ada di dalam tangki. Dan terakhir bersihkan seluruh perlengkapan yang telah digunakan agar kondisi alat tidak rusak ketika ingin digunakan kembali.
- 9. Selesai

# BAB 4 HASIL DAN PEMBAHASAN

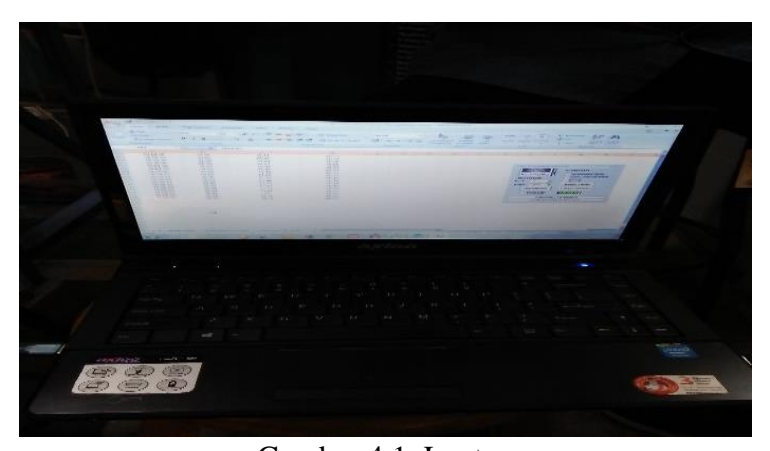
### 4.1 Prosedur Penelitian

Prosedur penelitian dari pengujian ini adalah sebagai berikut :

# 4.1.1 Perancangan Shell Helical Coil Bersirip

Langkah-langkah perancangan alat penukar kalor *Shell Helical Coil* Bersirip adalah sebagai berikut :

• Menyediakan laptop.



Gambar 4.1. Laptop

• Membuka software solidworks 2014 pada laptop.



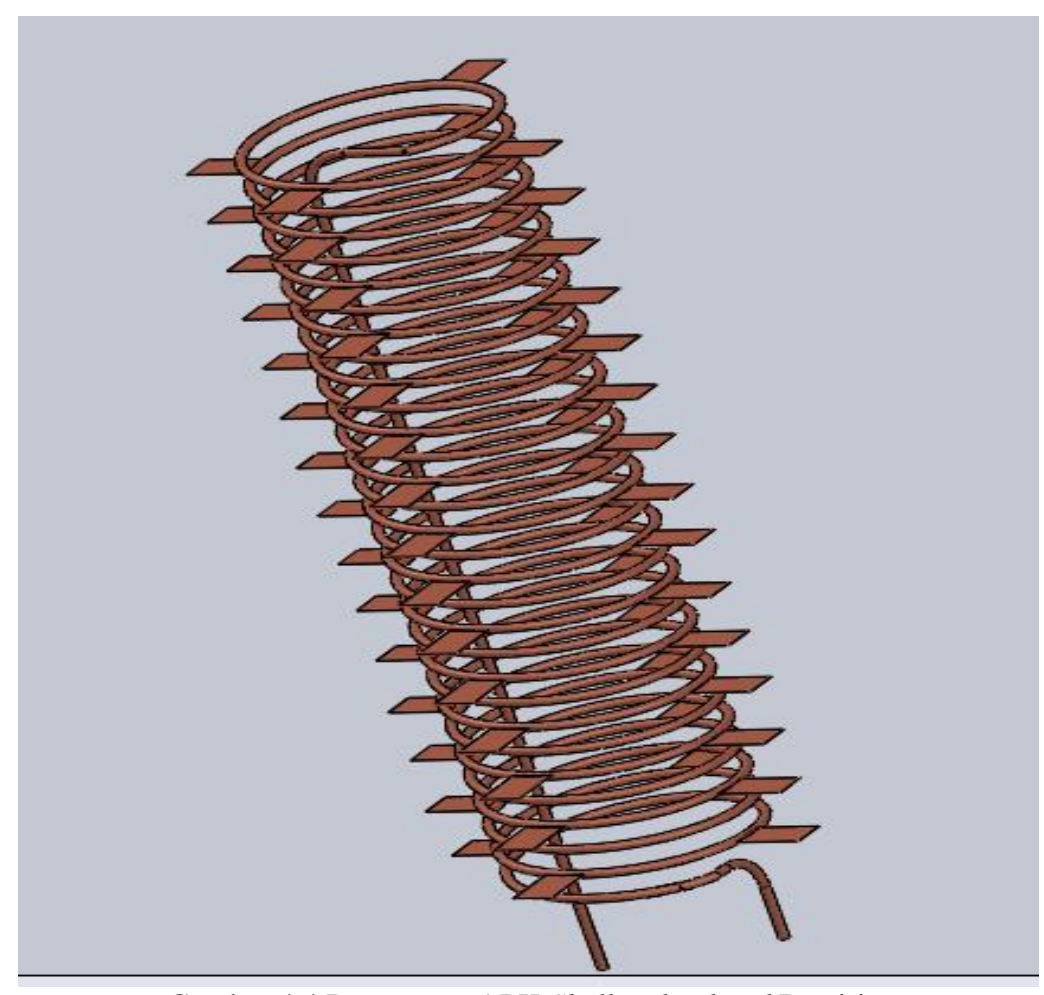
Gambar 4.2 Software Solidork 2014

• Material/bahan yang digunakan dalam pembuatan *Shell Helical Coil*Bersirip adalah pipa tembaga dan plat tembaga seperti gambar 4.3

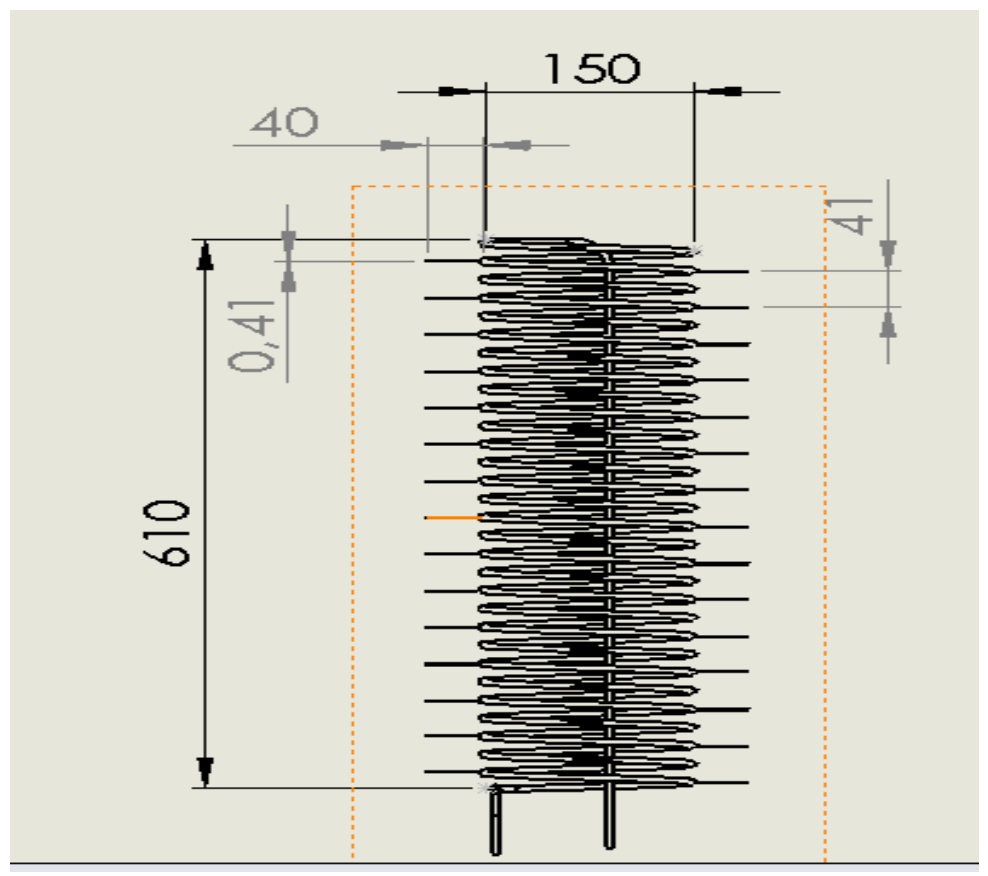


Gambar 4.3 plat tembaga dan pipa tembaga

Kemudian merancang Shell Helical Coil Bersirip sesuai dengan ukuran yang digunakan pada perencanaan Shell Helical Coil Bersirip yaitu: tinggi Helical coil 610 mm dan berdiameter 150 mm dapat dilihat seperti gambar 4.4 dan gambar 4.5



Gambar 4.4 Rancangan APK Shell Helical coil Bersirip.



Gambar 4.5 Dimensi Rancangan APK Shell Helical Coil Bersirip.

#### 4.1.2. Proses Pembuatan APK Shell Helical Coil Bersirip

Adapun proses pembuatan APK *Shell Helical Coil* Bersirip dapat dilihat seperti dibawah ini:

#### 1. Pembuatan Helical Coil

Proses ini dikerjakan sesuai dengan rancangan yang telah dibuat. *Helical coil* dibuat menggunakan pipa tembaga dengan ukuran diamater luar 0,635 mm dan diameter dalam 0.41 mm. *Helical coil* ini sendiri mempunyai tinggi 610 mm dan diameter 150 mm. Adapun proses dari pembuatan *helical coil* adalah sebagai berikut:

#### • Pembuatan lilitan

Pembuatan lilitan dikerjakan manual deangan menggunakan tangan dengan diamater lekukan yang diinginkan adalah 15 cm, panajng pipa tembaga adalah 16 m dan akan dibuat menjadi 30 lilitan. Proses pembuatan lilitan dapat dilihat pada gambar 4.6.



Gambar 4.6 Pembuatan Lilitan

# • Pengelasan Helical Coil

Setelah melakukan pembuatan lilitan, selanjutnya dilakukan pengelasan terhadap helical coil, fungsi dari pengelasan tersebut adalah untuk menyambungkan helical coil dengan pipa keluaran kompresor dan masuk kondensor. Proses pengelasan dapat dilihat pada gambar 4.7



Gambar 4.7 Pengelasan Helical Coil

- 2. Proses pembuatan sirip.
- Pemotongan pelat tembaga.

Proses ini dilakukan untuk memotong pelat tembaga sesuai dengan ukuran yang telah ditentukan yaitu dengan lebar 25 mm. Proses pemotongan pelat dapat dilihat pada gambar 4.8



Gambar 4.8 Pemotongan Pelat Tembaga

# • Pembentukan Sirip.

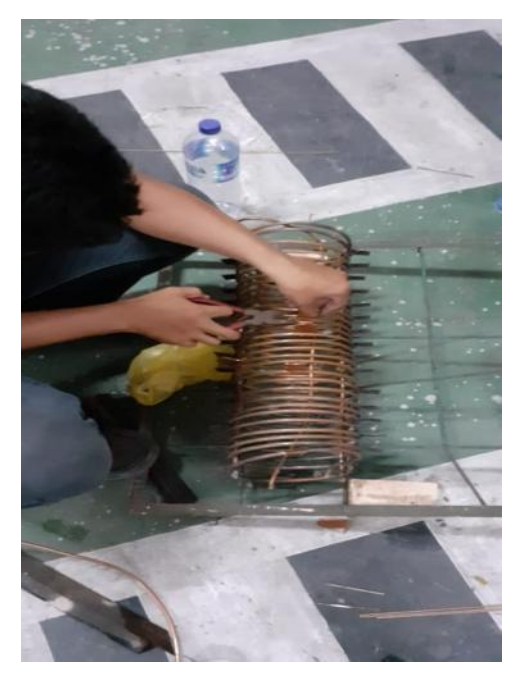
Proses ini dilakukan dengan pemebentukan bidang atau luas permukaan sirip yaitu dengan panjang 40 mm dan lebar 25 mm sebanyak 60 keping. Proses ini dapat dilihat pada gambar 4.9



Gambar 4.9 Pembentukan Sirip

• Proses Pemasangan Sirip Terhadap APK.

Proses ini dilakukan untuk pemasangan sirip yang telah dibentuk sedemikian rupa dan di satukan terhadap APK yang sudah terbentuk.Proses ini dapat dilihat pada gambar 4.10



Gambar 4.10 Proses Pemasangan Sirip Terhadap APK

# • Proses Pengelasan Sirip Terhadap APK

Proses ini dilakukan untuk menyatukan setiap sirip yang telah dibentuk dengan cara di las dengan menggunakan alat las dan menggunakan kawat tembaga sebagai media penyambung. Proses ini dapat dilihat pada gambar 4.11 dan gambar 4.12



Gambar 4.11 Proses Pengelasan

Gambar 4.12 Hasil Pengelasan

# • Pemasangan Shell Helical Coil Bersisip ke Dalam Tangki

Proses terakhir adalah peletakan helical coil ke dalam tangki, dengan melubangi bagian tengah dari tangki untuk saluran masuk dan keluar aliran dari helical coil tersebut. Proses peletakan Shell Helical Coil Bersirip kedalam tangki dapat dilihat pada gambar 4.13



Gambar 4.13 Pemasangan Helical Coil ke Dalam Tangki

• Melakukan penyambungan APK ke jalur *Refrigerant* 

Setelah itu menyambung alat penukar kalor honeycomb ke jalur refrigrent masuk kondensor dan keluar kompresor ke kondensor menggunakan nepel dapat dilihat seperti gambar 4.14



Gambar 4.14. Menyambung Alat Penukar Kalor ke Jalur Refrigrant

# 4.2 Proses Pengujian ACWH

Sebelum melakukan penelitian ACWH terlebih dahulu dilakukan pengujian, hal ini dilakukan untuk mengetahui apakah mesin bekerja dengan baik atau tidak. Jika mesin belum beroperasi dengan baik mesin harus diperbaiki lagi sampai kondisi

mesin benar-benar siap untuk pengambilan data dan penelitian. Gambar proses pengujian ACWH dapat dilihat pada gambar 4.15



Gambar 4.15 Percobaan Pengujian ACWH . Adapun tahap-tahap untuk melakukan pengujian adalah sebagai berikut:

### • Pengisian Freon

Pengisian freon dilakukan dengan menggunakan pressure gauge, dam pengisian dilakukan sampai tekanan 80 psi. Setelah pengisian freon tunggu beberapa menit sampai tekanan stabil. Proses pengisian Freon dapat dilihat pada gambar 4.16



Gambar 4.16 Pengisian Freon

### • Proses Pengisian Air

Proses pengisian air kedalam tangki ACWH. Adapun banyak air yang di masukkan adalah sebanyak 60 liter. Proses pengisian air dapat dilihat pada gambar 4.17



Gambar 4.17 Pengisian Air

# • Pengambilan Data

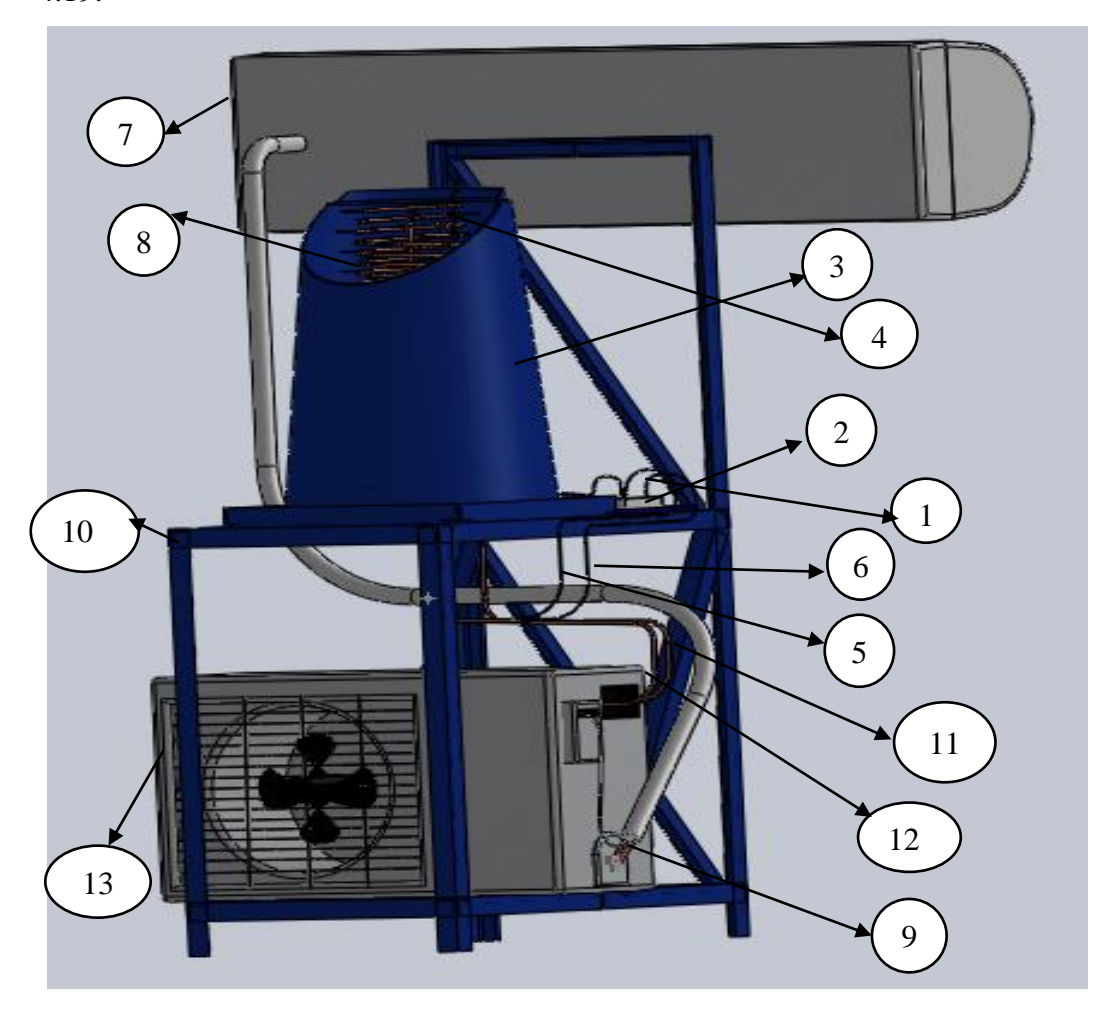
Proses Pengambilan data, Pada proses ini melakukan proses pengujian untuk pengumpulan dan pengambilan data dari mesin ACWH untuk penelitian masing-masing. Proses pengambilan data ini meliputi pengambilan data temperatur air,temperatur refrigrent masuk kondensor dan temperatur refrigrent keluar kompresor pada temperatur AC 16°C ,18°C dan 20°C. Pengambilan data berlangsung selama 60 menit dapat dilihat seperti gambar 4.18.



Gambar 4.18 Pengambilan Data

# 4.3 Set Up Alat Uji ACWHShell Helical Coil Bersirip.

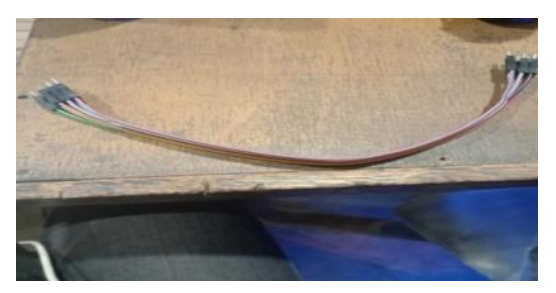
Bagian-bagian dan komponen dari ACWH dengan penambahan *Shell Helical Coil* Bersirip yang telah dirancang dan disusun dapat dilihat pada gambar 4.19:



Gambar 4.19.Bagian-Bagian Komponen Alat Uji ACWH (Shell Helical Coil Bersirip)

# Keterangan:

1. Kabel koneksi arduino uno ke bread board



Gambar 4.20. Kabel Koneksi

# 2. Bread board



Gambar 4.21. Bread Board

# 3. Tangki



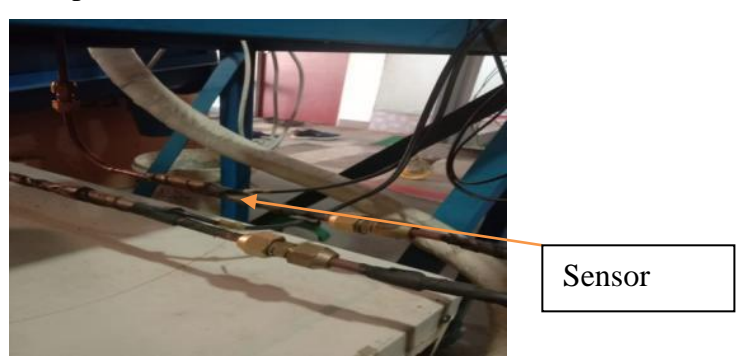
Gambar 4.22. Tangki

# 4. Sensor suhu air



Gambar 4.23. Sensor Suhu Air

# 5. Sensor suhu keluar kompresor



Gambar 4.24. Sensor Suhu Keluar Kompresor

# 6. Sensor suhu masuk kondensor



Gambar 4.25. Sensor Suhu Masuk Kondensor

# 7. Unit indoor AC



Gambar 4.26. Unit Indoor AC

# 8. APKShell Helical Coil Bersirip



Gambar 4.27. APK Shell Helical Coil Bersirip

# 9. Pipa Freon



Gambar 4.28. Pipa Freon

# 10. Rangka



Gambar 4.29. Rangka

# 11. Pipa keluar compressor



Gambar 4.30. Pipa Keluar Kompresor

# 12. Pipa masuk kondensor



Gambar 4.31. Pipa Masuk Kondensor

#### 13. Unit outdoor AC



Gambar 4.32. Unit Outdoor AC

### 4.4. Hasil Pengujian

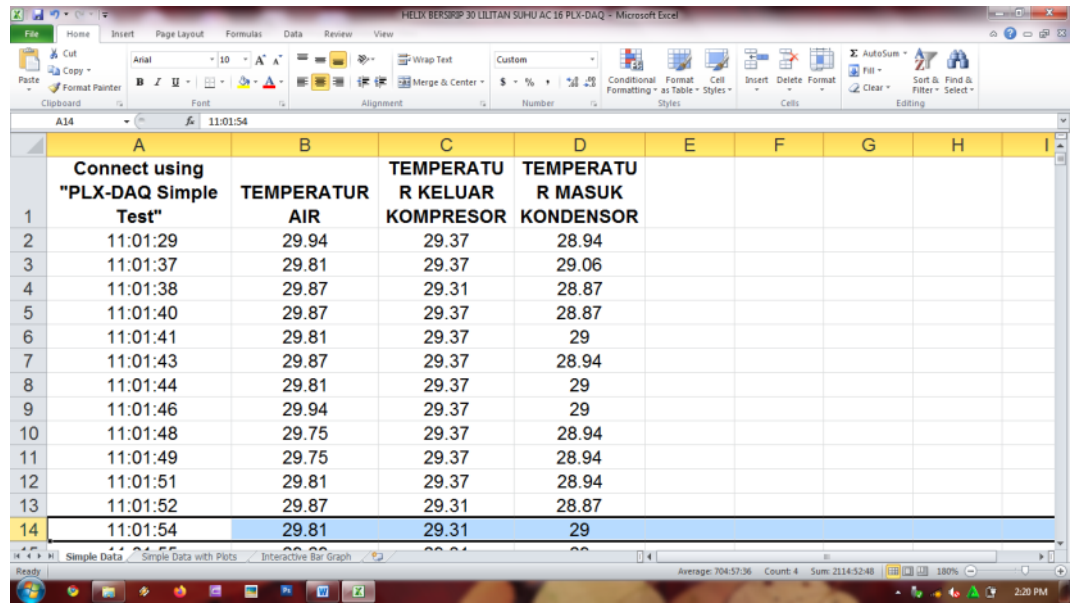
Bersumber pada hasil pengujian yang telah dilaksanakan di Laboraturium Prestasi Mesin, Program Studi Teknik Mesin, Fakultas Teknik, Universitas Muhammadiyah Sumatera Utara, tentang kinerja dari Air Conditioning Water Heater, diperoleh data dan variabel yang dapat menjawab persoalan-persoalan pada data tersebut, serta memberikan suatu gambaran dengan data dalam bentuk table dan juga dilengkapi dengan grafik.

Data-data dari hasil percobaan yang telah dilaksanakan dalam penelitian ini akan dijelaskan atau diuraikan dalam bab 4 ini dalam bentuk perhitungan guna memperoleh variabel yang diinginkan. Selanjutnya dibawah ini adalah bentuk data dari hasil percobaan dan pengujian yang dilaksanakan dalam penelitian yang dilakukan pada mesin *Air Conditioning Water Heater*, serta data dari perhitungan yang dilaksanakan untuk mengetahui perpindahan panas yang terjadi dari APK *Shell Helical Coil* Bersirip ke air.

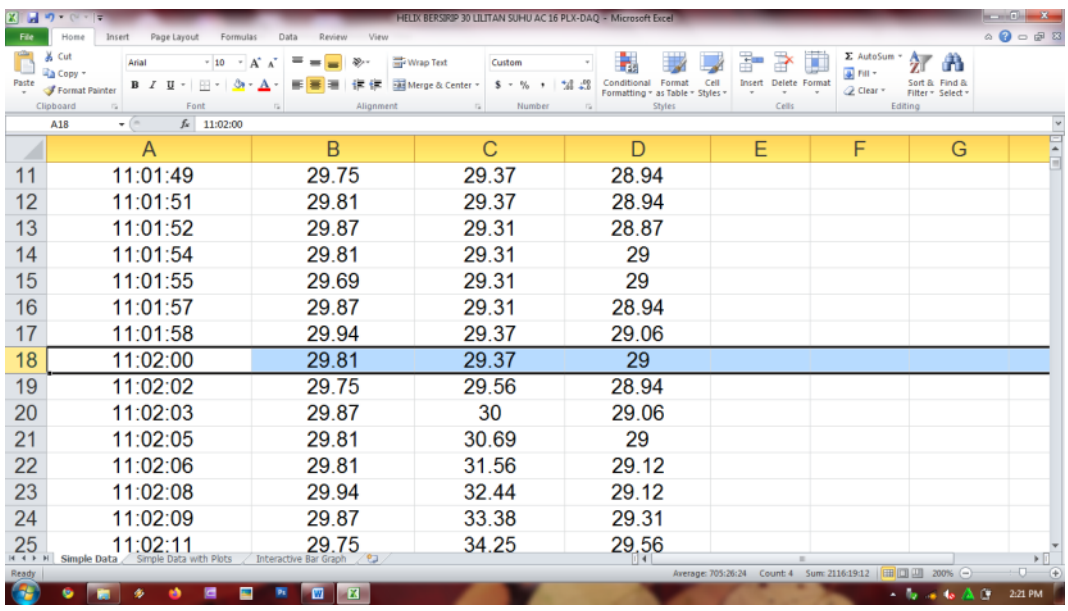
4.4.1 Data Hasil Pengujian Temperatur Air, Temperatur Keluar Kompresor Dan Temperatur Masuk Kondensor.

Pada pelaksanaan pengujian, menggunakan arduino uno, didapat temperatur air yang dihasilkan oleh temperatur AC. Adapun pengujian dilakukan dengan 3 tahap yaitu pada suhu 16 °C, 18 °C, dan 20°C.

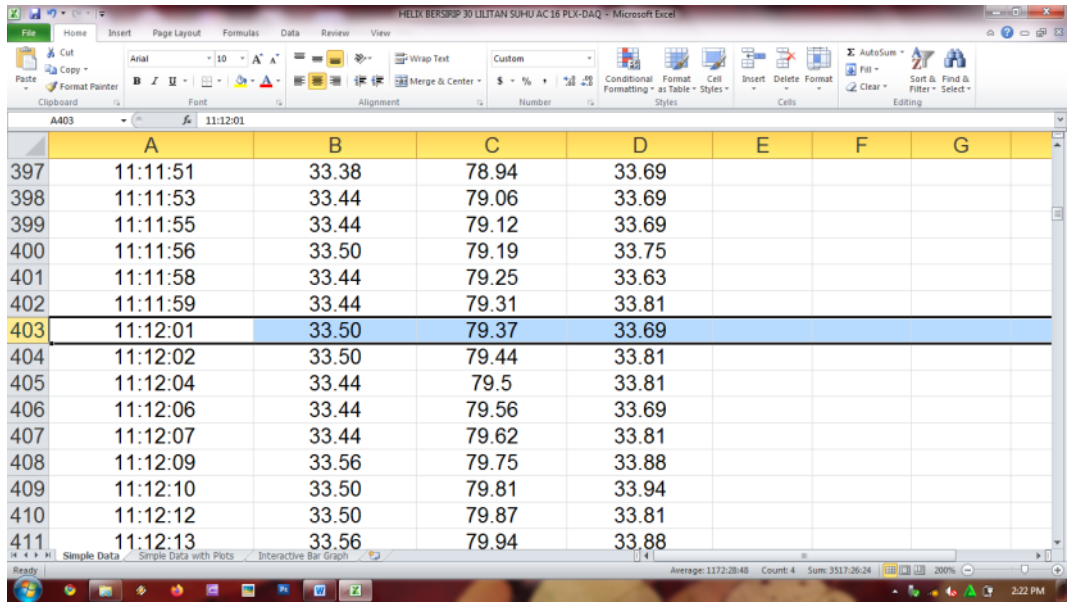
variabel yang diperoleh dapat dilihat pada gambar dibawah ini : Hasil Pengujian data temperatur 16°C.



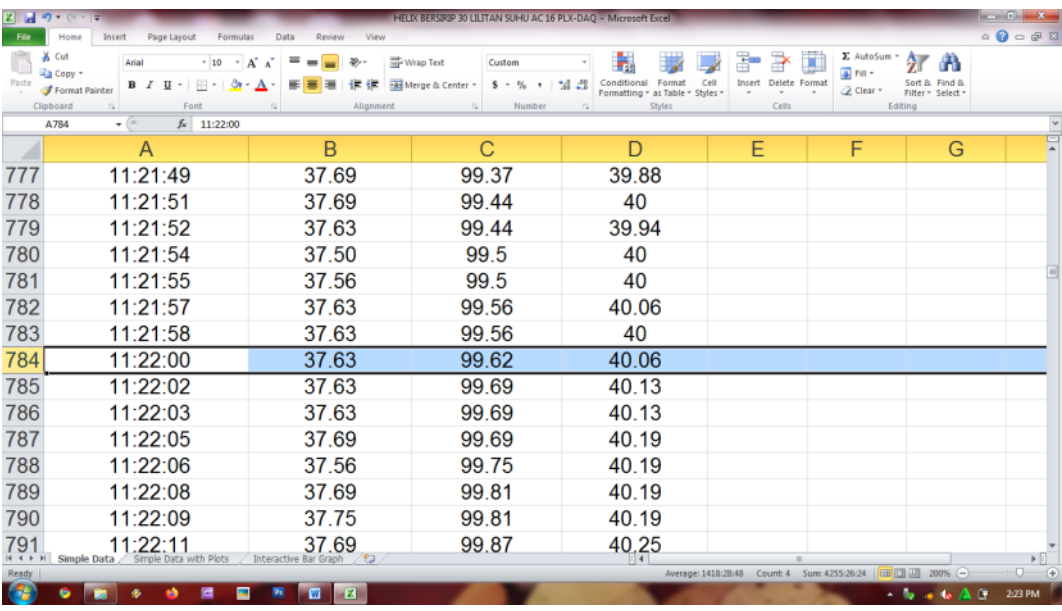
Gambar 4.33. Data Pengujian Temperatur Awal Suhu 16°C



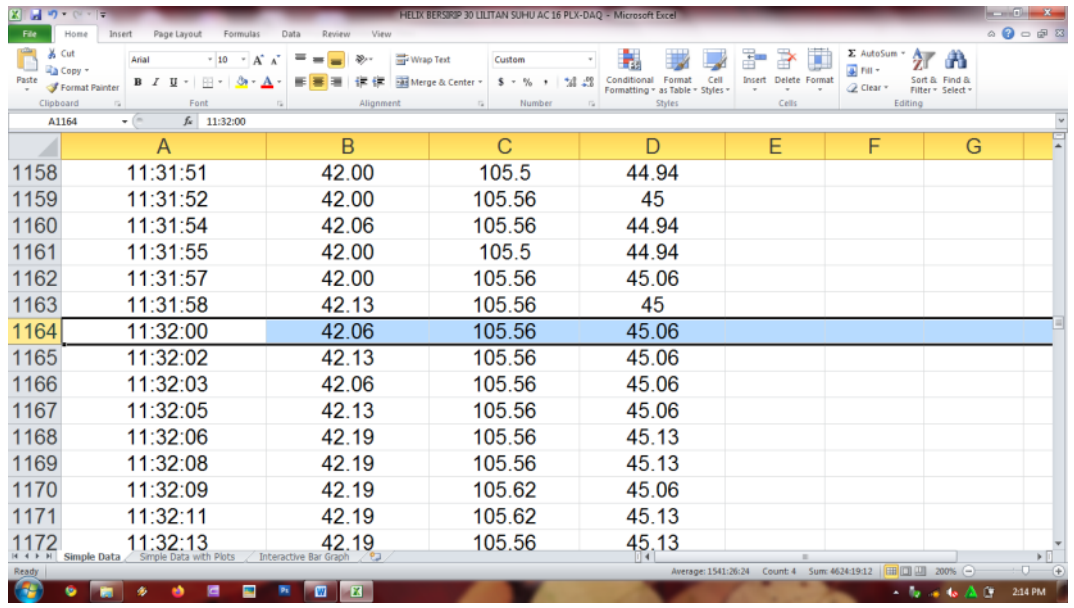
Gambar 4.34. Data Pada Waktu Memulai Pengujian, Suhu 16°C



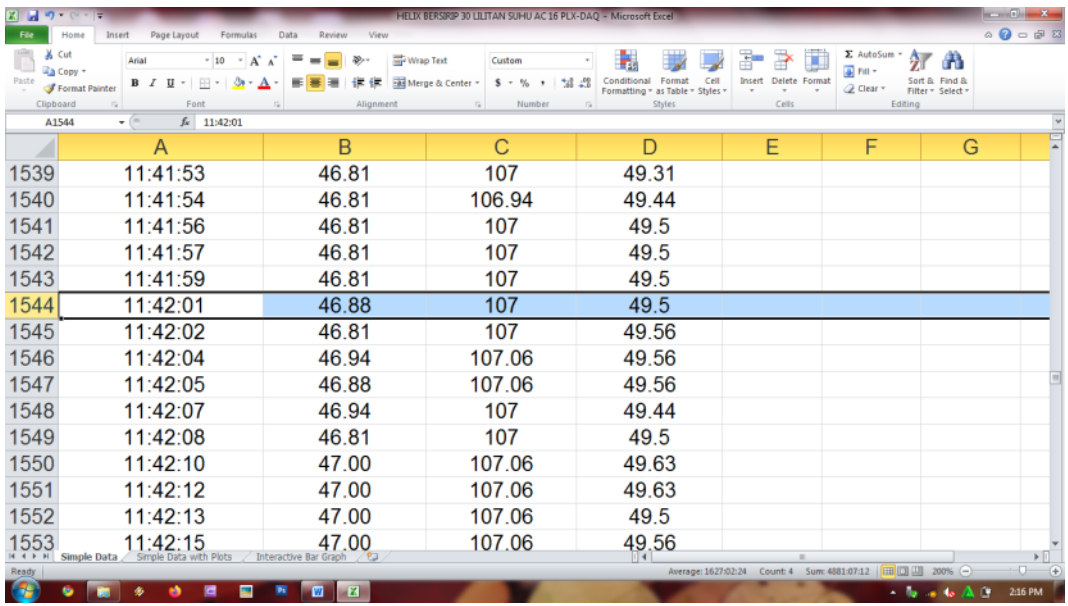
Gambar 4.35. Data Hasil Pengujian Pada Waktu 10 menit Di Suhu 16°C



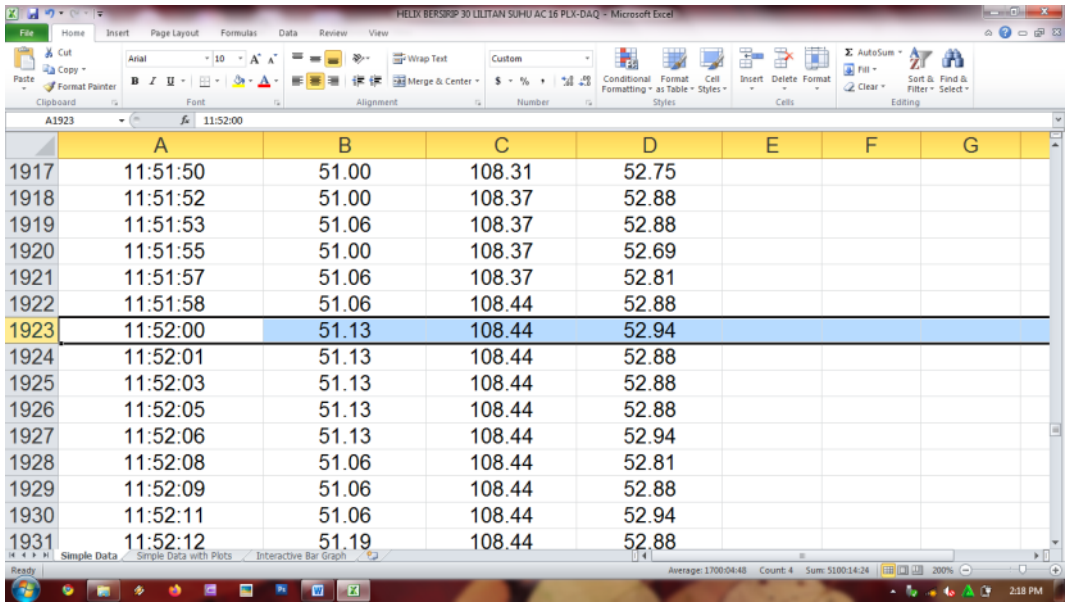
Gambar 4.36. Data Hasil Pengujian Pada Waktu 20 menit Di Suhu 16°C



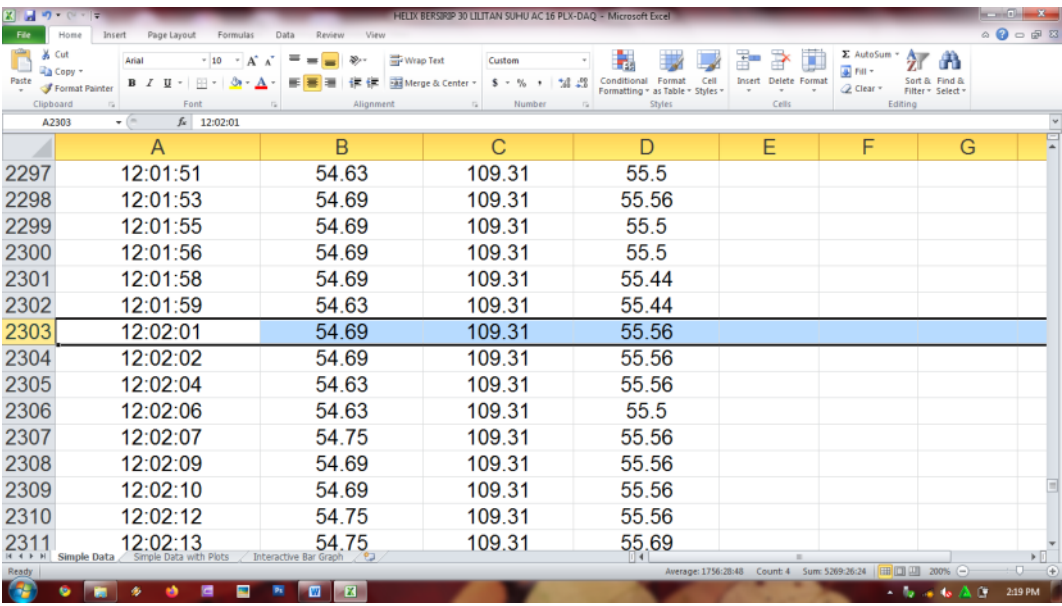
Gambar 4.37. Data Hasil Pengujian Pada Waktu 30 menit Di Suhu 16°C



Gambar 4.38. Data Hasil Pengujian Pada Waktu 40 menit Di Suhu 16°C



Gambar 4.39. Data Hasil pengujian Pada Waktu 50 menit Di Suhu 16°C

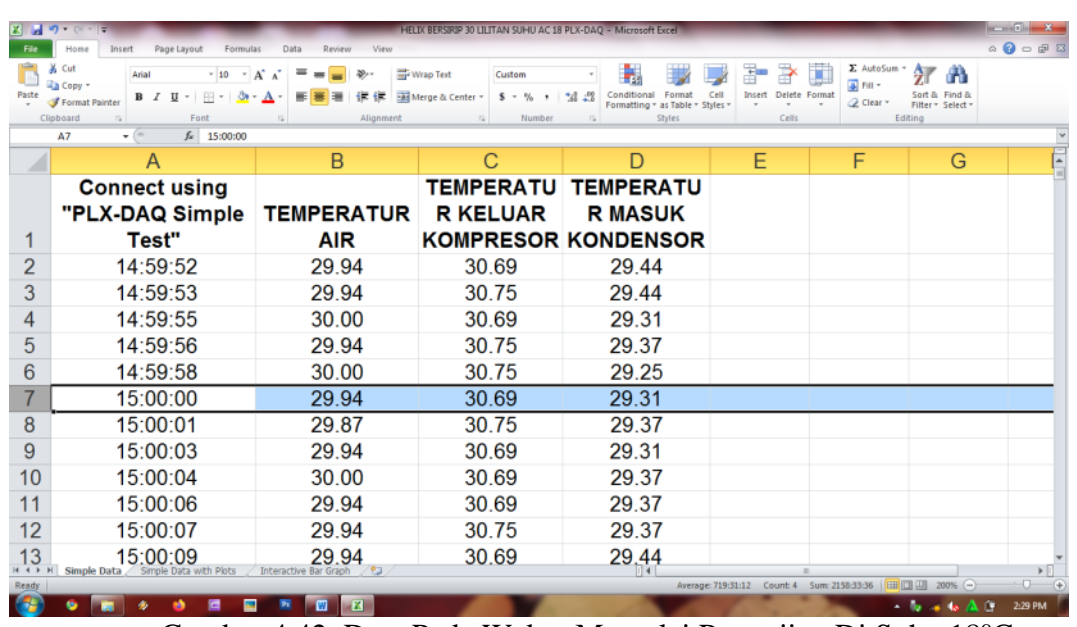


Gambar 4.40. Data Hasil Pengujian Pada Waktu 60 menit Di Suhu 16°C

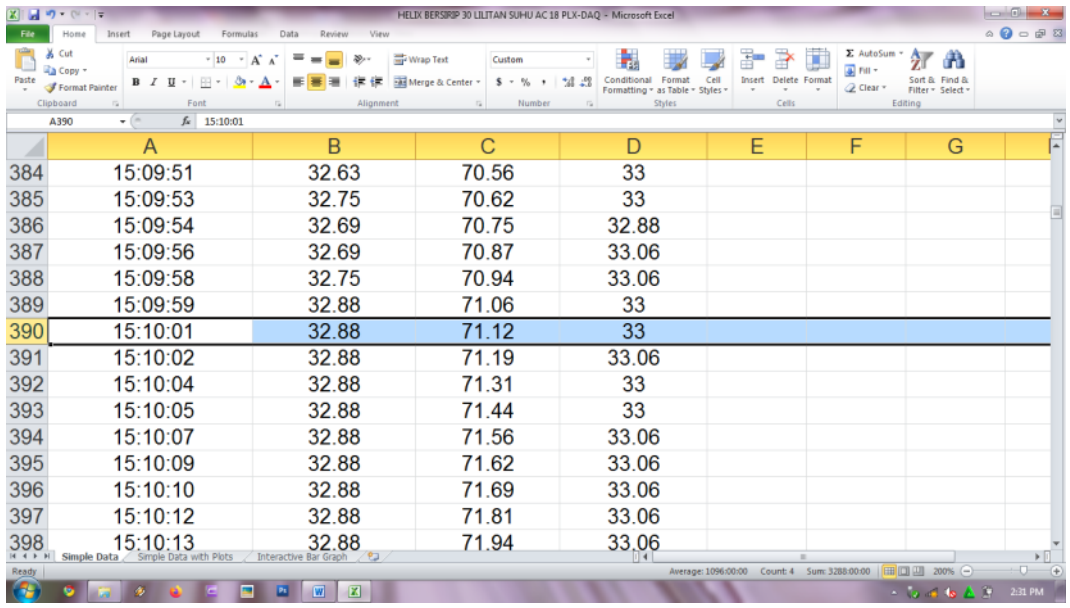
### Data Hasil Pengujian Temperatur 18°C

The state of the s						_ T X		
File	File Home Insert Page Layout Formulas Data Review View							
Paste	Cut Arial v 10 v  a Copy v  Format Painter  B I U v □ · ·		Vrap Text Custom	* Conditional Format (Formatting as Table * St	Cell Insert Delete	Σ AutoSum ·	Sort & Find & Filter * Select *	
,	oboard 12 Font	(a) Alignment	Ta Number	Formatting * as Table * Styles	Cells		liting	
	A3 - 14:59:53							~
	Α	В	С	D	Е	F	G	
	Connect using		<b>TEMPERATU</b>	TEMPERATU				
	"PLX-DAQ Simple	<b>TEMPERATUR</b>	R KELUAR	R MASUK				
1	Test"	AIR	<b>KOMPRESOR</b>	KONDENSOR				
2	14:59:52	29.94	30.69	29.44				
3	14:59:53	29.94	30.75	29.44				
4	14:59:55	30.00	30.69	29.31				
5	14:59:56	29.94	30.75	29.37				
6	14:59:58	30.00	30.75	29.25				
7	15:00:00	29.94	30.69	29.31				
8	15:00:01	29.87	30.75	29.37				
9	15:00:03	29.94	30.69	29.31				
10	15:00:04	30.00	30.69	29.37				
11	15:00:06	29.94	30.69	29.37				
12	15:00:07	29.94	30.75	29.37				
13	15:00:09	29.94	30.69	29,44				· ·
Ready	Simple Data / Simple Data with Plots /	Interactive Bar Graph 😓		Average:	721:02:24 Count: 4	Sum: 2163:07:12	200% —	· · · ·
	🤨 🛐 🄣 🔞 🖪	M X		The same of	1000		🧓 🧀 😘 🛕	② 2:28 PM

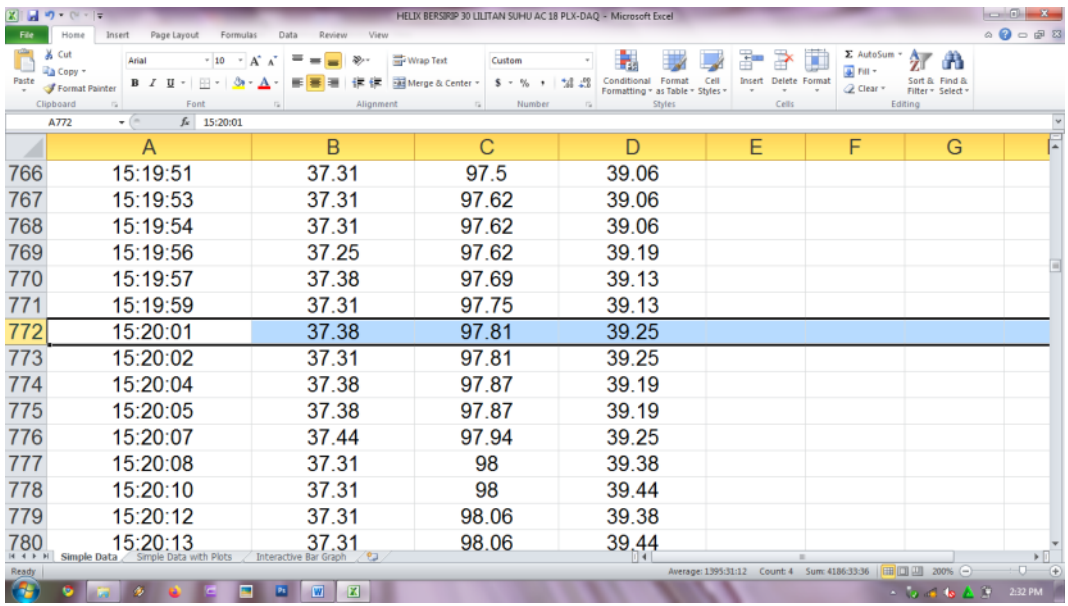
Gambar 4.41. Data Hasil Pengujian Temperatur Awal Di Suhu 18°C



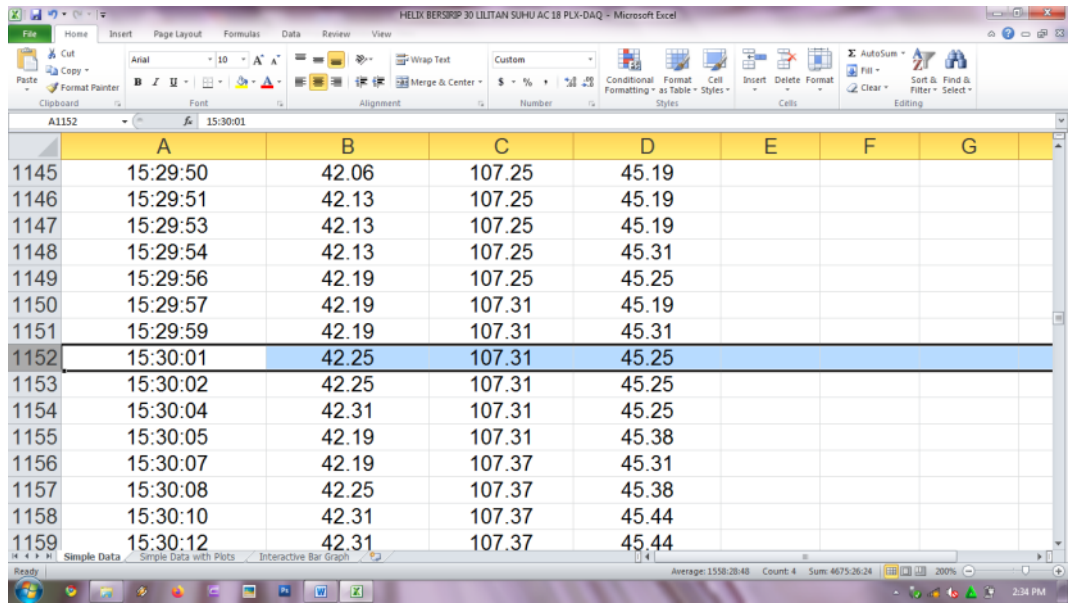
Gambar 4.42. Data Pada Waktu Memulai Pengujian Di Suhu 18°C



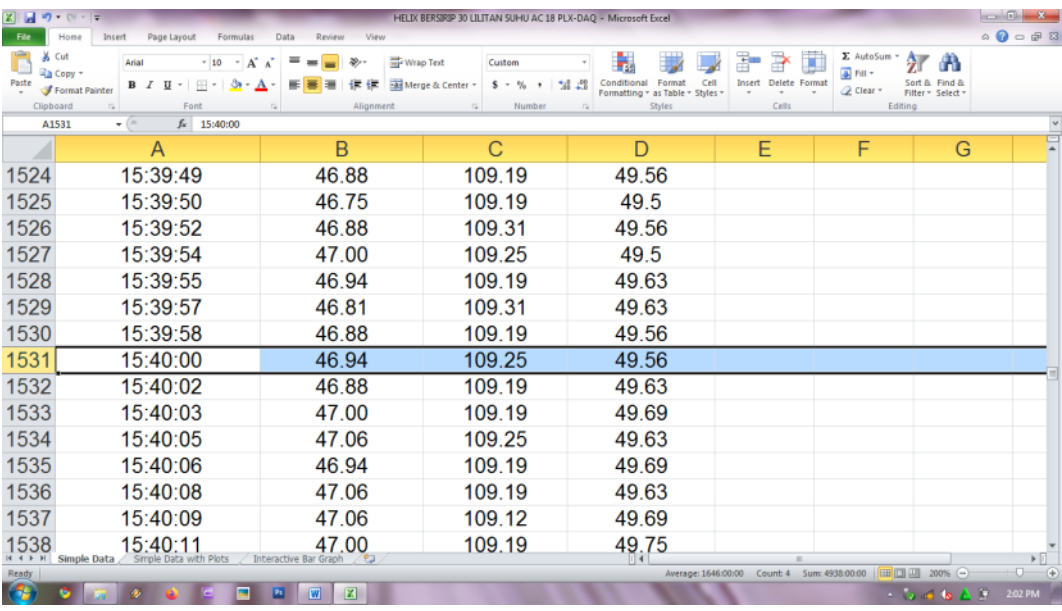
Gambar 4.43. Data Hasil Pengujian Pada Waktu 10 menit Di Suhu 18°C



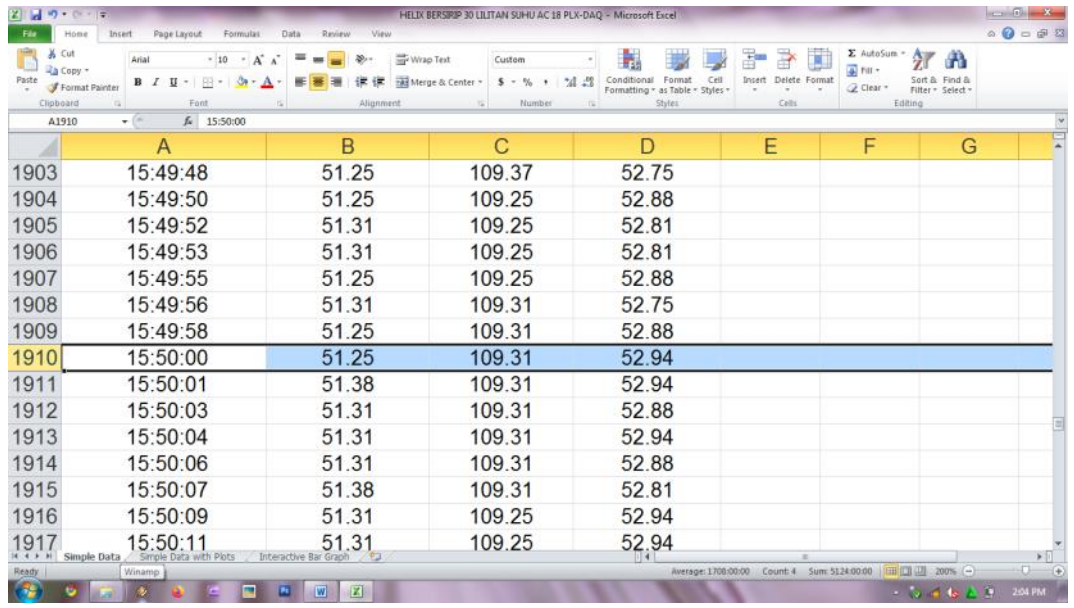
Gambar 4.44. Data Hasil Pengujian Pada Waktu 20 menit Suhu 18°C



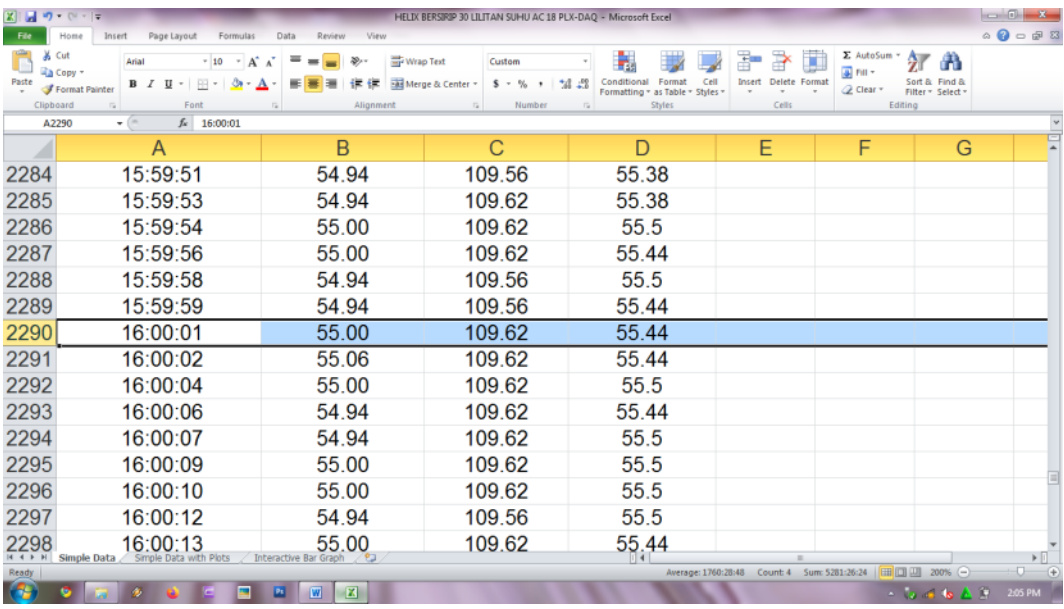
Gambar 4.45. Data Hasil Pengujian Pada Waktu 30 menit Suhu 18°C



Gambar 4.46. Data Hasil Pengujian Pada Waktu 40 menit Suhu 18°C

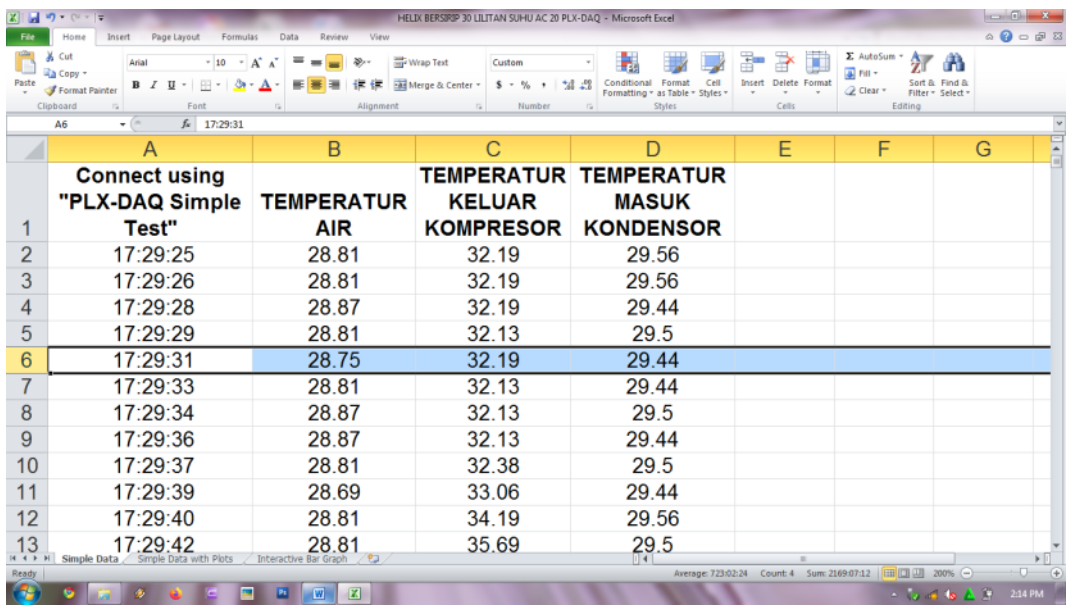


Gambar 4.47. Data Hasil Pengujian Pada Waktu 50 menit Suhu 18°C

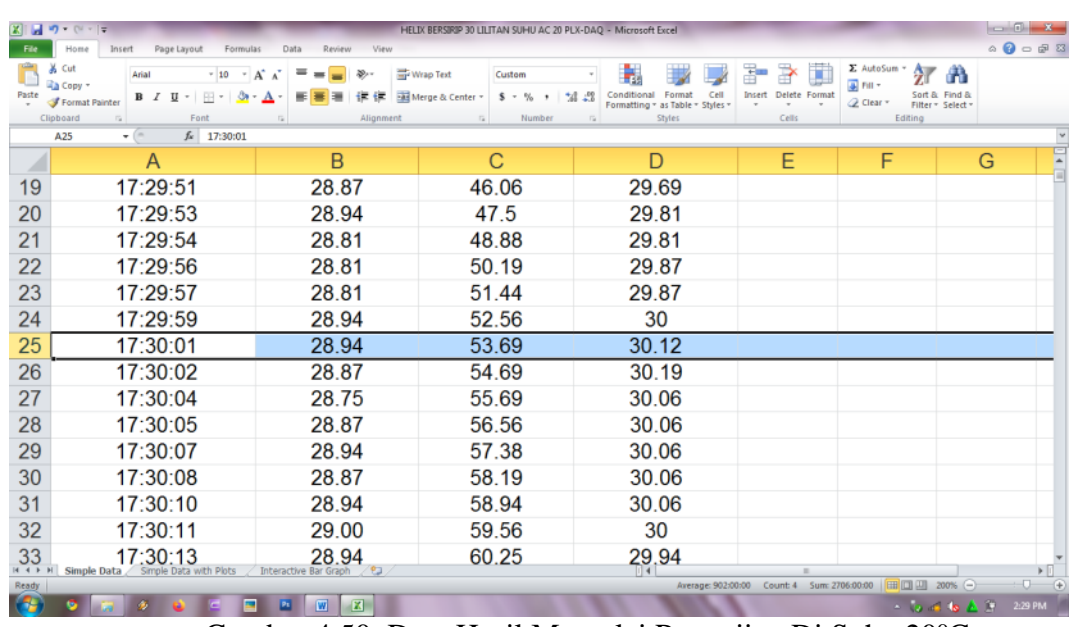


Gambar 4.48. Data Hasil Pengujian Pada Waktu 60 menit Suhu 18°C

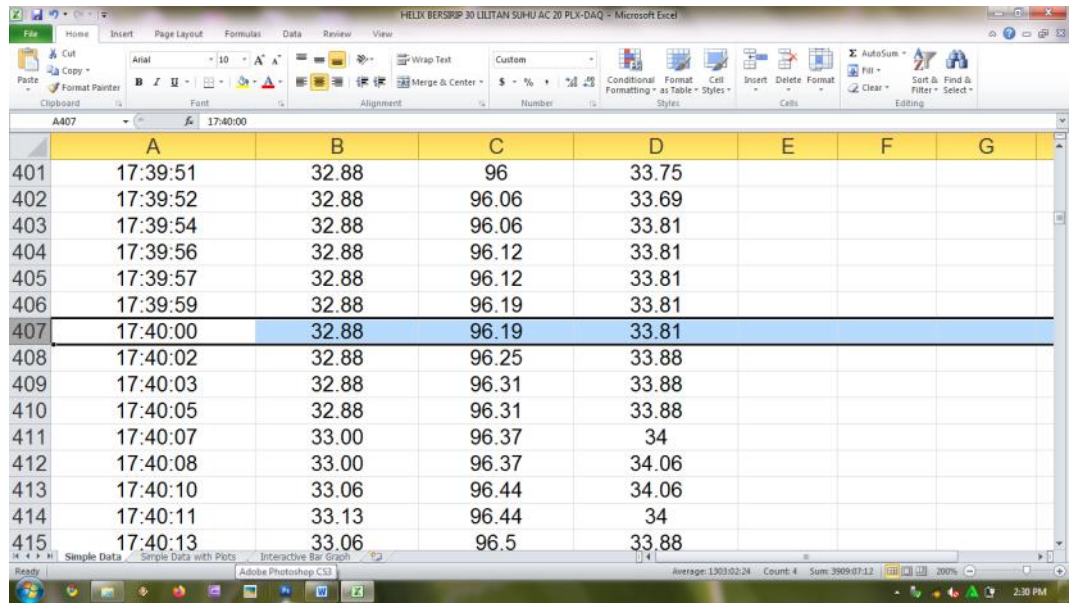
### Hasil Data Pengujian Temperatur 20°C



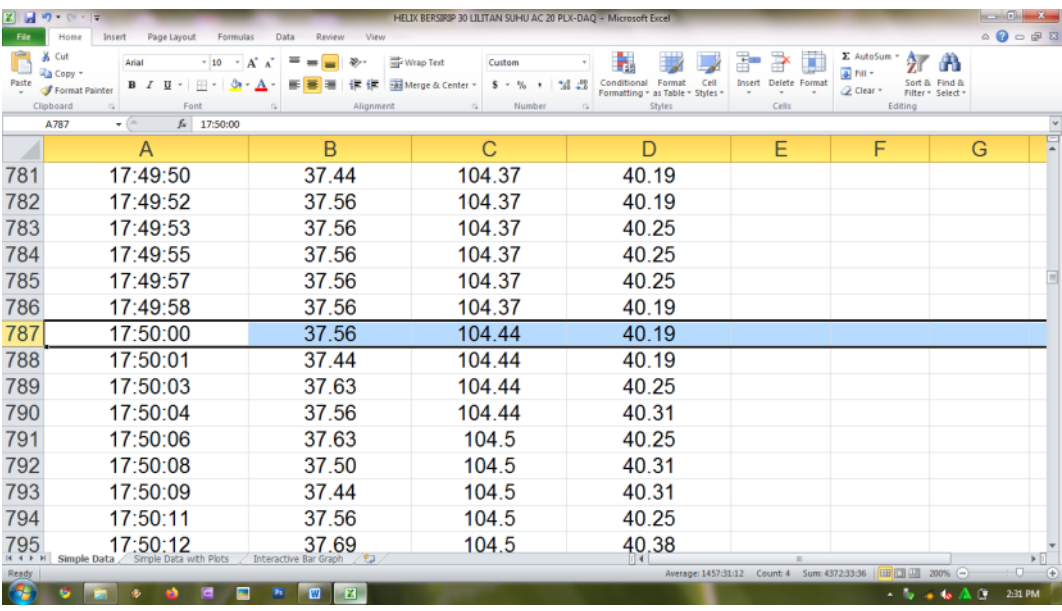
Gambar 4.49. Data Hasil Temperatur Awal Di Suhu 20°C



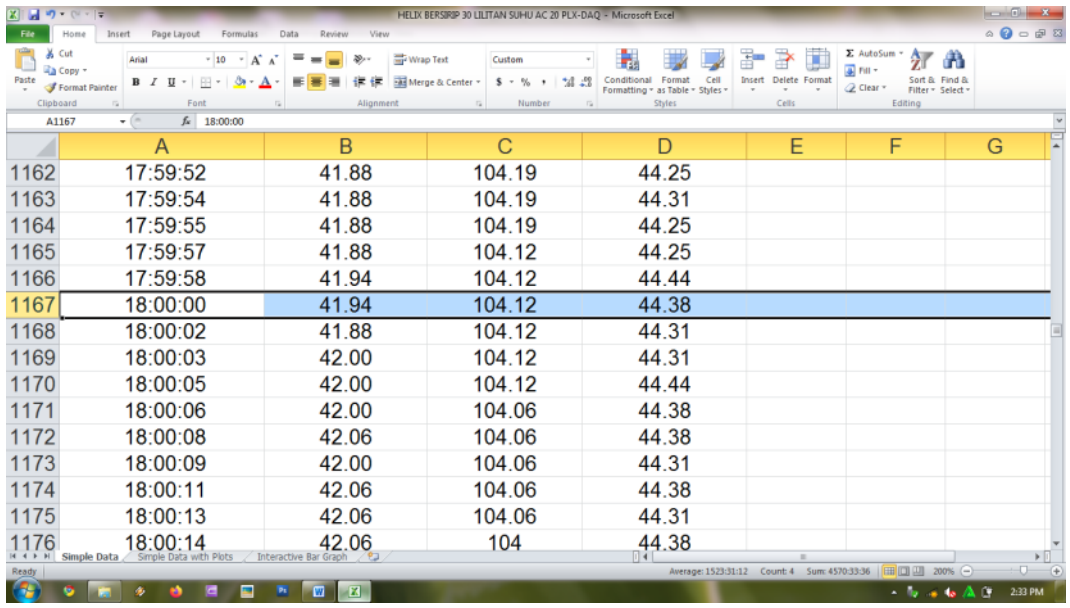
Gambar 4.50. Data Hasil Memulai Pengujian Di Suhu 20°C



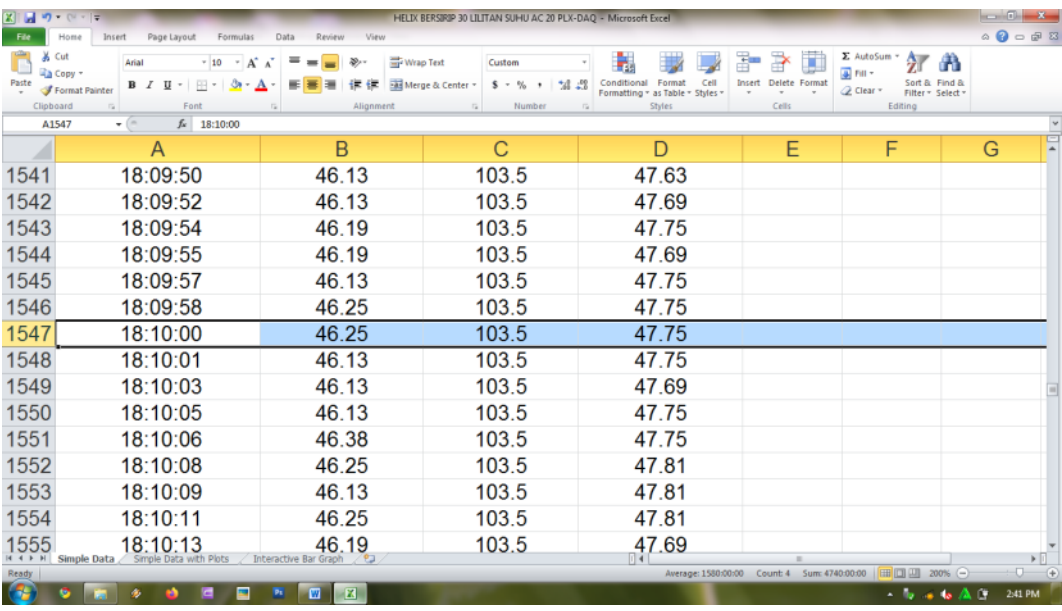
Gambar 4.51. Data Hasil Pengujian Pada Waktu 10 menit Suhu 20°C



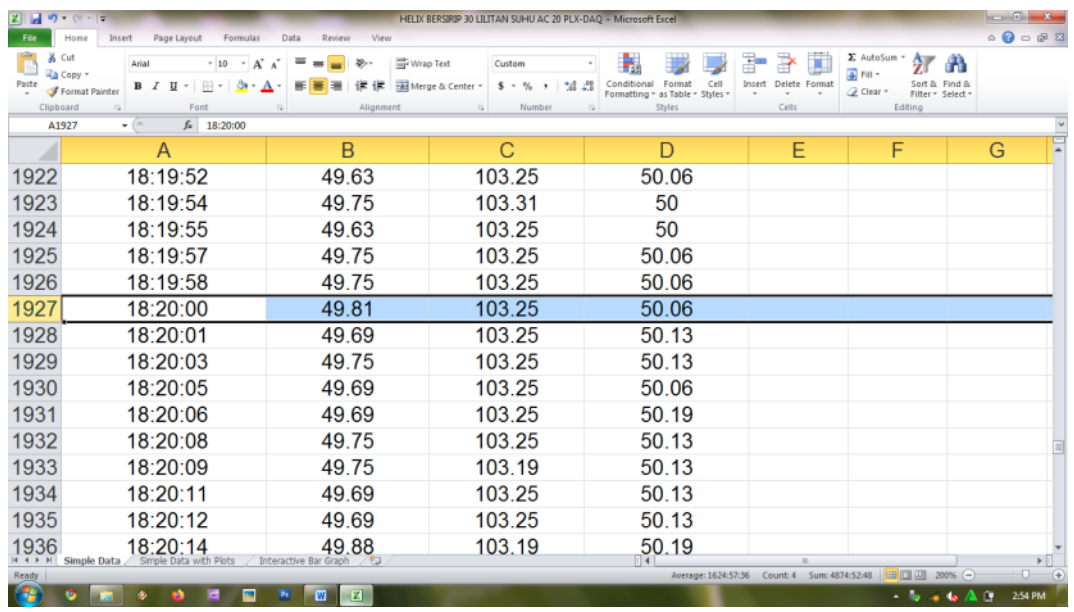
Gambar 4.52. Data Hasil Pengujian Pada Waktu 20 menit Suhu 20°C



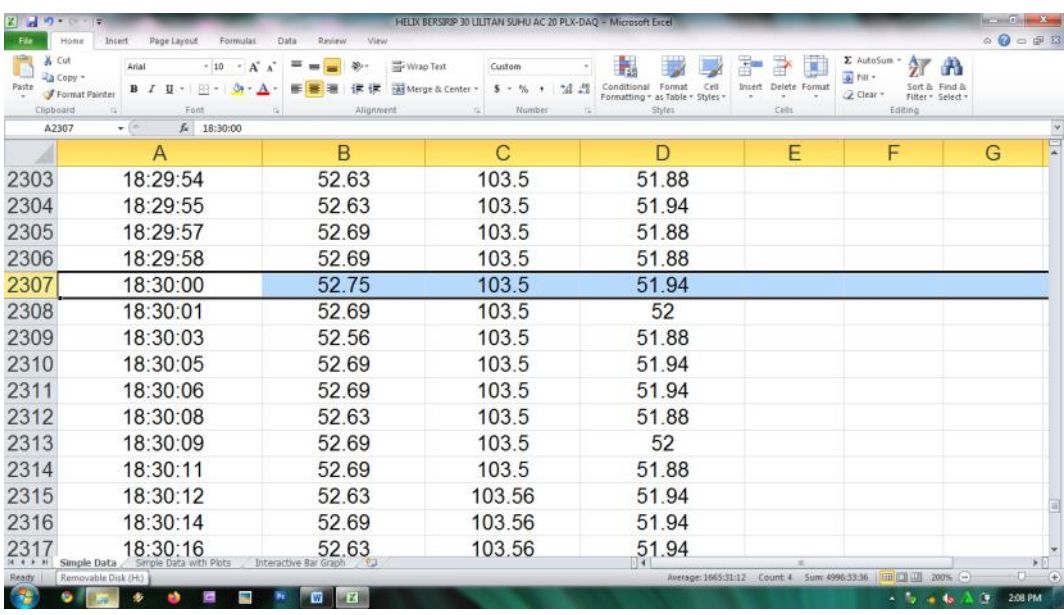
Gambar 4.53. Data Hasil Pengujian Pada Waktu 30 menit Suhu 20°C



Gambar 4.54. Data Hasil Pengujian Pada Waktu 40 menit Suhu 20°C



Gambar 4.55. Data Hasil Pengujian Pada Waktu 50 menit Suhu 20°C



Gambar 4.56. Data Hasil Pengujian Pada Waktu 60 menit Suhu 20°C

### 4.4.2 Hasil Pengujian Waktu Terhadap Temperatur Air

Pada pelaksanaan pengujian, didapat temperatur air yang dihasilkan oleh temperature evaporator AC. Adapun variabel yang diperoleh dapat dilihat pada tabel 4.1.

Tabel 4.1 Data Hasil Pengujian Temperatur Air

Tabel 4.1 Data Hashi Tengujian Temperatur 741					
Temperatur	Temperatur	Temperatur			
Evaporator AC 16°C	Evaporator AC 18°C	Evaporator AC 20°C			
$(^{\circ}C)$	(°C)	(°C)			
29,81	29,94	28,75			
33,50	32,88	32,88			
37,63	37,38	37,56			
42,06	42,25	41,94			
46,88	46,94	46,25			
51,13	51,25	49,81			
54,69	55	52,75			
	Temperatur Evaporator AC 16°C (°C) 29,81 33,50 37,63 42,06 46,88 51,13	Temperatur Evaporator AC 16°C (°C)  29,81  33,50  37,63  42,06  46,88  51,13  Temperatur Evaporator AC 18°C (°C)  32,88  37,38  42,06  42,25  46,88  51,25			

Adapun grafik perbandingannya dapat dilihat pada gambar 4.57 Grafik Perbandingan Waktu Terhadap Temperatu Air 60 50 **Temperatur Air** 40 Temperatur Evaporator AC 16°C 30 Temperatur Evaporator 20 AC 18°C Temperatur Evaporator 10 AC 20°C 0 0 10 20 30 40 50 60

Gambar 4.57 Grafik Perbandingan Waktu Terhadap Temperatur Air

Waktu (menit)

Pada grafik perpandingan waktu terhadap temperatur air diatas dapat kita simpulkan, dimana temperatur evaporator AC 20°C menghasilkan temperatur air terendah yaitu temperatur air yang dihasilkan sebesar 52,75°C dengan waktu pengujian selama 60 menit.

### 4.4.3. Hasil Pengujian Waktu Terhadap Temperatur Keluar Kompresor

Pada pelaksanaan pengujian, didapat temperatur *refrigeran* keluar kompresor yang dihasilkan oleh temperatur Evaporator AC. Adapun variabel yang diperoleh dapat dilihat pada tabel 4.2.

Tabel 4.2 Data Hasil Pengujian Temperatur Keluar Kompresor

Adapun grafik perbandingannya dapat dilihat pada gambar 4.58

_	Temperatur	Temperatur	Temperatur
Waktu	Evaporator AC 16°C	Evaporator AC 18°C	Evaporator AC 20°C
(menit)	(°C)	(°C)	(°C)
0	29,31	30,75	32,19
10	79,37	71,12	96,19
20	99.62	97,81	104,44
30	105,56	107,31	104,12
40	107	109,25	103,5
50	108,44	109,31	103,25
60	109,31	109,62	103,5

Grafik Perbandingan Waktu Terhadap Temperatur
Keluar Kompresor

120
100
80
80
Temperatur Evaporator
AC 16°C
Temperatur Evaporator
AC 18°C

Gambar 4.58 Grafik Perbandingan Waktu Terhadap Temperatur Keluar Kompresor

Pada grafik perbandingan waktu terhadap temperatur keluar kompresor diatas dapat kita simpulkan, dimana kenaikan temperatur tercepat dialami oleh temperatur evaporator AC 16°C, sebesar 109,31°C. Berbeda dengan temperatur evaporator AC 20°C yang menghasilkan temperatur terendah yaitu sebesar 103,5°C. Dengan pengujian selama 60 menit.

### 4.4.4 Data Hasil Pengujian Temperatur *Refrigeran* Masuk Kondensor

Pada pelaksanaan pengujian, didapat temperatur refrigeran keluar kompresor yang dihasilkan oleh temperatur evaporator AC. Adapun variabel yang diperoleh dapat dilihat pada tabel 4.3.

Tabel 4.3 Data Hasil Pengujian Temperatur Masuk Kondensor

	Temperatur	Temperatur	Temperatur
Waktu	Evaporator AC 16°C	Evaporator AC 18°C	EvaporatorAC 20°C
(menit)	(°C)	(°C)	(°C)
0	29,45	29,44	29,56
10	32,50	33	33,81
20	38,69	39,25	40,19
30	44	45,25	48,38
40	48,69	49,56	50,75
50	52,19	52,94	53,6
60	55,13	55,44	56,13

Grafik Perbandingan Waktu Terhadap Temperatur Masuk Kondensor 60 50 Temperatur (°C) 40 30 Temperatur AC 16°C Temperatur AC 18°C 20 Temperatur AC 20°C 10 0 0 10 20 30 40 50 60 Waktu (menit)

Adapun grafik perbandingannya dapat dilihat pada gambar 4.59

Gambar 4.59 Grafik Waktu Terhadap Temperatur Masuk Kondensor

Pada grafik perbandingan waktu terhadap temperatur masuk kondensor diatas dapat kita simpulkan, dimana temperatur evaporator AC 16°C menghasilkan temperature masuk kondensor sebesar55,13°C. Berbeda dengan temperature evaporator AC 20°C yang menghasilkan lebih besar temperatur masuk kondensor yaitu sebesar 56,13°C, dengan waktu pengujian selama 60 menit.

### 4.5 Pengolahan dan Perhitungan Data

#### 4.5.1 Perhitungan Perpindahan Panas Dari Shell Helical Coil bersirip ke Air

Perhitungan ini dilakukan dengan cara menghitung perpindahan panas yang terjadi dari *Shell helical coil* bersirip ke air dengan menggunakan 3 temperatur AC yang berbeda dan volume air yang sama yaitu 60 liter. Adapun perhitungannya sebagai berikut:

### 1. Perhitungan pada temperatur Evaporator AC 16°C

Pada saat proses pungujian diketahui data sebagai berikut:

Dik: Volume air (v)= 60 liter = 60 kgDiameter dalam pipa  $(d_i)$ = 5,53mm = 0,00553 mDiameter luar pipa  $(d_a)$ = 6,35mm = 0,00635 mPanjang pipa (L)= 16 mTemperatur awal air ( $T_{ai}$ )  $= 29,81^{\circ}C$ Temperatur akhir air ( $T_{ao}$ )  $= 54,69^{\circ}C$  $= 24.88^{\circ}C$  $\Delta T_{air}$ Temperatur masuk tangki ( $T_{ci}$ )  $=91,23^{\circ}C$ Temperatur keluar tangki ( $T_{co}$ )  $=42.95^{\circ}C$  $=48.28^{\circ}C$  $\Delta T_{coil}$ 

Waktu pemanasan ( $\Delta t$ ) = 1 jam = 3600 detik

Daya kompresor( $\dot{W_c}$ )= 880 W = 0.88Kw

Panjang Sirip (L) = 4 cm = 0.04m

Tebal Sirip (t) = 0.4mm = 0.0004 m

 $\Delta T_{\text{coil}} - \Delta T_{\text{air}} (\theta_0)$  = 23,4°C

Kedalaman Sirip (A) = 60 cm = 0.06 m

 $=(0.06)\times(0.04\times10^{-3})$ 

 $=0.24\times10^{-3}$ 

Jumlah Sirip (N) = 64

Untuk menghitung energi (W) digunakan rumus sebagai berikut:

$$W = m_{air} \times C_{air} \times \Delta T_{air}$$

Dimana:  $C_{air}$  = panas jenis air

$$T_{ra} = \frac{T_{ai} + T_{ao}}{2} = \frac{29,81 + 54,69}{2} = 42,25$$
 °C

didapat dari tabel

Tabel 4.4 propertis air

1 doci +.+ propertis dii	
T	$C_{air}$
37,78	4,174
42,25	
43,33	4,174

Interpolasi:

$$C_{air} = 4,174 + \frac{(4,174 - 4174)}{(43,33 - 37,78)} \cdot (42,25 - 37,78)$$

$$C_{air} = 4,208 + (0) \cdot (4,47)$$

$$C_{air} = 4,174 \frac{kj}{kg} \cdot {}^{\circ}C = 4174 \frac{j}{kg} \cdot {}^{\circ}C$$

Maka didapat:

$$W = 60kg \times 4174 \frac{j}{kg} \cdot {}^{\circ}C \times 24,88 {}^{\circ}C$$

$$W = 6230947, 2J = 6,23MJ$$

Untuk menghitung koefisien perpindahan panas pada sisi luar coil (h<sub>o</sub>) digunakan rumus sebagai berikut:

$$h_o = \frac{W}{A_o \cdot \Delta T_{air} \cdot \Delta T} = \frac{W}{\pi \cdot d_o \cdot L \cdot \Delta T \cdot \Delta t}$$

$$h_o = \frac{6230947,2J}{\pi \times 0,00635m \times 16m \times 23,82^{\circ}C \times 3600s}$$

$$h_o = \frac{6230947,2}{2857434} = 218,060 \frac{\text{W}}{\text{m}^2 \circ \text{C}}$$

Untuk menghitung kapasitas penukar pakar  $(Q_{coil})$  digunakan rumus berikut:

$$Q_{coil} = m \cdot C_f \cdot (\Delta T_{coil})$$

Dimana:  $C_f$  = panas jenis freon

m =laju aliran massa freon

Terlebih dahulu mencari laju aliran massa dengan rumus sebagai berikut:

$$\dot{m} = \frac{W_c}{H_o - H_i}$$

Dimana:  $H_o = \text{Entalpy keluar tangki}$ 

 $H_i$  = Entalpy masuk tangki

$$T_{co} = 42,95^{\circ}C$$

Didapat dari tabel:

Tabel 4.5 propertis refrigerant R22

T	$H_o$
48	417,27
42,95	
50	417,44
42,95	,

Dari hasil interpolasi diperoleh  $H_o$  pada temperatur 42,95°C sebesar

$$416,68 \frac{kj}{kg}$$

$$T_{ci} = 91,23^{\circ}C$$

Didapat dari tabel:

Tabel 4.6 propertis refrigerant R22

T	$H_i$
90	401,87
91,23	
91,23 95	387,28

Dari hasil interpolasi diperoleh  $H_i$  pada temperatur 91,23°C sebesar

$$398,28 \frac{kj}{kg}$$

Maka didapat:

$$m = \frac{0,88}{416,68 - 398,28}$$

$$m = 0.047 \frac{kg}{s}$$

$$T_{rc} = \frac{T_{ci} + T_{co}}{2} = \frac{91,23 + 42,95}{2} = 67,09^{\circ}C$$

didapat dari tabel:

Tabel 4.7 propertis refrigerant R22

	, 0
T	$C_{freon}$
65	1,413
67,09	
 70	1,584

Dari hasil interpolasi diperoleh  $C_{\it freon}$  pada Temperatur 71,32°C sebesar

$$1,484 \frac{kj}{kg \cdot k} = 1484 \frac{j}{kg \cdot {}^{\circ}C}$$

Maka didapat:

$$Q_{coil} = 0.047 \frac{kg}{s} \times 1484 \frac{j}{kg} \cdot {}_{\circ}C \times 48,28 {}_{\circ}C$$

$$Q_{coil} = 3295,78W$$

Untuk menghitung laju refrigerant (v) digunakan rumus sebagai berikut:

$$v = \frac{m}{\rho(0.25 \cdot \pi \cdot d_i^2)}$$

Dimana:  $\rho$  = rapat massa (*density*) freon

Didapat dari tabel:

Tabel 4.8 propertis refrigerant R22

1 does 4.0 propertis rejrigerani 1022	
T	ρ
65	1001,4
67,09	
70	967,7

Dari hasil interpolasi diperoleh  $\rho_{{\it freon}}$  pada Temperatur 67,09°C sebesar

$$988,1^{kg}/_{m^3}$$

Maka didapat:

$$v = \frac{0,047 \frac{kg}{s}}{988,1 \frac{kg}{m^3} \left(0,25 \times \pi \times 0,00553^2 m\right)}$$

$$v = \frac{0.047}{0.023} = 2.04 \, \text{m/s}$$

Untuk menghitung bilangan reynold  $(R_e)$  digunakan rumus sebagai berikut:

$$R_e = \frac{\rho \cdot v \cdot d_i}{\mu}$$

Dimana:  $\mu$  = viskositas freon

Didapat dari tabel:

Tabel 4.9 propertis refrigerant R22

1 does 1.5 propertis rejrigerani 1022	
T	$\mu . 10^{-5}$
65	15,46
67,09	
70	16,02

Dari hasil interpolasi diperolehµ<sub>freon</sub> pada Temperatur 67,09°C sebesar

$$15,69 \times 10^{-5} \frac{kg}{m \cdot s}$$

Maka didapat:

$$R_e = \frac{988,1 \frac{kg}{m^3} \times 2,04 \frac{m}{s} \times 0,00553m}{15,69 \times 10^{-5} \frac{kg}{m \cdot s}}$$

$$R_e = \frac{11,146}{15.69 \times 10^{-5}} = 710388,782 > 2300$$
 Turbulen

Untuk mencari bilangan nusselt  $(N_u)$  digunakan rumus sebagai berikut:

$$N_u = 0.023 \cdot \text{Re}^{4/5} \cdot \text{Pr}^{0.4} \cdot \left(\frac{d_i}{D}\right)^{0.1}$$

Dimana: D = diameter apk = 0.15

Pr = bilangan prandalt

Terlebih dahulu mencari bilangan prandalt, dengan rumus:

$$\Pr = \frac{C_{freon} \cdot \mu}{K_{freon}}$$

Dimana:  $K_{freon}$  = konduktivitas termal freon

Didapat dari tabel:

Tabel 4.10 propertis refrigerant R22

	•
T	K
65	17,61
67,09 70	
70	19,16

Dari hasil interpolasi diperolehK<sub>freon</sub> pada Temperatur 67,09°C sebesar

$$18,26 \frac{w}{m} \cdot {}^{\circ}C$$

Maka didapat:

$$Pr = \frac{1482 \frac{j}{kg} \cdot {}^{\circ}C \cdot 15,69 \times 10^{-5} \frac{kg}{m \cdot s}}{18,26 \frac{w}{m} \cdot {}^{\circ}C}$$

$$Pr = \frac{0,232}{18.26} = 0,012$$

Dan didapat bilangan nusselt

$$N_u = 0.023 \times 710388,782^{4/5} \times 0.012^{0.4} \times \left(\frac{0.00553m}{0.15m}\right)^{0.1}$$

$$N_u = 0.023 \times 47995,097 \times 0.170 \times 0.718 = 134,740$$

Untuk mencari koefisien perpindahan panas sisi dalam coil ( $h_i$ ) digunakan rumus sebagai berikut:

$$h_i = \frac{N_u \cdot K_{freon}}{d_i}$$

$$h_i = \frac{134,740 \times 18,26 \frac{w}{m} \cdot {}^{\circ}C}{0,00553} = 444910,018 \frac{w}{m^2} \cdot {}^{\circ}C$$

Untuk menghitung resistensi thermal ( $R_{th}$ ) digunakan rumus sebagai berikut:

$$R_{th} = \frac{1}{A_i \cdot h_i} + \frac{1}{A_o \cdot h_o} + \frac{\ln \left(\frac{d_i}{D}\right)}{2 \cdot \pi \cdot K \cdot L}$$

Dimana:  $K = \text{konduktivitas thermal tembaga} = 385 \text{ W/}_{m \cdot {}^{\circ}C}$ 

$$R_{th} = \frac{1}{\pi \cdot 0,00553m \cdot 16m \cdot 444910,018 \frac{w}{m} \cdot {}^{\circ}C} + \frac{1}{\pi \cdot 0,00635m \cdot 16m \cdot 218,060 \frac{w}{m} \cdot {}^{\circ}C} + \frac{1}{\pi \cdot 0,00635m \cdot 16m \cdot 218,060 \frac{w}{m} \cdot {}^{\circ}C} + \frac{1}{\pi \cdot 0,00635m \cdot 16m \cdot 218,060 \frac{w}{m} \cdot {}^{\circ}C} + \frac{1}{\pi \cdot 0,00635m \cdot 16m \cdot 218,060 \frac{w}{m} \cdot {}^{\circ}C} + \frac{1}{\pi \cdot 0,00635m \cdot 16m \cdot 218,060 \frac{w}{m} \cdot {}^{\circ}C} + \frac{1}{\pi \cdot 0,00635m \cdot 16m \cdot 218,060 \frac{w}{m} \cdot {}^{\circ}C} + \frac{1}{\pi \cdot 0,00635m \cdot 16m \cdot 218,060 \frac{w}{m} \cdot {}^{\circ}C} + \frac{1}{\pi \cdot 0,00635m \cdot 16m \cdot 218,060 \frac{w}{m} \cdot {}^{\circ}C} + \frac{1}{\pi \cdot 0,00635m \cdot 16m \cdot 218,060 \frac{w}{m} \cdot {}^{\circ}C} + \frac{1}{\pi \cdot 0,00635m \cdot 16m \cdot 218,060 \frac{w}{m} \cdot {}^{\circ}C} + \frac{1}{\pi \cdot 0,00635m \cdot 16m \cdot 218,060 \frac{w}{m} \cdot {}^{\circ}C} + \frac{1}{\pi \cdot 0,00635m \cdot 16m \cdot 218,060 \frac{w}{m} \cdot {}^{\circ}C} + \frac{1}{\pi \cdot 0,00635m \cdot 16m \cdot 218,060 \frac{w}{m} \cdot {}^{\circ}C} + \frac{1}{\pi \cdot 0,00635m \cdot 16m \cdot 218,060 \frac{w}{m} \cdot {}^{\circ}C} + \frac{1}{\pi \cdot 0,00635m \cdot 16m \cdot 218,060 \frac{w}{m} \cdot {}^{\circ}C} + \frac{1}{\pi \cdot 0,00635m \cdot 16m \cdot 218,060 \frac{w}{m} \cdot {}^{\circ}C} + \frac{1}{\pi \cdot 0,00635m \cdot 16m \cdot 218,060 \frac{w}{m} \cdot {}^{\circ}C} + \frac{1}{\pi \cdot 0,00635m \cdot 16m \cdot 218,060 \frac{w}{m} \cdot {}^{\circ}C} + \frac{1}{\pi \cdot 0,00635m \cdot 16m \cdot 218,060 \frac{w}{m} \cdot {}^{\circ}C} + \frac{1}{\pi \cdot 0,00635m \cdot 16m \cdot 218,060 \frac{w}{m} \cdot {}^{\circ}C} + \frac{1}{\pi \cdot 0,00635m \cdot 16m \cdot 218,060 \frac{w}{m} \cdot {}^{\circ}C} + \frac{1}{\pi \cdot 0,00635m \cdot 16m \cdot 218,060 \frac{w}{m} \cdot {}^{\circ}C} + \frac{1}{\pi \cdot 0,00635m \cdot 16m \cdot 218,060 \frac{w}{m} \cdot {}^{\circ}C} + \frac{1}{\pi \cdot 0,00635m \cdot 16m \cdot 218,060 \frac{w}{m} \cdot {}^{\circ}C} + \frac{1}{\pi \cdot 0,00635m \cdot 16m \cdot 218,060 \frac{w}{m} \cdot {}^{\circ}C} + \frac{1}{\pi \cdot 0,00635m \cdot 16m \cdot 218,060 \frac{w}{m} \cdot {}^{\circ}C} + \frac{1}{\pi \cdot 0,00635m \cdot 16m \cdot 218,060 \frac{w}{m} \cdot {}^{\circ}C} + \frac{1}{\pi \cdot 0,00635m \cdot 16m \cdot 218,060 \frac{w}{m} \cdot {}^{\circ}C} + \frac{1}{\pi \cdot 0,00635m \cdot 16m \cdot 218,060 \frac{w}{m} \cdot {}^{\circ}C} + \frac{1}{\pi \cdot 0,00635m \cdot 16m \cdot 218,060 \frac{w}{m} \cdot {}^{\circ}C} + \frac{1}{\pi \cdot 0,00635m \cdot 16m \cdot 218,060 \frac{w}{m} \cdot {}^{\circ}C} + \frac{1}{\pi \cdot 0,00635m \cdot 16m \cdot 218,060 \frac{w}{m} \cdot {}^{\circ}C} + \frac{1}{\pi \cdot 0,00635m \cdot 16m \cdot 218,060 \frac{w}{m} \cdot {}^{\circ}C} + \frac{1}{\pi \cdot 0,00635m \cdot 16m \cdot 218,060 \frac{w}{m} \cdot {}^{\circ}C} + \frac{1}{\pi \cdot 0,00635m \cdot 16m \cdot 218,060 \frac{w}{m} \cdot {}^{\circ}C} + \frac{1}{\pi \cdot 0,00635m \cdot 16m \cdot 218,060 \frac{w}{m} \cdot {}^{\circ}C}$$

$$\frac{\ln\left(\frac{0,00553m}{0,15}\right)}{2 \cdot \pi \cdot 385 \frac{w}{m} \cdot {}^{\circ}C \cdot 16m}$$

$$R_{th} = \frac{1}{123608,104} + \frac{1}{69,566} + \frac{-3,3}{38684,8} = 0,014 \, ^{\circ}C/_{W}$$

Untuk menghitung koefisien perpindahan panas menyeluruh (U) digunakan rumus sebagai berikut:

$$U = \frac{1}{\frac{1}{h_i} + \frac{1}{h_o}}$$

$$U = \frac{1}{\frac{1}{444910,018 \frac{w}{m^2} \cdot °C}} + \frac{1}{218,060 \frac{w}{m^2} \cdot °C}$$

$$U = \frac{1}{(2.24 \times 10^{-6}) + (0.00458)} = 218,233 \frac{w}{m^2} \cdot °C$$

Jadi laju perpindahan panas dari helical coil bersirip ke air (Q) digunakan rumus sebagai berikut:

$$Q = U \cdot A_o \cdot \Delta T_{air}$$

$$Q = 218,233 \frac{w}{m^2} \cdot {^{\circ}C} \cdot \pi \cdot 0,00635m \cdot 16m \cdot 24,88 {^{\circ}C}$$

$$Q = 1732,184w$$

Laju perpindahan panas dari sirip ke air (Q) digunakan rumus sebagai berikut :

$$L_{c} = L + \frac{t}{2}$$

$$= 0.04m + \frac{0.0004m}{2}$$

$$= 0.0402m$$

$$m = \sqrt{\frac{2 \cdot h_{o}}{K \cdot t}} = \left[ \frac{2 \cdot 218,060}{385(0.4 \times 10^{-3})} \right]^{\frac{1}{2}} = \left[ \frac{436,12}{0.154} \right]^{\frac{1}{2}} = 53,21$$

$$Q = m \cdot K \cdot A \cdot \theta_{0} \cdot \tanh(m \cdot L_{c})$$

$$Q = 53,21 \times 385 \times (0.24 \times 10^{-3}) \times 23,4 \times \tanh(53,21 \times 0.0402)$$

$$Q = 53,21 \times 385 \times 0.00024 \times 23,4 \times 0.97$$

$$Q = 111,60 \frac{w}{m}$$

Efisiensi Sirip

$$\eta_f = \frac{Q}{h_o \cdot P \cdot L \cdot \theta_0} = \frac{Q}{h_o \cdot 2 \cdot L \cdot \theta_0} = \frac{111,60}{218,060 \times 2 \times 0,04 \times 23,4}$$
$$= \frac{111,60}{408,21} = 0,27$$

$$\eta_{ftotal} = \eta_f \times N \times 100\% = 0,27 \times 64 \times 100\% = 17,2\%$$

## 2. Perhitungan pada temperatur Evaporator AC 18°C

Pada saat proses pungujian diketahui data sebagai berikut:

Dik: Volume air 
$$(v)$$
 = 60 liter = 60 kg

Diameter dalam pipa  $(d_i)$  = 5,53mm = 0,00553 m

Diameter luar pipa  $(d_o)$  = 6,35mm = 0,00635 m

Panjang pipa  $(L)$  = 16 m

Temperatur awal air  $(T_{ai})$  = 29,94°C

Temperatur akhir air  $(T_{ao})$  = 55 °C

 $\Delta T_{air}$  = 25,06°C

Temperatur masuk tangki  $(T_{ci})$  = 90,73°C

Temperatur keluar tangki  $(T_{co})$  = 43,55°C

 $\Delta T_{coil}$  = 47,18°C

Waktu pemanasan  $(\Delta t)$  = 1 jam = 3600 detik

Daya kompresor  $(\dot{W_c})$  = 880  $W$  = 0,88 $K_W$ 

Panjang Sirip  $(L)$  = 4 cm = 0,04 $m$ 
 $\Delta T_{coil}$  -  $\Delta T_{air}$   $(\theta_0)$  = 23,4°C

Kedalaman Sirip  $(A)$  = 60 cm = 0,06 m

=  $(0,06) \times (0,04 \times 10^{-3})$ 

= 0,24×10<sup>-3</sup>

Jumlah Sirip  $(N)$  = 64

Untuk menghitung energi (W) digunakan rumus sebagai berikut:

$$W = m_{air} \times C_{air} \times \Delta T_{air}$$

Dimana:  $C_{air}$  = panas jenis air

$$T_{ra} = \frac{T_{ai} + T_{ao}}{2} = \frac{29,94 + 55}{2} = 42,47 \text{ °C}$$

didapat dari tabel

Tabel 4.4 propertis air

Tuber 1.1 propertis un	
T	$C_{air}$
37,78	4,174
42,47	
43,33	4,174

Interpolasi:

$$C_{air} = 4,174 + \frac{\left(4,174 - 4174\right)}{\left(43,33 - 37,78\right)} \cdot \left(42,47 - 37,78\right)$$

$$C_{air} = 4,174 + (0) \cdot (4,69)$$

$$C_{air} = 4,174 \frac{kj}{kg} \cdot {}^{\circ}C = 4174 \frac{j}{kg} \cdot {}^{\circ}C$$

Maka didapat:

$$W = 60kg \times 4174 \frac{j}{kg} \cdot {}_{\circ}C \times 25,06 \, {}_{\circ}C$$

$$W = 6276026, 4J = 6,27MJ$$

Untuk menghitung koefisien perpindahan panas pada sisi luar coil (h<sub>o</sub>) digunakan rumus sebagai berikut:

$$h_o = \frac{W}{A_o \cdot \Delta T_{air} \cdot \Delta T} = \frac{W}{\pi \cdot d_o \cdot L \cdot \Delta T \cdot \Delta t}$$

$$h_o = \frac{6276026,4J}{\pi \times 0.00635m \times 16m \times 25,06^{\circ}C \times 3600s}$$

$$h_o = \frac{6276026,4}{28781,069} = 218,060 \frac{\text{W}}{\text{m}^2 \circ \text{C}}$$

Untuk menghitung kapasitas penukar pakar  $(Q_{coil})$  digunakan rumus berikut:

$$Q_{coil} = m \cdot C_f \cdot (\Delta T_{coil})$$

Dimana:  $C_f$  = panas jenis freon

m =laju aliran massa freon

Terlebih dahulu mencari laju aliran massa dengan rumus sebagai berikut:

$$\dot{m} = \frac{W_c}{H_o - H_i}$$

Dimana :  $H_o = \text{Entalpy keluar tangki}$ 

 $H_i$  = Entalpy masuk tangki

$$T_{co} = 43,55^{\circ}C$$

Didapat dari tabel:

Tabel 4.5 propertis refrigerant R22

$H_o$	
417,27	
417,44	

Dari hasil interpolasi diperoleh  $\,H_{o}\,$  pada temperatur 43,55°C sebesar

$$417,02 \frac{kj}{kg}$$

$$T_{ci} = 90,73^{\circ}C$$

Didapat dari tabel:

Tabel 4.6 propertis refrigerant R22

Tuber no properties regregation real	
T	$H_i$
90	401,87
90,73	
95	387,28

Dari hasil interpolasi diperoleh  $H_i$  pada temperatur 90,73°C sebesar

$$399,74 \frac{kj}{kg}$$

Maka didapat:

$$m = \frac{0,88}{417,02 - 399,74}$$

$$\dot{m} = 0.050 \frac{kg}{s}$$

$$T_{rc} = \frac{T_{ci} + T_{co}}{2} = \frac{90,73 + 43,55}{2} = 67,14^{\circ}C$$

didapat dari tabel:

Tabel 4.7 propertis refrigerant R22

T	$C_{freon}$
65	1,413
67,14	
70	1,584

Dari hasil interpolasi diperoleh  $C_{\it freon}$  pada Temperatur 67,14°C sebesar

$$1,486 \frac{kj}{kg \cdot k} = 1486 \frac{j}{kg \cdot {}^{\circ}C}$$

Maka didapat:

$$Q_{coil} = 0.050 \frac{kg}{s} \times 1486 \frac{j}{kg} \cdot {}^{\circ}C \times 47,18 {}^{\circ}C$$

$$Q_{coil} = 3505,47W$$

Untuk menghitung laju refrigerant (v) digunakan rumus sebagai berikut:

$$v = \frac{m}{\rho(0.25 \cdot \pi \cdot d_i^2)}$$

Dimana:  $\rho$  = rapat massa (*density*) freon

Didapat dari tabel:

Tabel 4.8 propertis refrigerant R22

T	ρ
65	1001,4
67,14 70	
70	967,7

Dari hasil interpolasi diperoleh  $\rho_{{\scriptscriptstyle freon}}$  pada Temperatur 67,14°C sebesar

$$987,8 \frac{kg}{m^3}$$

Maka didapat:

$$v = \frac{0,050 \frac{kg}{s}}{987,8 \frac{kg}{m^3} \left(0,25 \times \pi \times 0,00553^2 m\right)}$$

$$v = \frac{0,050}{0.023} = 2,17 \, \text{m/s}$$

Untuk menghitung bilangan reynold  $\left(R_{_{e}}\right)$  digunakan rumus sebagai berikut:

$$R_e = \frac{\rho \cdot v \cdot d_i}{\mu}$$

Dimana:  $\mu$  = viskositas freon

Didapat dari tabel:

Tabel 4.9 propertis refrigerant R22	
T	$\mu . 10^{-5}$
65	15,46
67,14	
70	16,02

Dari hasil interpolasi diperolehµ<sub>freon</sub> pada Temperatur 67,14°C sebesar

$$15,70 \times 10^{-5} \frac{kg}{m \cdot s}$$

Maka didapat:

$$R_e = \frac{987.8 \frac{kg}{m^3} \times 2.17 \frac{m}{s} \times 0.00553m}{15.70 \times 10^{-5} \frac{kg}{m \cdot s}}$$

$$R_e = \frac{11,853}{15,70 \times 10^{-5}} = 754968,152 > 2300$$
 Turbulen

Untuk mencari bilangan nusselt  $(N_u)$  digunakan rumus sebagai berikut:

$$N_u = 0.023 \cdot \text{Re}^{4/5} \cdot \text{Pr}^{0.4} \cdot \left(\frac{d_i}{D}\right)^{0.1}$$

D = diameter apk = 0.15Dimana:

Pr = bilangan prandalt

Terlebih dahulu mencari bilangan prandalt, dengan rumus:

$$\Pr = \frac{C_{freon} \cdot \mu}{K_{freon}}$$

Dimana:  $K_{freon}$  = konduktivitas termal freon

Didapat dari tabel:

Tabel 4.10 propertis refrigerant R22

Tuest itts propertie rejinger eitt 122			
T	K		
65	17,61		
67,14			
70	19,16		

Dari hasil interpolasi diperolehK<sub>freon</sub> pada Temperatur 67,14°C sebesar

$$18,27 \frac{w}{m} \cdot {}^{\circ}C$$

Maka didapat:

$$Pr = \frac{1486 \frac{j}{kg} \cdot {}^{\circ}C \cdot 15,70 \times 10^{-5} \frac{kg}{m \cdot s}}{18,27 \frac{w}{m} \cdot {}^{\circ}C}$$

$$Pr = \frac{0,239}{18.27} = 0,012$$

Dan didapat bilangan nusselt

$$N_u = 0.023 \times 754968,152^{4/5} \times 0.012^{0.4} \times \left(\frac{0.00553m}{0.15m}\right)^{0.1}$$

$$N_u = 0.023 \times 50389,831 \times 0.170 \times 0.718 = 307,529$$

Untuk mencari koefisien perpindahan panas sisi dalam coil  $(h_i)$  digunakan rumus sebagai berikut:

$$h_i = \frac{N_u \cdot K_{freon}}{d_i}$$

$$h_i = \frac{307,529 \times 18,27 \frac{w}{m} \cdot {}^{\circ}C}{0,00553} = 1016013,531 \frac{w}{m^2} \cdot {}^{\circ}C$$

Untuk menghitung resistensi thermal ( $R_{th}$ ) digunakan rumus sebagai berikut:

$$R_{th} = \frac{1}{A_i \cdot h_i} + \frac{1}{A_o \cdot h_o} + \frac{\ln \binom{d_i}{D}}{2 \cdot \pi \cdot K \cdot L}$$

Dimana:  $K = \text{konduktivitas thermal tembaga} = 385 \frac{w}{m} \cdot {}^{\circ}C$ 

$$R_{th} = \frac{1}{\pi \cdot 0,00553m \cdot 16m \cdot 1016013,531 \frac{w}{m} \cdot {}^{\circ}C} + \frac{1}{\pi \cdot 0,00635m \cdot 16m \cdot 218,060 \frac{w}{m} \cdot {}^{\circ}C} + \ln \left( \frac{0,00553m}{0.15} \right)$$

$$\frac{\ln\left(0.00553m/0.15\right)}{2 \cdot \pi \cdot 385 \frac{w}{m} \cdot {}^{\circ}C \cdot 16m}$$

$$R_{th} = \frac{1}{282276,194} + \frac{1}{69,566} + \frac{-3,3}{38684,8} = 0,014 \, {}^{\circ}C/_{W}$$

Untuk menghitung koefisien perpindahan panas menyeluruh (U) digunakan rumus sebagai berikut:

$$U = \frac{1}{\frac{1}{h_i} + \frac{1}{h_o}}$$

$$U = \frac{1}{\frac{1}{1016013,531} \frac{w}{m^2 \cdot °C}} + \frac{1}{218,060} \frac{1}{m^2 \cdot °C}$$

$$U = \frac{1}{(9.84 \times 10^{-7}) + (0.00458)} = 218,243 \frac{w}{m^2 \cdot °C}$$

Jadi laju perpindahan panas dari helical coil bersirip ke air (Q) digunakan rumus sebagai berikut:

$$Q = U \cdot A_o \cdot \Delta T_{air}$$

$$Q = 218,293 \frac{w}{m^2} \cdot {^{\circ}C} \cdot \pi \cdot 0,00635m \cdot 16m \cdot 25,06 {^{\circ}C}$$

$$Q = 1732,146w$$

Laju perpindahan panas dari sirip ke air (Q) digunakan rumus sebagai berikut :

$$L_{c} = L + \frac{t}{2}$$

$$= 0.04m + \frac{0.0004m}{2}$$

$$= 0.0402m$$

$$m = \sqrt{\frac{2 \cdot h_{o}}{K \cdot t}} = \left[\frac{2 \cdot 218,060}{385(0.4 \times 10^{-3})}\right]^{\frac{1}{2}} = \left[\frac{436,12}{0.154}\right]^{\frac{1}{2}} = 53,21$$

$$Q = m \cdot K \cdot A \cdot \theta_{0} \cdot \tanh(m \cdot L_{c})$$

$$Q = 53,21 \times 385 \times (0.24 \times 10^{-3}) \times 22,49 \times \tanh(53,21 \times 0.0402)$$

$$Q = 53,21 \times 385 \times 0.00024 \times 22,49 \times 0.97$$

$$Q = 107,26 \frac{w}{m}$$

Efisiensi Sirip

$$\eta_f = \frac{Q}{h_o \cdot P \cdot L \cdot \theta_0} = \frac{Q}{h_o \cdot 2 \cdot L \cdot \theta_0} = \frac{107,26}{218,060 \times 2 \times 0,04 \times 22,49}$$
$$= \frac{107,26}{392,33} = 0,27$$

$$\eta_{ftotal} = \eta_f \times N \times 100\% = 0,27 \times 64 \times 100\% = 17,2\%$$

## 3. Perhitungan pada temperatur Evaporator AC 20°C

Pada saat proses pungujian diketahui data sebagai berikut:

Dik: Volume air 
$$(v)$$
 = 60 liter = 60 kg

Diameter dalam pipa  $(d_i)$  = 5,53mm = 0,00553 m

Diameter luar pipa 
$$(d_o)$$
 = 6,35 $mm$  = 0,00635  $m$ 

Panjang pipa (L) = 
$$16 m$$
  
Temperatur awal air ( $T_{ai}$ ) =  $28,75^{\circ}C$ 

Temperatur akhir air 
$$(T_{ao})$$
 = 52,75°C  
 $\Delta T_{air}$  = 24 °C  
Temperatur masuk tangki  $(T_{ci})$  = 92,45°C  
Temperatur keluar tangki  $(T_{co})$  = 44,63°C  
 $\Delta T_{coil}$  = 47,82°C

Waktu pemanasan (
$$\Delta t$$
) = 1 jam = 3600 detik

Daya kompresor(
$$\dot{W_c}$$
) = 880  $W = 0.88Kw$ 

Panjang Sirip (
$$L$$
) = 4  $cm$ = 0,04 $m$ 

Tebal Sirip (t) 
$$= 0.4mm = 0.0004 m$$

$$\Delta T_{\text{coil}} - \Delta T_{\text{air}} \left( \theta_0 \right) = 23.4^{\circ} C$$

Kedalaman Sirip (
$$A$$
) = 60 cm = 0,06 m

$$=(0.06)\times(0.04\times10^{-3})$$

$$=0.24\times10^{-3}$$

Jumlah Sirip (
$$N$$
) = 64

Untuk menghitung energi (W) digunakan rumus sebagai berikut:

$$W = m_{air} \times C_{air} \times \Delta T_{air}$$

Dimana:  $C_{air}$  = panas jenis air

$$T_{ra} = \frac{T_{ai} + T_{ao}}{2} = \frac{28,75 + 52,75}{2} = 40,75 \,^{\circ}\text{C}$$

didapat dari tabel

Tabel 4.4 propertis air

Tuber 1.1 propertis un	
T	$C_{air}$
37,78	4,174
40,75	
43,33	4,174

Interpolasi:

$$C_{air} = 4,174 + \frac{(4,174 - 4174)}{(43,33 - 37,78)} \cdot (40,75 - 37,78)$$

$$C_{air} = 4,174 + (0) \cdot (2,97)$$

$$C_{air} = 4,174 \frac{kj}{kg} \cdot {}^{\circ}C = 4174 \frac{j}{kg} \cdot {}^{\circ}C$$

Maka didapat:

$$W = 60kg \times 4174 \frac{j}{kg} \cdot {^{\circ}C} \times 24{^{\circ}C}$$

$$W = 6010560J = 6,01MJ$$

Untuk menghitung koefisien perpindahan panas pada sisi luar coil (h<sub>o</sub>) digunakan rumus sebagai berikut:

$$h_o = \frac{W}{A_o \cdot \Delta T_{air} \cdot \Delta T} = \frac{W}{\pi \cdot d_o \cdot L \cdot \Delta T \cdot \Delta t}$$

$$h_o = \frac{6010560J}{\pi \times 0,00635m \times 16m \times 24^{\circ}C \times 3600s}$$

$$h_o = \frac{6010560}{27563,673} = 218,060 \frac{\text{W}}{\text{m}^2} \circ C$$

Untuk menghitung kapasitas penukar pakar  $(Q_{coil})$  digunakan rumus berikut:

$$Q_{coil} = m \cdot C_f \cdot (\Delta T_{coil})$$

Dimana:  $C_f$  = panas jenis freon

m =laju aliran massa freon

Terlebih dahulu mencari laju aliran massa dengan rumus sebagai berikut:

$$\dot{m} = \frac{W_c}{H_o - H_i}$$

Dimana :  $H_o = \text{Entalpy keluar tangki}$ 

 $H_i$  = Entalpy masuk tangki

$$T_{co} = 44,63^{\circ}C$$

Didapat dari tabel:

Tabel 4.5 propertis refrigerant R22

Tuber no properties regregariting real			
T	$H_o$		
48	417,27		
44,63			
50	417,44		

Dari hasil interpolasi diperoleh  $\,H_{o}\,$  pada temperatur 44,63°C sebesar

$$416,91 \frac{kj}{kg}$$

$$T_{ci} = 92,45^{\circ}C$$

Didapat dari tabel:

Tabel 4.6 propertis refrigerant R22

racer no properties regregation rezz		
T	$H_i$	
90	401,87	
92,45		
95	387,28	

Dari hasil interpolasi diperoleh  $H_i$  pada temperatur 92,45°C sebesar

$$394,72 \frac{kj}{kg}$$

Maka didapat:

$$m = \frac{0,88}{416,91 - 394,72}$$

$$m = 0.04 \frac{kg}{s}$$

$$T_{rc} = \frac{T_{ci} + T_{co}}{2} = \frac{92,45 + 44,63}{2} = 68,54$$
°C

didapat dari tabel:

Tabel 4.7 propertis refrigerant R22

T	$C_{freon}$		
65	1,413		
68,54			
70	1,584		

Dari hasil interpolasi diperoleh  $C_{\it freon}$  pada Temperatur 68,54°C sebesar

$$1,534 \frac{kj}{kg \cdot k} = 1534 \frac{j}{kg} \cdot {}^{\circ}C$$

Maka didapat:

$$Q_{coil} = 0.04 \frac{kg}{s} \times 1534 \frac{j}{kg} \cdot {}^{\circ}C \times 47.82 {}^{\circ}C$$

$$Q_{coil}=2934,235W$$

Untuk menghitung laju refrigerant (v) digunakan rumus sebagai berikut:

$$v = \frac{m}{\rho(0.25 \cdot \pi \cdot d_i^2)}$$

Dimana:  $\rho$  = rapat massa (*density*) freon

Didapat dari tabel:

Tabel 4.8 propertis refrigerant R22

$\rho$
1001,4
967,7

Dari hasil interpolasi diperoleh  $\rho_{{\scriptscriptstyle freon}}$  pada Temperatur 68,54 °C sebesar

$$979 \frac{kg}{m^3}$$

Maka didapat:

$$v = \frac{0.04 \frac{kg}{s}}{979 \frac{kg}{m^3} \left(0.25 \times \pi \times 0.00553^2 m\right)}$$

$$v = \frac{0.04}{0.023} = 1.74 \, \text{m/s}$$

Untuk menghitung bilangan reynold  $(R_e)$  digunakan rumus sebagai berikut:

$$R_e = \frac{\rho \cdot v \cdot d_i}{\mu}$$

Dimana:  $\mu$  = viskositas freon

Didapat dari tabel:

Tabel 4.9 propertis refrigerant R22

Tueer is properties registration real	
T	$\mu . 10^{-5}$
65	15,46
68,54	
70	16,02

Dari hasil interpolasi diperolehµ<sub>freon</sub> pada Temperatur 68,54 °C sebesar

$$15,86 \times 10^{-5} \frac{kg}{m \cdot s}$$

Maka didapat:

$$R_e = \frac{979 \frac{kg}{m^3} \times 1.74 \frac{m}{s} \times 0,00553m}{15,86 \times 10^{-5} \frac{kg}{m \cdot s}}$$

$$R_e = \frac{9,420}{15,86 \times 10^{-5}} = 593947,036 > 2300$$
 Turbulen

Untuk mencari bilangan nusselt  $(N_u)$  digunakan rumus sebagai berikut:

$$N_u = 0.023 \cdot \text{Re}^{4/5} \cdot \text{Pr}^{0.4} \cdot \left(\frac{d_i}{D}\right)^{0.1}$$

Dimana: D = diameter apk = 0.15

Pr = bilangan prandalt

Terlebih dahulu mencari bilangan prandalt, dengan rumus:

$$\Pr = \frac{C_{freon} \cdot \mu}{K_{freon}}$$

Dimana:  $K_{freon}$  = konduktivitas termal freon

Didapat dari tabel:

Tabel 4.10 propertis refrigerant R22

14361 1110 propertis / 6j. 1861 4111 1122		
T	K	
65	17,61	
68,54		
70	19,16	

Dari hasil interpolasi diperolehK<sub>freon</sub> pada Temperatur 68,54°C sebesar

$$18,71 \frac{w}{m} \cdot {}^{\circ}C$$

Maka didapat:

$$\Pr = \frac{1534 \frac{j}{kg} \cdot {}^{\circ}C \cdot 15,86 \times 10^{-5} \frac{kg}{m \cdot s}}{18,71 \frac{w}{m} \cdot {}^{\circ}C}$$

$$Pr = \frac{0.243}{18.71} = 0.014$$

Dan didapat bilangan nusselt

$$N_u = 0.023 \times 593947,036^{4/5} \times 0.014^{0.4} \times \left(\frac{0.00553m}{0.15m}\right)^{0.1}$$

$$N_u = 0.023 \times 41590,886 \times 0.181 \times 0.718 = 124,316$$

Untuk mencari koefisien perpindahan panas sisi dalam coil ( $h_i$ ) digunakan rumus sebagai berikut:

$$h_i = \frac{N_u \cdot K_{freon}}{d_i}$$

$$h_i = \frac{124,316 \times 18,71 \frac{w}{m} \cdot {}^{\circ}C}{0,00553} = 420606,213 \frac{w}{m^2} \cdot {}^{\circ}C$$

Untuk menghitung resistensi thermal ( $R_{th}$ ) digunakan rumus sebagai berikut:

$$R_{th} = \frac{1}{A_i \cdot h_i} + \frac{1}{A_o \cdot h_o} + \frac{\ln \left(\frac{d_i}{D}\right)}{2 \cdot \pi \cdot K \cdot L}$$

Dimana:  $K = \text{konduktivitas thermal tembaga} = 385 \frac{w}{m} \cdot {}^{\circ}C$ 

$$R_{th} = \frac{1}{\pi \cdot 0,00553m \cdot 16m \cdot 420606,213 \frac{w}{m} \cdot {}^{\circ}C} + \frac{1}{\pi \cdot 0,00635m \cdot 16m \cdot 218,060 \frac{w}{m} \cdot {}^{\circ}C} + \frac{1}{\pi \cdot 0,00635m \cdot 16m \cdot 218,060 \frac{w}{m} \cdot {}^{\circ}C} + \frac{1}{\pi \cdot 0,00635m \cdot 16m \cdot 218,060 \frac{w}{m} \cdot {}^{\circ}C} + \frac{1}{\pi \cdot 0,00635m \cdot 16m \cdot 218,060 \frac{w}{m} \cdot {}^{\circ}C} + \frac{1}{\pi \cdot 0,00635m \cdot 16m \cdot 218,060 \frac{w}{m} \cdot {}^{\circ}C} + \frac{1}{\pi \cdot 0,00635m \cdot 16m \cdot 218,060 \frac{w}{m} \cdot {}^{\circ}C} + \frac{1}{\pi \cdot 0,00635m \cdot 16m \cdot 218,060 \frac{w}{m} \cdot {}^{\circ}C} + \frac{1}{\pi \cdot 0,00635m \cdot 16m \cdot 218,060 \frac{w}{m} \cdot {}^{\circ}C} + \frac{1}{\pi \cdot 0,00635m \cdot 16m \cdot 218,060 \frac{w}{m} \cdot {}^{\circ}C} + \frac{1}{\pi \cdot 0,00635m \cdot 16m \cdot 218,060 \frac{w}{m} \cdot {}^{\circ}C} + \frac{1}{\pi \cdot 0,00635m \cdot 16m \cdot 218,060 \frac{w}{m} \cdot {}^{\circ}C} + \frac{1}{\pi \cdot 0,00635m \cdot 16m \cdot 218,060 \frac{w}{m} \cdot {}^{\circ}C} + \frac{1}{\pi \cdot 0,00635m \cdot 16m \cdot 218,060 \frac{w}{m} \cdot {}^{\circ}C} + \frac{1}{\pi \cdot 0,00635m \cdot 16m \cdot 218,060 \frac{w}{m} \cdot {}^{\circ}C} + \frac{1}{\pi \cdot 0,00635m \cdot 16m \cdot 218,060 \frac{w}{m} \cdot {}^{\circ}C} + \frac{1}{\pi \cdot 0,00635m \cdot 16m \cdot 218,060 \frac{w}{m} \cdot {}^{\circ}C} + \frac{1}{\pi \cdot 0,00635m \cdot 16m \cdot 218,060 \frac{w}{m} \cdot {}^{\circ}C} + \frac{1}{\pi \cdot 0,00635m \cdot 16m \cdot 218,060 \frac{w}{m} \cdot {}^{\circ}C} + \frac{1}{\pi \cdot 0,00635m \cdot 16m \cdot 218,060 \frac{w}{m} \cdot {}^{\circ}C} + \frac{1}{\pi \cdot 0,00635m \cdot 16m \cdot 218,060 \frac{w}{m} \cdot {}^{\circ}C} + \frac{1}{\pi \cdot 0,00635m \cdot 16m \cdot 218,060 \frac{w}{m} \cdot {}^{\circ}C} + \frac{1}{\pi \cdot 0,00635m \cdot 16m \cdot 218,060 \frac{w}{m} \cdot {}^{\circ}C} + \frac{1}{\pi \cdot 0,00635m \cdot 16m \cdot 218,060 \frac{w}{m} \cdot {}^{\circ}C} + \frac{1}{\pi \cdot 0,00635m \cdot 16m \cdot 218,060 \frac{w}{m} \cdot {}^{\circ}C} + \frac{1}{\pi \cdot 0,00635m \cdot 16m \cdot 218,060 \frac{w}{m} \cdot {}^{\circ}C} + \frac{1}{\pi \cdot 0,00635m \cdot 16m \cdot 218,060 \frac{w}{m} \cdot {}^{\circ}C} + \frac{1}{\pi \cdot 0,00635m \cdot 16m \cdot 218,060 \frac{w}{m} \cdot {}^{\circ}C} + \frac{1}{\pi \cdot 0,00635m \cdot 16m \cdot 218,060 \frac{w}{m} \cdot {}^{\circ}C} + \frac{1}{\pi \cdot 0,00635m \cdot 16m \cdot 218,060 \frac{w}{m} \cdot {}^{\circ}C} + \frac{1}{\pi \cdot 0,00635m \cdot 16m \cdot 218,060 \frac{w}{m} \cdot {}^{\circ}C} + \frac{1}{\pi \cdot 0,00635m \cdot 16m \cdot 218,060 \frac{w}{m} \cdot {}^{\circ}C} + \frac{1}{\pi \cdot 0,00635m \cdot 16m \cdot 218,060 \frac{w}{m} \cdot {}^{\circ}C} + \frac{1}{\pi \cdot 0,00635m \cdot 16m \cdot 218,060 \frac{w}{m} \cdot {}^{\circ}C} + \frac{1}{\pi \cdot 0,00635m \cdot 16m \cdot 218,060 \frac{w}{m} \cdot {}^{\circ}C} + \frac{1}{\pi \cdot 0,00635m \cdot 16m \cdot 218,060 \frac{w}{m} \cdot {}^{\circ}C} + \frac{1}{\pi \cdot 0,00635m \cdot 16m \cdot 218,060 \frac{w}{m} \cdot {}^{\circ}C}$$

$$\frac{\ln\left(0.00553m/0.15\right)}{2 \cdot \pi \cdot 385 \frac{w}{m} \cdot {}^{\circ}C \cdot 16m}$$

$$R_{th} = \frac{1}{116855,846} + \frac{1}{69,566} + \frac{-3,3}{38684,8} = 0,014 \, {}^{\circ}C/_{W}$$

Untuk menghitung koefisien perpindahan panas menyeluruh (U) digunakan rumus sebagai berikut:

$$U = \frac{1}{\frac{1}{h_i} + \frac{1}{h_o}}$$

$$U = \frac{1}{\frac{1}{420606,213 \frac{w}{m^2} \cdot °C}} + \frac{1}{218,060 \frac{w}{m^2} \cdot °C}$$

$$U = \frac{1}{(12,37 \times 10^{-6}) + (0.00458)} = 218,277 \frac{w}{m^2} \cdot °C$$

Jadi laju perpindahan panas dari helical coil bersirip ke air (Q) digunakan rumus sebagai berikut:

$$Q = U \cdot A_o \cdot \Delta T_{air}$$

$$Q = 218,227 \frac{w}{m^2} \cdot {^{\circ}C} \cdot \pi \cdot 0,00635m \cdot 16m \cdot 24 {^{\circ}C}$$

$$Q = 1670,871w$$

Laju perpindahan panas dari sirip ke air (Q) digunakan rumus sebagai berikut :

$$\begin{split} L_c &= L + \frac{t}{2} \\ &= 0.04m + \frac{0.0004m}{2} \\ &= 0.0402m \\ m &= \sqrt{\frac{2 \cdot h_o}{K \cdot t}} = \left[ \frac{2 \cdot 218,060}{385(0.4 \times 10^{-3})} \right]^{\frac{1}{2}} = \left[ \frac{436,12}{0.154} \right]^{\frac{1}{2}} = 53,21 \\ Q &= m \cdot K \cdot A \cdot \theta_0 \cdot \tanh\left(m \cdot L_c\right) \\ Q &= 53,21 \times 385 \times \left(0.24 \times 10^{-3}\right) \times 23,82 \times \tanh\left(53,21 \times 0.0402\right) \\ Q &= 53,21 \times 385 \times 0.00024 \times 23,82 \times 0.97 \\ Q &= 113,60 \frac{w}{m} \end{split}$$

Efisiensi Sirip

$$\eta_f = \frac{Q}{h_o \cdot P \cdot L \cdot \theta_0} = \frac{Q}{h_o \cdot 2 \cdot L \cdot \theta_0} = \frac{113,60}{218,060 \times 2 \times 0,04 \times 23,82}$$
$$= \frac{113,60}{415,53} = 0,27$$

$$\eta_{\scriptscriptstyle ftotal} = \eta_{\scriptscriptstyle f} \times N \times 100\% = 0,27 \times 64 \times 100\% = 17,2\%$$

Berdasarkan perhitungan perpindahan panas APK *Shell Helical Coil* bersirip diatas, dapat diketahui bahwa semakin kecil atau dingin suhu AC yang digunakan maka samakin kecil pula koefisien perpindahan panas (U). Berbeda dengan sebaliknya jika semakin besar suhu AC yang digunakan maka semakin kecil juga laju perpindahan panas (Q) yang terjadi. Dapat dilihat pada tabel 4.25

Tabel 4.25 Data Hasil Perhitungan APK Shell Helical Coil Bersirip.

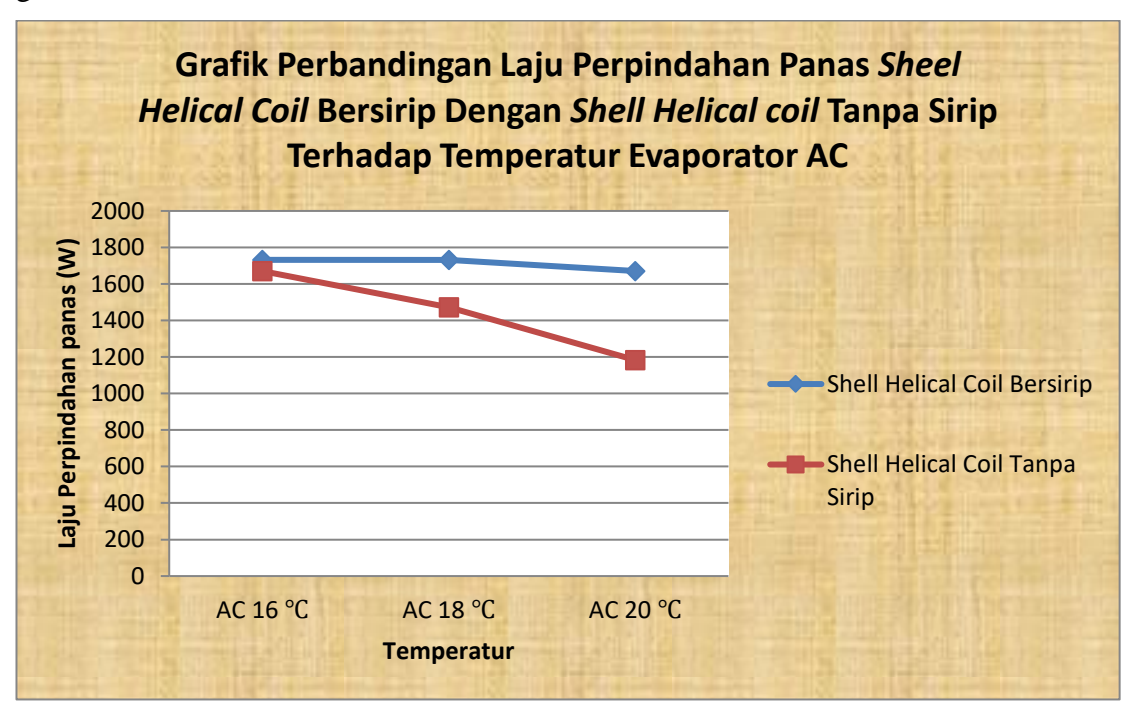
Temperatur	Koefisien Perpindahan Panas (U)	Laju Perpindahan Panas (Q)
Evaporator AC		
16 °C	$218,233 \frac{w}{m^2} \cdot ^{\circ}C$	1732,184W
18 °C	$218,243 \frac{w}{m^2} \cdot {}^{\circ}C$	1732,146W
20 °C	$218,277 \frac{w}{m^2} \cdot {}^{\circ}C$	1670,871W

Berdasarkan perhitungan perpindahan panas APK *Shell Helical Coil* tanpa sirip. Dapat dilihat pada tabel 4.26

Tabel 4.26 Data Hasil Perhitungan APK Shell Helical Coil Tanpa Sirip

Temperatur	Koefisien Perpindahan Panas (U)	Laju Perpindahan Panas (Q)
Evaporator AC		
16°C	$217,07 \frac{w}{m^2} \cdot {}^{\circ}C$	1670,32W
18 °C	$217,72 \frac{w}{m^2} \cdot ^{\circ}C$	1471,81W
20 °C	$217,39 \frac{w}{m^2} \cdot {}^{\circ}C$	1183,15W

Adapun grafik perbandingan laju perpindahan panas *Shell Helical Coil* Bersirip dengan *Shell Helical Coil* Tanpa Sirip terhadap temperatur AC dapat dilihat pada gambar 4.60



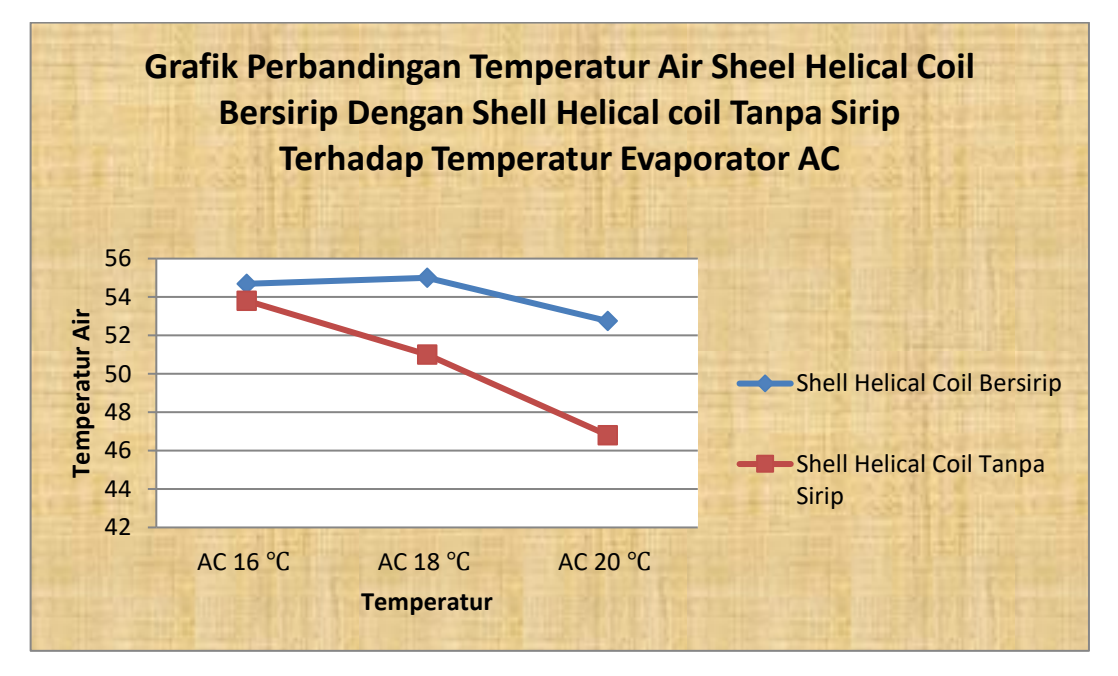
Gambar 4.60 Grafik Perbandingan Laju Perpindahan Panas *Shell Helical Coil* Bersirip Dengan *Shell Helical Coil* Tanpa Sirip terhadap Temperatur AC.

Dari grafik Perbandingan Laju Perpindahan Panas diatas *Helical Coil* Bersirip Dengan *Helical Coil* Tanpa Sirip terhadap Temperatur evaporator AC diatas. Dapat kita simpulkan bahwa nilai temperatur laju perpindahan panas yang dihasilkan pada *Helical coil* Bersirip pada temperature evaporator AC 20°C sebesar 1670,871 W. Sedangkan temperatur laju perpindahan panas yang dihasilkan pada *Helical coil* tanpa sirip pada temperatur evaporator AC 20°C sebesar 1183,15 W. Dimana jarak perbandingannya cukup jauh ,yaitu sebesar 487,721 W. Dengan waktu pengujian selama 60 menit.

Tabel 4.27. Perbandingan Temperatur Air *Shell Helical Coil* Bersirip Dengan *Shell Helical Coil* Tanpa Sirip.

Temaperatur	Temperatur Air Shell Helical	Temperatur Air Shell Helical
Evaporator AC	Coil Bersirip	Coil Tanpa Sirip
16 °C	54,69 °C	53,81 °C
18 °C	55 °C	51 °C
20 °C	52,75 °C	46,81 °C

Adapun grafik perbandingan temperatur air dapat dilihat pada gambar 4.61 dibawah ini



Gambar 4.61 Grafik Perbandingan Temperatur Air *Shell Helical Coil* Bersirip Dengan *Shell Helical Coil* Tanpa Sirip terhadap Temperatur AC.

Dari grafik Perbandingan temperatur air *Helical Coil* Bersirip Dengan *Helical Coil* Tanpa Sirip terhadap Temperatur evaporator AC diatas. Diamana dapa kita simpulkan bahwa nilai temperatur air yang dihasilkan pada *Helical coil* Bersirip pada temperatur evaporator AC 20°C sebesar 52,75°C. Sedangkan temperatur air yang dihasilkan pada *Helical coil* tanpa sirip pada temperature evaporator AC 20°C sebesar 46,81°C. Dimana jarak perbandingannya cukup jauh ,yaitu sebesar 6°C. Dengan waktu pengujian selama 60 menit.

### BAB 5 KESIMPULAN DAN SARAN

#### 5.1 Kesimpulan

Berdasarkan data dan analisa yang didapatkan selama pengujian, dapat diambil beberapa kesimpulan:

- 1. Dilihat dari hasil pengujian, dimana hasil menununjukkan dengan penambahan sirip terhadap Alat Penukar Kalor, menghasilkan laju perpindahan panas lebih besar dibandingkan Alat Penukar Kalor tanpa sirip. Perbedaaan laju perpindahan panas ini dikarenakan luasan penyerapan panas pada alat penukar kalor. Sehingga semakin cepat untuk memanaskan air. Dapat dilihat pada tabel 4.25 dan 4.26.
- 2. Temperatur air yang dihasilkan lebih tinggi dibandingkan dengan Alat penukar Kalor tanpa sirip (*fin*). Perbedaan temperatur air ini dikarenakan laju perpindahan panas yang dihasilkan oleh Alat Penukar Kalor bersirip lebih cepat dibandingkan dengan Alat Penukar kalor tanpa sirip (*fin*). Dapat dilihat pada tabel 4.27.

#### 5.2 Saran

Dari proses pengujian yang telah dilakukan, ditemukan beberapa hambatan. Saran yang dapat diberikan :

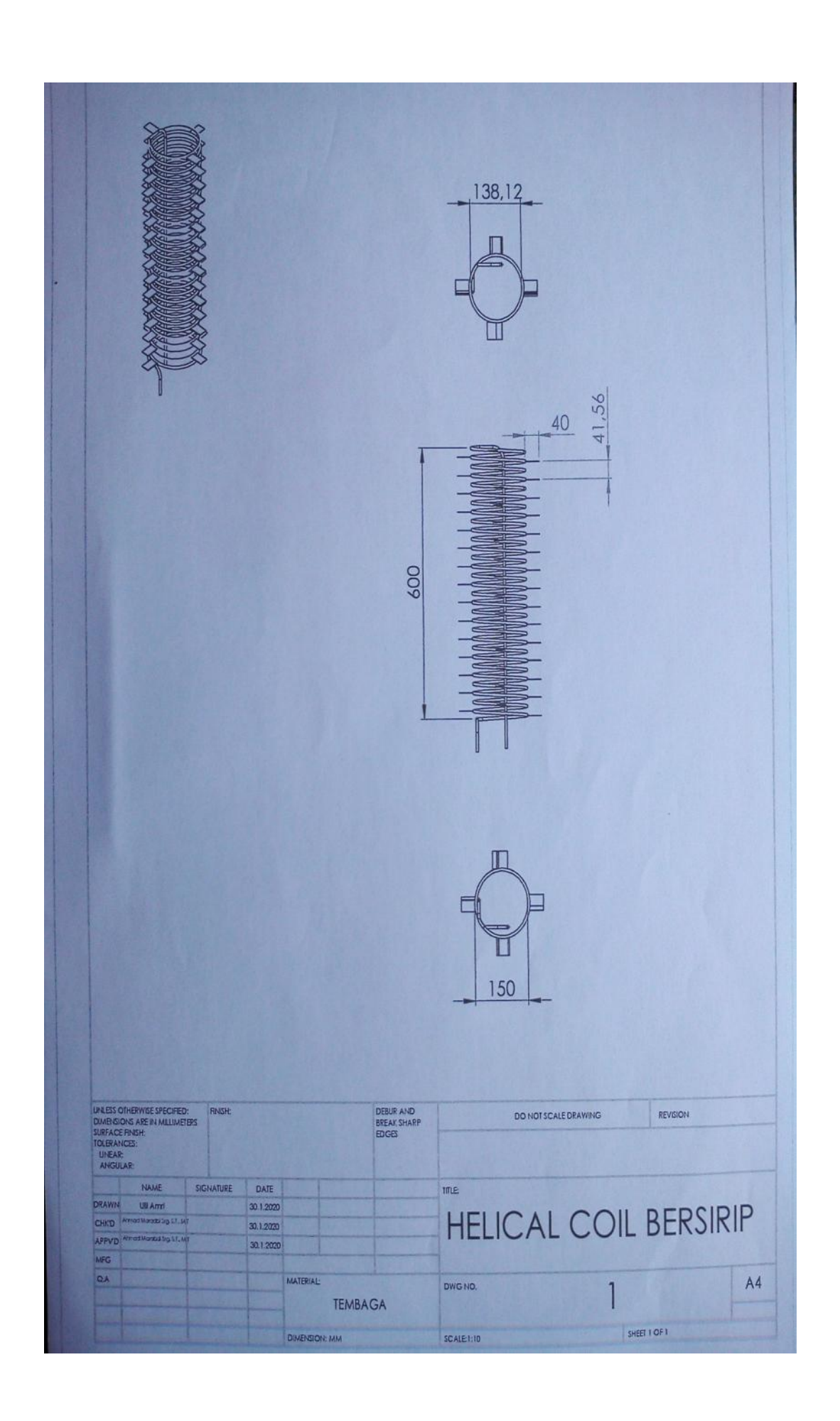
 Untuk mendapatkan hasil pengujian yang lebih optimal lakukanlah percoabaan alat terlebih dahulu, agar tidak terjadi hal hal yang tidak diinginkan.

#### **DARTAR PUSTAKA**

- Tunggul M Sitompul, (1997), "Alat Penukar Kalor (Heat Exchanger)", Jakarta Raja Grafindo Persada.
- Gartner, JR., and Harrison HL. (2010). "Dinamic Characteristic Of water Tto Air Crossflow Heat Exchanger: ASHRAE. Transanction 72:212.
- Holman, Jp.(2010). "Heat Transfer". Erlangga
- Dean A Barlet (1996)."Jurnal, Penelitian Alat Penukar kalor
- Pramod S, dkk (2012), "Jurnal, Analisis Aliran Sekunder Dari Penukar Kalor Helical Coil Dengan Berbagai Parameter Untuk Kondisi Tertentu.
- Nasser Ghorbani, dkk (2010),"Jurnal, Analisis Perpindahan Kalor Konveksi Campuran Dalam Alat Penukar Kalor Tipe Coilin Shell Dengan Variasi Reynolds
- Yoshida dkk, (2006)."Jurnal Reaktom, Volume 02 Nomor 02 September 2017, 30-36.
- Haris Budiman dkk, (2005)."JurnalStudi, Karakteristik Hasil Pengelasan Stud Welding A36 Terhadap SA 335 Grade P9 Pada Kontruksi *Fins* Penukar Kalor Pipa CPU.
- Firmansyah, B.(2009)."Jurnal, Perpindahan Panas Pada Perangkat Elektronik Dalam penggunaan *Water-Block* Pada Pendingin CPU.
- Supriyono, (2005)."Jurnal, Perpindahan Energi dari Bagian Bersuhu Tinggi Kebagian Bersuhu Rendah.
- Miriam, Sarah. (2011)."Jurnal, Program Komputasi Distribusi Suhu Pada Suatu Sistem Yang Dalam Keadaan Tunak.
- Novianarenti, Eky. (2016)."Jurnal, Karakteristik Aliran Perpindahan Panas Diluar Pipa Yang Mengalir Secara *Crossflow*.
- Istanto, Tri dkk, (2010)."Jurnal, Karakteristik Perpindahan Panas Dan Penurunan Tekanan Dari Susunan Sirip-Sirip Pin Silinder Tirus dalam Saluran Udara Segiempat.

.





## APPENDIX A Tables

Table A-9 | Properties of water (saturated liquid).†

		c <sub>p</sub>	P	μ			$g\beta\rho^2c_p$
F	°C	kJ/kg·°C	kg/m <sup>3</sup>	kg/m·s	k W/m⋅°C	Pr	μk 1/m <sup>3</sup> ·°(
32	0	4.225	999.8	1.79×10 <sup>-3</sup>	0.566	12.26	
40	4.44	4.208	999.8	1.55	0.575	13.25	1.01 10
50	10	4.195	999.2	1.31	0.575	11.35	1.91 × 10
60	15.56	4.186	998.6	1.12	0.595	9.40	$6.34 \times 10^{9}$ $1.08 \times 10^{1}$
70	21.11	4.179	997.4	9.8×10 <sup>-4</sup>	0.593	7.88 6.78	$1.08 \times 10^{-1}$ $1.46 \times 10^{1}$
80	26.67	4.179	995.8	8.6	0.614	5.85	$1.46 \times 10^{-1}$ $1.91 \times 10^{1}$
90	32.22	4.174	994.9	7.65	0.614	5.12	$1.91 \times 10^{-1}$ $2.48 \times 10^{1}$
00	37.78	4.174	993.0	6.82	0.630	4.53	$3.3 \times 10^{1}$
10	43.33	4.174 -	990.6	6.16	0.637	4.04	$4.19 \times 10^{1}$
20	48.89	4.174	988.8	5.62	0.644	3.64	$4.19 \times 10^{1}$ $4.89 \times 10^{1}$
30	54.44	4.179	985.7	5.13	0.649	3.30	$5.66 \times 10^{1}$
40	60	4.179	983.3	4.71	0.654	3.01	$6.48 \times 10^{1}$
200			980.3	4.71	0.659	2.73	$7.62 \times 10^{1}$
50	65.55	4.183	977.3	4.01	0.665	2.53	8.84 × 10 <sup>1</sup>
60	71.11	4.186	973.7	3.72	0.668	2.33	$9.85 \times 10^{1}$
70	76.67	4.191		3.47	0.673	2.16	$1.09 \times 10^{1}$
80	82.22	4.195	970.2	3.47	0.675	2.03	1.07 × 10
90	87.78	4.199	966.7	3.06	0.678	1.90	
.00	93.33	4.204	963.2 955.1	2.67	0.684	1.66	
20	104.4	4.216	200000000000000000000000000000000000000	2.44	0.685	1.51	
40	115.6	4.229	946.7 937.2	2.19	0.685	1.36	
60	126.7	4.250	928.1	1.98	0.685	1.24	
80	137.8	4.271	918.0	1.86	0.684	1.17	
100	148.9	4.296	890.4	1.57	0.677	1.02	
50	176.7	4.371	859.4	1.36	0.665	1.00	
00	204.4	4.467	825.7	1.20	0.646	0.85	
150	232.2	4.585	785.2	1.07	0.616	0.83	A RELIEF
00	260	4.731	735.5	9.51×10 <sup>-5</sup>			
550	287.7	5.024	c=0.7	8.68 Introduction to Heat I			

## Refrigerant 22 (Chlorodiffuoromethane) Properties of Saturated Liquid and Saturated Vapor

	Pres-	Density,	Volume,	Enth kJ		Entr			lc Heat (kg·K)	a la		city of		cosity,		l Cond.,	Surface	-
Temp.*	sure, MPa	kg/m² Liquid	m³/kg Vapor		Vapor	Liquid	Vapor	Annual Contraction	Vapor	Cp/c, Vapor		Vapor	Liquid	and the second	Liquid	(m·K) Vapor	Tension,	Temp.,*
-100,00	0.00201	1571.3	8.26600	90.71	358,97	0.5050	2.0543	1.061	0.497	1.243	1127	143.6	845.8	7.25	143.1	4.46	mN/m 28.12	°C
-90.00	0.00481	1544.9		101.32	363.85	0.5646	1.9980	1.061	0.512	1.237	1080	147.0	699.4	7.67	137.8	4.84	26.36	-100.00 -90.00
-80.00		1518.2		111.94	368.77 373.70	0.6210	1.9508	1.062	0.528	1.233	1033	150.3	591.0	8.09	132,6	5,25	24.63	-80.00
-70.00 -60.00		1463.7		133.27	378.59	0.7260	1.8770	1,071	0.564	1.230	940	153.3 156.0	507.6	8.5Z 8.94	127.6	5.68	22.92	-70.00
-50.00	0.06453	1435.6	0.32385	144.03	383.42	0.7752	1.8480	1.079	0.585	1.232	893	158,3	387.5	9.36	117.8	6.59	21.24 19.58	-60.00 -50.00
-48.00		1429.9		146.19	384.37	0.7849	1.8428	1.081	0.589	1.233	884	158.7	377.8	9.45	116.9	6.69	19.25	-48.00
	0.07894 0.08705			148,36 150,53	385.32 386.26	0.7944 0.8039	1.8376	1,083	0.594	1.234	875 865	159.1 159.5	368.6	9.53	115.9	6.79	18.92	-46.00
	0.09580			152.70	387.20	0.8134	1.8278	1.088	0.603	1.236	856	159.9	359.6 351.0	9.62 9.70	115.0	6.89	18.59 18.27	-44.00
	0.10132			154.00	387.75	0.8189	1.8250	1.090	0.606	1.236	851	160.1	346.0	9.75	113.5	7.05	18.08	-42.00 -40.81
	0.10523			154.89	388.13	0.8227	1.8231	1.091	0.608	1.237	847	160.3	342.6	9.79	113.1	7.09	17.94	-40.00
	0.11538			157.07	389.06 389.97	0.8320	1,8186	1.093	0.613	1.238	838 828	160.6	334.5 326.7	9.87 9.96	112.2	7.19	17.62	-38.00
	0.12020			161.47	390.89	0.8505	1.8098	1.099	0.624	1.241	819	161.2	319.1	10.04	111.2	7.29	17.30 16.98	-36.00 -34.00
-32.00	0.15050	1383.2	0.14682	163.67	391.79	0.8596	1.8056	1.102	0.629	1.242	810	161.5	311.7	10.12	109.4	7.51	16.66	-32.00
	0.16389			165.88	392.69	0.8687	1.8015	1.105	0.635	1.244	800	161,8	304,6	10.21	108.5	7.61	16.34	-30.00
	0.17819			168.10	393.58 394.47	0.8778	1.7975	1.108	0.641	1.246	791	162.0	297.7	10.29	107.5	7.72	16.02	-28.00
-26.00 -24.00		1358.9		172.56	395.34	0.8868	1.7937	1.112	0.646	1.248	782 772	162.3 162.5	291.0 284.4	10.38	106.6	7.83	15.70 15.39	-26.00 -24.00
-22.00		1352.7		174.80	396,21	0.9046	1.7862	1.119	0.659	1.253	763	162.7	278.1	10.55	104.8	8.06	15.07	-22.00
-20,00		1346.5		177.04	397.06	0.9135	1.7826	1.123	0.665	1.255	754	162.8	271.9	10.63	103.9	8.17	14.76	-20.00
-18.00		1340.3		179.30	397.91	0.9223	1.7791	1.127	0.672	1.258	744	163.0	265.9	10.72	103.0	8.29	14.45	-18.00
-16.00 -14.00		1334.0		181.56 183.83	398.75 399.57	0.9311	1.7757	1.131	0.678	1.261	735 726	163.1 163.2	260.1 254.4	10.80	102.1	8.40 8.52	14.14	-16.00 -14.00
-12.00		1321.2		186.11	400.39	0.9485	1.7690	1.139	0.692	1.267	716	163.3	248.8	10.98	100.2	8.65	13.52	-12.00
-10.00		1314.7		188.40	401.20	0.9572	1.7658	1.144	0.699	1.270	707	163.3	243.4	11.06	99.3	8,77	13.21	-10,00
-8.00		1308.2		190.70	401.99	0.9658	1.7627	1.149	0.707	1.274	697	163.4	238.1	11.15	98.4	8.89	12.91	-8.00
-6.00 -4.00		1301.6		193.01 195.33	402.77	0.9744	1,7596 1,7566	1.154	0.715	1.278	688	163.4	233.0	11.24	97.5 96.6	9.02 9.15	12.60 12.30	-6.00 -4.00
-2.00		1288.3		197.66	404.30	0.9915	1.7536	1.164	0.731	1.287	669	163.4	223.0	11.41	95.7	9.28	12,00	-2.00
0.00		1281.5		200.00	405.05	1.0000	1.7507	1.169	0.739	1.291	660	163.3	218.2	11.50	94.8	9.42	11.70	0.00
2.00		1274,7		202.35	405.78	1.0085	1.7478	1.175	0.748	1.296	650	163.2	213.5	11.59	93.9	9,56	11.40	2.00
6.00	0.60259	1267.8	0.04159	204.71 207.09	406.50 407.20	1,0169	1.7450	1.181	0.757	1,301	641	163.1	208.9	11.68	93.1 92.2	9.70 9.84	11.10	4.00 6.00
8.00	0.64088		0.03683	209.47	407.89	1.0338	1.7395	1.193	0.775	1.313	622	162.8	200.0	11.86	91,3	9.99	10.51	8.00
10.00		1246.7		211.87	408.56	1.0422	1.7368	1.199	0.785	1.319	613	162.6	195.7	11.96	90.4	10.14	10.22	10.00
12.00	0.72286	1239.5	0.03271	214.28	409.21	1.0505	1,7341	1,206	0.795	1,326	603 594	162.4 162.2	191.5	12.05 12.14	89.5 88.6	10.29	9.93 9.64	12.00 14.00
16.00			0.02912	219.14	410.47	1.0672	1.7289	1.220	0.817	1.340	584	161.9	183.2	12.24	87.7	10.43	9.35	16.00
18.00			0,02750	221.59	411.07	1.0755	1,7263	1,228	0.828	1.348	575	161,6	179.2	12,33	86.8	10.77	9.06	18.00
20.00			0.02599	224.06		1,0838	1.7238	1.236	0,840	1.357	565	161.3	175.3	12.43	85.9	10.95	8.78	20.00
22.00			0.02457	226.54	412.22	1.0921	1.7212	1.244	0.853	1.366	555 546	161.0	171.5	12.53	85.0 84.1	11.12	8.50 8.22	22.00
26.00			0.02324	231.55	413.29	1.1086	1.7162	1.261	0.879	1.385	536	160.2	163,9	12.74	83.2	11.49	7.94	26.00
28.00			0.02082	234.08	413.79	1.1169	1.7136	1.271	0.893	1.396	527	159.7	160.3	12.84	82.3	11.69	7.66	28.00
30.00			0.01972	236.62	414.26	1.1252	1.7111	1.281	0.908	1.408	517	159.2	156.7	12.95	81.4	11.89	7.38	30.00 32.00
32.00 34.00			0.01869	239.19	414.71	1.1334	1.7086	1.291	0.924	1.420	507 497	158.7 158.2	153.1	13.06	80.5 79.6	12.10	7.11 6.84	34.00
36.00			0.01679	244.38	415.54	1.1499	1.7036	1.314	0.957	1.448	487	157.6	146.1	13.28	78.7	12.54	6.57	36.00
	1,46010	1137.3	0.01593		415,91	1.1582	1.7010	1.326	0.976	1.463	478	157.0	142.7	13.40	77.8	12.77	6.30	38,00
			0.01511		416.25	1.1665	1.6985	1.339	0.995	1.480	468 458	156.4 155.7	139.4 136.1	13,52 13,64	76.9 76.0	13.02 13.28	6.04 5.77	40.00 42.00
			0.01433		416.55	1.1747	1.6959	1.353	1.015	1.498	448	155.0	132.8	13.77	75.1	13.55	5.51	44.00
46.00	1.77040	1101,4	0.01291	257.73	417.07	1.1913	1.6906	1.384	1.061	1.538	437	154.2	129.5	13.90	74.1	13.83	5.25	46.00
			0.01226		417.27	1.1997	1.6879	1.401	1.086	1.561	427	153.4	126.3	14.04	73.2	14.13	5.00 4.74	48.00 50.00
			0.01163 0.01104		417.44	1.2080	1.6852	1,419	1.113	1.586	417	152.6	123.1	14.18	72.3 71.4	14.45	4.49	52.00
54.00	2.1270	0 1062.3	0.01048	268.89	417.63	1.2248	1.6795	1.439	1.142	1.644	396	150.8	116.9	14.47	70.4	15.14	4.24	54.00
56,00	2.2239	0 1052.0	0.00995	271.76	417.66	1.2333	1.6766	1,485	1.208	1.677	386	149.8	113.8	14.63	69.5	15.52	4.00	56.00 58.00
58.00	2.3240	0 1041.3	0.00944 0.00896		417.63	1,2418	1.6736	1,511	1.246	1.714	375	148.8	110.7	14.80 14.98	68.6 67.6	15.92 16.36	3.75	60.00
65,00	2.7012	0 10014	0.00785	285.18	417.55	1.2504	1.6705	1.539	1.287	1.755	364 337	144.9	100.0	15.46	65.3	17.61	2.92	65.00
70.00	2.9974	0 969.7	0.00685	293.10	416.09	1.2945	1.6529	1.743	1,584		309	141.7	92.4	16.02	62.9	19.16	2.36	70.00 75.00
	0 3.3177 0 3.6638		0.00595		414.49	1,3177	1.6424	1.913	1.832	2,315	280	138.1	84.6	16.70 17.55	60.6 58.6	21,16	1.82	80.00
	0 4.0378	A SECUL	0.00512		412.01	1.3423	1.6299	2.181	2.231	2,735 3.532	249	134.2	76.6 68.1	18.71	57.4	27.82	0.83	85.00
90.0	0 4.4423	0 780.1	0.00356	332.09		1.3690	1.6142	2.682 3.981	4.975	5.626	177	124.6	58.3	20.48		34.55	0.40	90.00 95.00
	0 4.8824 5° 4.9900		0,00262		387.28	1.4462	1.5486	17.31	25.29	26,43		118.0	44.4	24.76	83.5	59.15	0.05	96.15
	cratures o		0.00191	366.90	366.90	1,4927	1,4927	to to	00	oo ina noin	0	0.0	Marie Control					al point
								No	rmal boil	ing bon	1							

# Refrigerant 22 (Chlorodifluoromethane) Properties of Saturated Liquid and Saturated Vapor

		Pres-	Density	, Volume,		halpy, J/kg		ropy,		ific Heat			city of				CASE	-	
	-			JENOROS STANIS	The same of the sa				-		44/6000	-		щ	20.5				T
1960			CONTROL PROPERTY		THE RESERVE THE PERSON NAMED IN					The state of the s		Contract of the last		The second second	Bridge, Col		Vapor	mN/m	
							0.5646											28.12	-100.00
March   Marc																			
1.00   1.00										1100000					8.52				
1400   100781   1429   12943   1619   3813   1619   1794   1873   1818   1829   1294   1875   1818																		21.24	
14.00   10.00093   16.000								1.8428	1.081										
142-00   10859   1412- 02200   15170   39730   0411   14270   1609   0.056   1.25   85   1993   3596   9.02   1150   0.05   0.95   1450   0.05   0.												875	159.1						
																115.0			
										2000000									
								1.8231	1.091	0.608									
1.00					- Introduction					The state of			160.6	334.5					
1.00																	7.29		
					163.67														
-2.00   0.1989   1971.   0.1289   1610   39758   0.878   1.797   1.108   0.641   1.246   791   1620   2977   1029   1075   7.72   1610   2920   2920   20206   15389   0.1079   17125   39334   0.8997   1.789   0.115   0.653   1.299   772   1625   623   2910   1038   1095   7.73   1.573   -2400   2.2020   0.2026   15389   0.1079   17125   39334   0.8997   1.789   0.115   0.653   1.299   772   1625   6244   1046   1657   7.94   1.539   -2400   2.2020   0.2026   13389   0.0026   1.794   3.795   0.0918   1.795   1.105   0.0918   1.795   0.0918   1.795   0.105   0.0918   1.795   0.105   0.0918   1.795   0.105   0.0918   1.795   0.105   0.0918   1.795   0.105   0.0918   1.795   0.105   0.0918   1.795   0.105   0.0918   1.795   0.105   0.0918   1.795   0.105   0.0918   1.795   0.105   0.0918   1.795   0.105   0.0918   1.795   0.105   0.0918   1.795   0.105   0.0918   1.795   0.105   0.0918   0.0918   0.0918   0.005   0.005   0.005   0.005   0.005   0.005   0.005   0.005   0.005   0.005   0.005   0.005   0.005   0.005   0.005   0.005   0.0								1.8015	1.105	0.635									
1400   1400														297.7	10.29				
																			-26.00
-2000 0 0.24531 13465 0.09268 17704 97706 9.0135 1.785	-22.00 (	0.22696	1352.7	0.09975	174.80														
-16.00										0.665	1.255								
1.400   0.50728   1377.6   0.07485   183.83   399.57   0.9398   1.7722   1.135   0.685   1.624   775   163.3   2.044   1.089   102.1   8.70   1.141   1.000   1.141   1.000																103.0			
	-12.00 0	0,33038	1321.2	0.06986	186.11														
-6.00 0.40769 1301.6 0.05713 193.01 402.77 0.974 1.7596 1.154 0.715 1.278 688 163.4 223.0 11.13 99.4 97.5 9.02 12.0 -6.00 -6.00 0.45628 1295.0 0.03532 195.33 405.55 0.9830 1.7566 1.159 0.722 1.822 679 163.4 223.0 11.32 96.6 195.0 -2.00 0.00 0.49799 1281.5 0.04710 200.00 0.0505 1.0000 1.7507 1.169 0.739 1.291 660 163.2 213.2 11.50 94.8 94.2 11.70 0.00 0.000 0.49799 1281.5 0.04710 200.00 0.0505 1.0000 1.7507 1.169 0.739 1.291 660 163.2 213.2 11.50 94.8 94.2 11.70 0.00 0.000 0.0000 1.2747 0.0442 0.0235 405.78 1.0005 1.7472 1.181 0.757 1.301 641 163.1 2.089 11.69 93.1 9.70 11.0 4.00 0.00239 1260.8 0.03913 207.09 407.20 1.0254 1.7422 1.187 0.766 1.307 6.32 163.0 204.4 11.77 92.2 98.9 10.51 1.0 4.00 0.00239 1260.8 0.03913 207.09 407.20 1.0354 1.7422 1.187 0.766 1.307 6.32 163.0 204.4 11.77 92.2 98.9 10.51 1.0 4.00 0.00239 1260.8 0.03913 207.09 407.20 1.0354 1.7422 1.187 0.766 1.307 6.32 163.0 204.4 11.77 92.2 98.9 10.51 1.0 4.00 0.058095 1246.7 0.03470 21.187 405.56 1.0422 1.7368 1.199 0.0785 1.319 0.075 1.313 622 162.8 2000 1.186 91.3 9.99 10.51 8.00 0.046088 1232.2 0.03918 2.024 4.0858 1.0385 1.0385 1.7359 1.139 0.075 1.313 622 162.8 2000 1.186 91.3 9.99 10.51 8.00 0.04608 1.224 0.00318 2.005 1.000 0.04608 1.224 0.00318 2.005 1.000 0.04608 1.224 0.00318 2.005 1.000 0.05608 1.224 0.03470 0.05608 2.022 0.03918 2.024 0.0418 0.0555 1.0055 1.3341 1.0 1.0 1.0 1.0 1.0 1.0 1.0 1.0 1.0 1.												707	163.3						
																		12.91	-8.00
0.00 0.49799 1281.5 0.04710 200.0 405.05 1.000 1.7507 1.169 0.739 1.291 669 1633 2182 11.50 94.8 9.42 11.70 0.00 0.00 0.49799 1281.5 0.04159 20.23 407.8 1.0085 1.7478 1.175 0.748 1.296 660 1633 21.5 11.59 93.9 9.56 11.40 2.00 0.00 0.00 0.00259 1260.8 0.03913 207.09 407.20 1.024 1.7422 1.187 0.766 1.307 612 1.031 61.031 1.031 1.031 0.00 0.00259 1260.8 0.03913 207.09 407.20 1.024 1.7422 1.187 0.766 1.307 612 1.032 1.030 0.0448 1.177 92.2 9.84 10.81 6.00 0.04688 1.238 0.03638 209.47 407.80 1.0338 1.739 1.139 0.785 1.313 622 1.028 20.00 1.186 93.3 9.99 10.51 8.00 10.00 0.000 0.0000 0.0000 0.00000 0.00000 0.00000 0.00000 0.00000 0.000000					197,66	404,30		1.7536											
4.00   0.56665   1267.8   0.04159   204.71   406.50   1.0169   1.7450   1.181   0.757   1.301   641   651.1   2029   11.68   93.1   93.9   95.0   11.10   4.00   6.00   0.60259   12668   0.03913   200.99   407.20   1.0244   1.7422   1.187   0.766   1.307   632   163.0   2044   11.77   222   9.84   10.81   6.00   8.00   0.60289   1267.0   0.03683   209.47   407.89   1.0318   1.7395   1.193   0.775   1.313   622   162.8   200.0   11.86   91.3   9.99   10.51   8.00   10.00   0.68095   1246.7   0.03470   211.87   408.56   1.0422   1.7368   1.199   0.785   1.319   613   162.6   195.7   11.96   90.4   10.14   10.22   10.00   10.00   0.68095   124.27   0.03470   211.87   408.56   1.0422   1.7351   121.9   0.00   1.325   603   162.4   191.5   12.05   89.5   10.29   99.3   12.00   10.00   1												660	163.3	218.2					
6.00 0.60259 126.08 0.03913 207.09 407.20 1.0254 1.7422 1.187 0.766 1.307 6.52 16.30 2044 11.77 92.2 9.84 10.81 6.00   8.00 0.64088 1253.8 0.03683 20.03687 20.44 07.89 1.0328 1.7398 1.199 0.775 1.313 622 1628 200.0 11.86 91.3 9.99 10.51 8.00   10.00 0.68698 12467 0.03470 21.187 408.56 1.0422 1.7368 1.199 0.775 1.313 622 1628 200.0 11.86 91.3 9.99 10.51 8.00   10.00 0.62668 1232.2 0.03686 216.70 409.85 1.0898 1.7319 1.213 0.806 1.333 594 162.2 187.3 12.14 86.5 10.29 9.93 12.00   14.00 0.76668 1232.2 0.03686 216.70 409.85 1.0898 1.715 1.213 0.806 1.333 594 162.2 187.3 12.14 86.5 10.45 9.64 14.00   18.00 0.866720 12174 0.02759 221.91 41.07 1.0752 1.7263 1.228 0.828 1.348 575 161.6 179.2 12.33 86.8 10.77 9.06 18.00   18.00 0.866720 12174 0.02759 221.59 411.07 1.0755 1.7263 1.228 0.828 1.348 575 161.6 179.2 12.33 86.8 10.77 9.06 18.00   20.00 0.91002 120.99 0.02559 224.09 412.77 1.0004 1.7187 1.252 0.866 1.375 565 161.0 171.5 12.53 85.9 11.98 878 20.00   20.00 0.91002 120.99 0.02559 224.09 412.77 1.1004 1.7187 1.252 0.866 1.375 565 161.0 171.5 12.53 85.9 11.98 878 20.00   20.00 0.101600 1194.6 0.02242 229.04 412.77 1.1004 1.7187 1.252 0.866 1.375 565 161.0 171.5 12.53 85.9 11.99 878 20.00   20.00 0.10170 1186.7 0.02199 231.55 413.29 1.1066 1.7162 1.261 0.879 1.385 536 160.2 163.9 12.74 82.2 11.49 7.94 2.600   20.00 1.19190 11707 0.01972 23.652 414.26 1.1252 1.7111 1.281 0.988 1.398 1.395 1.59 1.254 8.2 31.149 7.94 2.600   20.00 1.19190 11707 0.01972 23.652 414.26 1.1252 1.7111 1.281 0.948 1.408 1.57 1.59 1.56 1.31 1.306 8.05 12.10 7.111 3.00   20.00 1.25200 1162.6 0.01869 23.91 41.417 1.1341 1.7061 1.302 0.940 1.434 497 1.55 1.441 1.35 1.366 8.05 12.10 7.111 3.00   20.00 1.38920 1145.8 0.01679 244.38 415.54 1.1499 1.7065 1.312 0.940 1.434 497 1.55 1.441 1.35 1.35 1.35 1.35 1.35 1.35 1.35 1.3																			2.00
8.00 0.64088 1253.8 0.03683 209.47 407.89 1.0338 1.7395 1.193 0.775 1.313 622 162.8 200.0 11.86 91.3 9.99 10.51 8.00 10.00 0.68095 1246.7 0.03470 214.28 409.21 1.0505 1.7341 1.206 0.775 1.315 61.3 162.6 195.7 11.96 90.4 10.14 10.22 10.00 1.206 1.206 1.239.5 0.0371 214.28 409.21 1.0505 1.7341 1.206 0.795 1.326 6.03 162.4 191.5 12.05 89.5 10.29 9.93 12.00 14.00 0.76668 1232.2 0.03086 216.70 409.85 1.0589 1.7315 1.213 0.806 1.333 594 162.2 187.3 12.14 88.6 10.45 9.64 14.00 10.00 0.81244 1224.9 0.02912 1.219.4 410.47 1.0767 1.7259 1.220 0.817 1.340 584 161.9 183.2 12.24 88.6 10.45 9.64 14.00 10.00 0.81244 1224.9 0.02912 1.219.4 410.47 1.0767 1.7555 1.7263 1.225 0.825 1.346 575 161.6 179.2 12.33 86.8 10.77 9.06 18.00 0.8060 1.2147 4 0.0275 221.59 411.07 1.0755 1.7263 1.225 0.825 1.346 575 161.6 179.2 12.33 86.8 10.77 9.06 18.00 0.8060 1.9146 0.0232 22.00 411.66 1.0838 1.7238 1.236 0.840 1.357 565 161.3 1753 12.43 85.9 10.95 8.78 20.00 0.9102 1.099 0.02599 224.06 411.66 1.0838 1.7238 1.236 0.840 1.357 565 161.3 1753 1.243 85.9 10.95 8.78 20.00 0.95695 1.023 0.02457 2.2564 412.25 1.0961 1.1718 1.259 0.866 1.375 546 160.6 1677 1.263 84.1 11.30 8.22 24.00 1.0160 1194.6 0.0232 2.290.4 412.77 1.1004 1.1718 1.259 0.866 1.375 546 160.6 1677 1.263 84.1 11.30 8.22 24.00 1.0160 1194.6 0.0232 2.3662 414.26 1.1252 1.7111 1.281 0.908 1.408 517 1592 156.7 12.95 81.4 11.49 7.94 2.600 1.0161 1.0171 1.																			
1,000   0.68095   1246.7   0.03470   211.87   408.56   1.0422   1.7568   1.199   0.785   1.319   6131   162.6   195.7   11.96   90.4   10.14   10.22   10.00     14.00   0.76668   1237.2   0.03065   216.70   409.85   1.0589   1.7315   1.213   0.806   1.333   63.9   162.2   19.573   12.14   88.6   10.45   9.94   14.00     16.00   0.81244   124.9   0.02712   211.94   410.47   1.0672   1.7289   1.220   0.817   1.340   5.84   16.19   18.32   1.24   87.7   10.61   9.35   16.00     20.00   0.91002   120.99   0.02599   224.06   411.66   1.0838   1.7238   1.236   0.840   1.357   5.161   17.53   12.33   86.8   10.77   9.06   18.00     20.00   0.96195   120.3   0.02599   224.06   411.66   1.0838   1.7238   1.236   0.840   1.357   5.55   16.10   17.15   12.33   85.0   11.12   8.50   22.00     20.00   0.96195   120.3   0.02347   225.64   412.22   1.0921   1.1786   1.7212   1.244   0.851   1.366   5.55   16.10   17.15   12.33   85.0   11.12   8.50   22.00     24.00   1.01600   1194.6   0.02324   229.04   412.77   1.1004   1.7187   1.221   0.893   1.356   5.55   16.10   17.15   12.53   85.0   11.12   8.50   22.00     28.00   1.13990   178.8   0.02082   234.08   413.29   1.1186   1.7166   1.716   1.261   0.879   1.385   5.66   16.00   16.77   12.63   84.1   1.130   8.22   24.00     28.00   1.13990   178.8   0.02082   234.08   413.79   1.1189   1.7136   1.271   0.893   1.396   85.7   159.7   160.3   12.84   82.3   11.69   7.66   28.00     34.00   1.25500   116.26   0.01869   239.19   41.471   1.1334   1.7086   1.302   0.940   1.434   497   158.2   149.6   13.17   79.6   12.14   1.24   1	8.00 0	.64088	1253,8	0.03683	209.47	407.89													
14.00 0.76668 123.2 0.03086 216.70 409.85 1.0589 1.7315 1213 0.806 1.333 594 162.2 187.3 12.14 88.6 10.45 9.64 14.00 16.00 0.81244 12249 0.02912 121,4 410.47 1.0672 1.7289 1220 0.817 1.340 584 161.9 183.2 12.24 87.7 10.61 9.35 16.00 18.00 0.80201 217,4 0.02750 221.59 411.07 1.0675 1.7263 1.228 0.828 1.348 8.75 161.6 179.2 1.33 86.8 10.45 9.64 14.00 18.00 0.80201 217,4 0.02750 221.59 411.07 1.0755 1.7263 1.228 0.828 1.348 8.75 161.6 179.2 1.33 86.8 10.77 9.06 18.00 0.9000 1.209.9 0.02599 224.06 411.66 1.0338 1.7238 1.236 0.840 1.357 565 161.6 179.2 1.33 86.8 10.77 9.06 18.00 0.9000 1.9000 1.90450 0.02342 2.904 412.77 1.1004 1.7187 1.252 0.866 1.375 565 161.0 171.5 12.53 85.0 11.12 8.50 22.00 0.96195 1.202.3 0.02457 2.204 412.77 1.1004 1.7187 1.252 0.866 1.375 546 160.6 167.7 1.263 84.1 11.30 8.22 2.400 0.96195 1.202.3 0.02457 2.904 412.77 1.1004 1.7187 1.252 0.866 1.375 546 160.6 167.7 1.263 84.1 11.30 8.22 2.400 0.96195 1.202.3 0.02457 2.31.55 41.329 1.1086 1.7162 1.261 0.879 1.385 3.36 160.2 1.304 82.2 11.49 7.66 2.800 0.9000 1.19190 1170.7 0.01972 236.62 414.26 1.1252 1.7111 1.281 0.988 1.408 517 1592 156.7 12.95 81.4 11.89 7.66 2.800 0.9000 1.9190 1170.7 0.01972 236.62 414.26 1.1252 1.7111 1.281 0.988 1.408 517 1592 156.7 12.95 81.4 11.89 7.38 30.00 1.3000 1.19190 1170.7 0.01972 236.62 414.26 1.1252 1.7111 1.281 0.988 1.408 517 1592 156.7 12.95 81.4 11.89 7.38 30.00 3.000 1.19190 1170.7 0.01972 241.77 415.14 1.1417 1.7061 1.302 0.940 1.434 497 158.2 149.6 13.17 79.6 12.31 6.84 34.00 1.3200 1.3890 1145.8 0.01679 244.38 415.54 1.1499 1.7036 1.314 0.957 1.448 487 157.6 146.1 13.28 78.7 12.54 6.57 3.600 3.800 4.000 1.3390 1145.8 0.01679 244.38 415.54 1.1499 1.7036 1.314 0.957 1.448 487 157.6 146.1 13.28 78.7 12.54 6.57 3.600 4.000 1.3390 1145.8 0.01619 247.00 415.91 1.1582 1.7010 1.326 0.976 1.463 478 157.6 146.1 13.28 78.7 12.54 6.57 3.600 4.000 1.3390 1.145.8 0.01511 249.65 416.25 1.1655 1.6985 1.339 0.995 1.446 488 155.7 136.1 13.64 76.0 13.26 5.77 12.00 4.000 4.000 1.3300 0.000 4.000 1.3390 0.000 0.000 0.000															11.96	90.4			
18.00																			
18.00   0.86020   1217.4   0.02750   221.59   411.07   1.0755   1.7263   1.228   0.828   1.348   575   161.6   179.2   12.33   86.8   10.77   9.06   18.00   19.002   1209.9   0.02599   224.06   411.66   1.0838   1.7288   1.236   0.840   1.357   565   161.3   175.3   12.43   8.59   10.95   8.78   20.00   22.00   0.96195   1202.3   0.02457   226.54   412.22   1.0921   1.7212   1.244   0.855   1.366   555   161.0   171.5   12.53   8.50   11.12   8.50   22.00   24.00   1.01600   1194.6   0.02374   229.04   412.77   1.1004   1.7187   1.252   0.866   1.375   546   160.6   167.7   12.63   84.1   11.30   8.22   24.00   26.00   1.07240   1186.7   0.02199   231.55   413.29   1.1086   1.7162   1.261   0.879   1.385   536   160.2   163.9   12.74   83.2   11.49   7.94   26.00   28.00   1178.8   0.02082   234.08   413.79   1.1169   1.7136   1.271   0.8931   1.395   277   159.7   160.3   12.84   82.3   11.69   7.94   26.00   23.00   1.1280   0.02022   236.62   414.26   1.1252   1.7111   1.281   0.908   1.408   517   1.582   1.7111   1.281   0.908   1.408   517   1.582   1.495   1.317   3.00   0.924   4.20   507   18.87   153.1   13.06   80.5   12.10   7.111   32.00   34.00   1.3210   1145.8   0.01679   244.38   415.54   1.1499   1.7036   1.340   0.957   1.484   487   157.0   412.7   13.40   77.8   12.77   6.30   38.00   40.00   1.3360   1128.5   0.01571   249.65   416.25   1.1665   1.6985   1.346   0.976   1.463   478   157.0   412.7   13.40   77.8   12.77   6.30   38.00   40.00   1.3360   1128.5   0.01571   249.65   416.25   1.1665   1.6985   1.384   1.061   1.538   437   154.2   12.55   13.65   1.364   4.00   4.000   4.200   1.60980   1110.6   0.01363   25.501   416.83   1.830   1.6933   1.368   1.0671   1.538   437   154.2   12.55   13.65   1.365   4.000   4.000   4.200   1.000980   1.000980   2.57.01   41.658   1.1744   1.0980   1.384   1.061   1.538   437   154.2   12.55   13.05   13.55   5.55   40.00   4.000   4.200   1.000980   2.57.01   41.745   1.208   1.6679   1.384   1.061   1.538   437   154.2   12.55   13.00																			
20.00 0.91002 1209.9 0.02599 224.06 411.66 1.0838 1.7238 1.236 0.840 1.357 5.65 161.3 175.3 1243 85.9 10.95 8.78 20.00 22.00 0.96195 1202.3 0.02457 226.54 412.22 1.0921 1.7212 1.244 0.853 1.366 55.5 161.0 171.5 12.53 85.0 11.12 8.00 22.00 24.00 1.01600 1194.6 0.02324 229.04 412.77 1.1004 1.7187 1.252 0.866 1.375 5.46 1.06 1.077 12.03 84.0 11.12 8.20 22.00 28.00 1.07240 1186.7 0.02199 231.55 413.29 1.1086 1.7162 1.261 0.879 1.385 536 1.02 1.03.9 12.74 83.2 11.49 7.94 2.00 28.00 1.13090 1178.8 0.0282 234.08 413.79 1.1169 1.7156 1.271 0.893 1.396 527 159.7 160.3 12.84 82.3 11.69 7.66 28.00 32.00 1.25520 1162.6 0.01659 239.19 414.71 1.1334 1.7086 1.291 0.924 1.420 507 158.7 159.2 1.066 8.05 12.10 7.11 32.00 32.00 1.25520 1162.6 0.01659 239.19 414.71 1.1334 1.7086 1.291 0.924 1.420 507 158.7 153.1 13.06 80.5 12.10 7.11 32.00 34.00 1.32100 1154.3 0.01771 241.77 415.14 1.1417 1.7061 1.326 0.976 1.463 4.97 158.2 149.6 13.17 79.6 12.31 6.84 34.00 36.00 1.38920 1145.8 0.01679 244.38 415.54 1.1499 1.7061 0.326 0.976 1.463 4.87 157.6 146.1 13.28 78.7 12.54 6.57 3.600 4.000 1.3360 1128.5 0.01511 249.65 416.25 1.1665 1.6985 1.339 0.995 1.480 468 156.4 139.4 13.52 76.9 13.02 6.04 40.00 42.00 1.60980 1110.6 0.01363 255.01 416.83 1.1830 1.6933 1.368 1.037 1.514 48 155.0 132.8 13.77 75.1 13.55 5.51 44.00 42.00 1.60980 1110.6 0.01360 255.01 416.83 1.1830 1.6933 1.368 1.037 1.514 48 155.0 132.8 13.77 75.1 13.83 5.25 40.00 48.00 1.85510 1091.9 0.01225 260.47 417.27 1.1997 1.6879 1.384 1.061 1.538 437 154.2 129.5 13.90 74.1 13.83 5.25 40.00 48.00 1.85510 1091.9 0.01226 260.47 417.27 1.1997 1.6879 1.384 1.061 1.538 437 154.2 129.5 13.90 74.1 13.83 5.25 40.00 48.00 1.85510 1091.9 0.01226 260.47 417.27 1.1997 1.6879 1.384 1.061 1.538 437 154.2 129.5 13.90 74.1 14.78 4.47 50.00 50.00 1.84270 1.0023 0.01163 26.032 417.44 1.2080 1.68870 1.194 1																			
24.00 1.01600 1194.6 0.02324 229.04 412.77 1.1004 1.7187 1.252 0.866 1.375 546 160.6 167.7 12.63 84.1 11.30 8.22 24.00 1.0240 1186.7 0.02199 231.55 413.29 1.1086 1.7162 1.261 0.879 1.385 536 160.2 163.9 12.74 83.2 11.49 7.94 26.00 1.0240 118.8 0.0208 234.08 413.79 1.1169 1.7136 1.271 0.893 1.396 527 159.7 160.3 12.84 82.3 11.69 7.66 28.00 1.000 1.19190 1170.7 0.01972 236.62 414.26 1.1252 1.7111 1.281 0.908 1.085 1.396 527 159.7 160.3 12.84 82.3 11.69 7.66 28.00 32.00 1.25520 162.6 0.01869 239.19 414.71 1.134 1.7061 1.302 0.94 1.420 507 158.7 153.1 13.06 80.5 12.10 7.11 32.00 1.3400 1.32100 1154.3 0.01771 241.77 415.14 1.1417 1.7061 1.302 0.940 1.434 497 158.2 449.6 13.17 79.6 12.31 6.84 34.00 1.32100 1154.8 0.01679 244.38 415.54 1.1499 1.7036 1.314 0.957 1.448 487 157.6 146.1 13.28 78.7 12.54 6.57 36.00 1.38920 1145.8 0.01679 244.38 415.54 1.1499 1.7036 1.314 0.957 1.448 487 157.6 146.1 13.28 78.7 12.54 6.57 36.00 1.6980 112.5 0.01511 249.65 416.25 1.1665 1.6985 1.339 0.995 1.480 468 156.4 139.4 13.52 76.9 13.02 6.04 40.00 1.53360 1128.5 0.01511 249.65 416.25 1.1665 1.6985 1.339 0.995 1.480 468 156.4 139.4 13.52 76.9 13.02 6.04 40.00 1.6980 1119.6 0.01433 252.32 416.55 1.1747 1.6959 1.353 1.051 1.498 458 155.7 136.1 13.64 76.0 13.28 5.77 42.00 44.00 1.68870 1110.6 0.01360 255.01 416.83 1.1830 1.6933 1.368 1.037 1.517 448 155.0 132.8 13.77 75.1 13.55 5.51 44.00 48.00 1.85510 1091.9 0.01226 260.47 417.27 1.1997 1.6879 1.401 1.086 1.538 437 1542 1.256 1.231 1.418 72.3 14.43 5.00 48.00 1.85510 1091.9 0.01226 260.47 417.27 1.1997 1.6879 1.401 1.086 1.561 427 153.4 126.3 14.04 73.2 14.13 5.00 48.00 1.94270 1082.3 0.01163 263.25 417.44 1.2080 1.6852 1.419 1.113 1.586 417 152.6 123.1 14.18 72.3 14.45 4.74 50.00 50.00 1.94270 1082.3 0.0104 2.680.5 417.56 1.2164 1.6854 1.439 1.142 1.614 407 151.7 120.0 14.32 71.4 14.78 4.49 5.00 50.00 2.2370 1002.3 0.0048 2.76.6 417.55 1.2504 1.6705 1.539 1.281 1.755 5.64 1.771 1.70.6 14.98 66.6 15.92 3.75 58.00 50.00 0.022390 1.052.0 0.00995 271.76 417.66 1.2233 1.6766 1.539 1.824 1.755																85.9			
26.00 1.07240 1186.7 0.02199 231.55 413.29 1.1086 1.7162 1.261 0.879 1.385 336 1602 163.9 12.74 83.2 11.49 7.94 26.00 28.00 1.13090 1178.8 0.02082 234.08 413.79 1.1169 1.7136 1.271 0.893 1.396 527 159.7 160.3 12.84 82.3 11.69 7.66 28.00 30.00 1.19190 1170.7 0.01972 236.62 414.26 1.1252 1.7111 1.281 0.908 1.408 517 159.2 166.7 12.95 81.4 11.89 7.38 30.00 32.00 1.25520 1162.6 0.01869 239.19 414.71 1.1334 1.7086 1.291 0.924 1.420 507 158.7 153.1 13.06 80.5 12.10 7.11 32.00 34.00 1.32100 1154.3 0.01771 241.77 415.14 1.1417 1.7061 1.302 0.940 1.434 497 158.2 149.6 13.17 79.6 12.31 6.84 34.00 1.3820 1145.8 0.01679 244.38 415.54 1.1499 1.7036 1.314 0.957 1.448 487 157.6 146.1 13.28 78.7 12.54 6.57 36.00 38.00 1.46010 1137.3 0.01593 247.00 415.9 1.1582 1.7010 1.326 0.976 1.463 478 157.0 142.7 13.40 77.8 12.77 6.30 38.00 40.00 1.53360 1128.5 0.01511 249.65 416.25 1.1665 1.6955 1.339 0.995 1.480 468 156.4 139.4 13.52 76.9 13.02 6.04 40.00 1.68870 1110.6 0.01360 255.01 416.83 1.1747 1.6959 1.333 1.015 1.498 458 155.7 136.1 13.64 76.0 13.28 5.77 42.00 44.00 1.68870 1110.6 0.01360 255.01 416.83 1.1830 1.6903 1.384 1.061 1.538 437 154.2 129.5 13.90 74.1 13.83 5.25 40.00 48.00 1.07040 1101.4 0.01212 1.25773 417.07 1.1913 1.6906 1.384 1.061 1.538 437 154.2 129.5 13.90 74.1 13.83 5.25 40.00 48.00 1.89470 1002.3 0.0163 263.25 417.44 1.2080 1.6852 1.419 1.113 1.586 417 152.6 123.1 14.18 72.3 14.45 4.74 50.00 50.00 1.94270 1082.3 0.0163 263.25 417.46 1.2080 1.6852 1.419 1.113 1.586 417.1 152.6 123.1 14.18 72.3 14.45 4.74 50.00 50.00 1.94270 1082.3 0.0163 263.25 417.66 1.2381 1.6906 1.384 1.061 1.573 1.484 1.614 4.07 151.7 12.60 14.32 71.4 14.78 4.49 52.00 50.00 1.94270 1082.3 0.01043 268.99 417.63 1.2418 1.6795 1.461 1.173 1.544 4.49 1.514 1.188 73.7 14.14 1.78 4.49 52.00 50.00 1.94270 1082.3 0.01043 20.0089 277.61 417.55 1.264 1.6824 1.439 1.124 1.134 1.818 1.37 1.449 1.149 1.																			
28.00 1.13090 1178.8 0.02082 234.08 413.79 1.1169 1.7136 1.271 0.893 1.396 527 159.7 160.3 12.84 82.3 11.69 7.66 28.00 30.00 1.19190 1170.7 0.01972 236.62 414.26 1.1252 1.7111 1.281 0.908 1.408 517 159.2 156.7 12.95 81.4 11.89 7.38 30.00 32.00 1.25520 1162.6 0.01869 239.19 41.417 1.1334 1.7086 1.291 0.924 1.420 507 158.7 153.1 13.06 80.5 12.10 7.11 32.00 34.00 1.32100 1154.3 0.01771 241.77 415.14 1.1417 1.7061 1.302 0.940 1.434 497 158.2 149.6 13.17 79.6 12.31 6.84 34.00 36.00 1.38200 1145.8 0.01679 244.38 415.54 1.1499 1.7036 1.314 0.957 1.448 487 157.6 146.1 13.28 78.7 12.54 6.57 36.00 38.00 1.46010 1137.3 0.01593 247.00 415.91 1.1582 1.7010 1.326 0.976 1.463 478 157.0 142.7 13.40 77.8 12.77 6.30 38.00 1.46010 1.3325 0.1511 249.65 416.25 1.1665 1.6985 1.339 0.995 1.480 468 156.4 139.4 13.52 76.9 13.02 6.04 40.00 1.53360 1128.5 0.01511 249.65 416.25 1.1665 1.6985 1.339 0.995 1.480 468 156.4 139.4 13.52 76.9 13.02 6.04 40.00 42.00 1.60980 11196 0.01330 252.32 416.55 1.1747 1.6959 1.333 1.015 1.498 458 155.0 132.8 13.77 75.1 13.55 5.51 44.00 44.00 1.7040 1101.4 0.01291 257.73 417.07 1.1913 1.6095 1.384 1.061 1.538 437 154.2 129.5 13.90 74.1 13.83 5.25 46.00 48.00 1.85510 1091.9 0.01226 260.47 417.27 1.1997 1.6879 1.401 1.086 1.561 427 153.4 126.3 14.04 73.2 14.13 5.00 48.00 1.94270 1082.3 0.01163 263.25 417.44 1.2080 1.6852 1.419 1.113 1.586 417 152.6 123.1 14.18 72.3 14.45 4.74 50.00 50.00 1.94270 1082.3 0.01042 266.05 417.56 1.2164 1.6824 1.439 1.142 1.614 407 151.7 120.0 14.32 71.4 14.78 4.49 52.00 50.00 1.94270 1082.3 0.01042 266.05 417.56 1.2164 1.6824 1.439 1.142 1.614 407 151.7 120.0 14.32 71.4 14.78 4.49 52.00 50.00 1.94270 1082.3 0.01048 268.89 417.63 1.2418 1.6736 1.511 1.246 1.714 375 148.8 110.7 14.80 68.6 15.92 3.75 5.80 60.00 2.22390 1052.0 0.00995 271.76 417.66 1.2333 1.6795 1.461 1.131 1.584 3.71 1.51.0 14.98 67.6 1.55.2 3.75 5.80 60.00 2.22390 1052.0 0.00985 271.76 417.66 1.2331 1.6795 1.461 1.731 1.524 1.755 1.581 1.755 1.44 1.70 1.51.7 1.44 1.78 6.50 1.50 1.50 1.50 1.50 1.50 1.50 1.50 1																			
32.00 1.25520 1162.6 0.01869 239.19 414.71 1.1334 1.7086 1.291 0.924 1.420 507 158.7 153.1 13.06 80.5 12.10 7.11 32.00 34.00 1.32100 1154.3 0.01771 241.77 415.14 1.1417 1.7061 1.302 0.940 1.434 497 158.2 149.6 13.17 79.6 12.31 6.84 34.00 36.00 1.38920 1145.8 0.01679 244.38 415.54 1.1499 1.7036 13.14 0.957 1.448 487 157.6 146.1 13.28 78.7 12.54 6.57 36.00 38.00 1.46010 1137.3 0.01593 247.00 145.91 1.1582 1.7010 1.326 0.976 1.463 478 157.0 142.7 13.40 77.8 12.77 6.30 38.00 42.00 1.53360 1128.5 0.01511 249.65 416.25 1.1665 1.6985 1.339 0.995 1.480 468 156.4 139.4 13.52 76.9 13.02 6.04 40.00 1.33360 1128.5 0.01511 249.65 416.25 1.1665 1.6985 1.339 0.995 1.480 468 156.4 139.4 13.52 76.9 13.02 6.04 40.00 1.60980 1119.6 0.01433 252.32 416.55 1.1747 1.6959 1.333 1.015 1.498 488 155.7 136.1 13.64 76.0 13.28 5.77 42.00 44.00 1.68870 1110.6 0.01360 255.01 416.83 1.1830 1.6933 1.368 1.037 1.517 448 155.0 132.8 13.77 75.1 13.55 5.51 44.00 48.00 1.85510 1091.9 0.01226 260.47 11.727 1.1997 1.6879 1.6879 1.401 1.086 1.561 427 153.4 126.3 14.04 73.2 14.13 5.00 48.00 1.89510 1091.9 0.01226 260.47 147.27 1.1997 1.6879 1.6812 1.491 1.113 1.586 417 152.6 123.1 14.18 72.3 14.14 4.78 4.49 52.00 54.00 1.2420 1082.3 0.01163 263.25 417.44 1.2080 1.6824 1.439 1.142 1.614 407 151.7 126.0 14.32 11.418 72.3 14.45 4.74 50.00 54.00 1.2420 1082.3 0.01048 268.89 417.63 1.2248 1.6795 1.461 1.173 1.644 407 151.7 126.0 14.32 11.418 4.74 4.00 56.00 2.22300 1052.0 0.00995 271.76 417.66 1.2333 1.6766 1.485 1.208 1.677 386 149.8 113.8 14.63 69.5 15.52 4.00 56.00 2.22300 1052.0 0.00995 271.76 417.65 1.2504 1.6705 1.539 1.287 1.755 364 147.7 107.6 14.98 67.6 16.36 3.51 60.00 60.00 2.22750 1030.4 0.00896 277.61 417.55 1.2504 1.6705 1.539 1.287 1.755 364 147.7 107.6 14.98 67.6 16.36 3.51 60.00 60.00 2.29740 969.7 0.00885 293.10 416.09 1.2945 1.6529 1.743 1.882 2.315 280 138.1 84.6 16.70 60.5 11.6 1.82 75.00 60.00 2.29740 969.7 0.00885 293.10 416.09 1.2945 1.6529 1.743 1.882 2.315 2.80 138.1 84.6 16.70 60.5 11.6 1.82 75.00 60.00 4.44230 780.1 0.00356 332.9																			
34.00 1.32100 1154.3 0.01771 241.77 415.14 1.1417 1.7061 1.302 0.940 1.434 497 158.2 149.6 13.17 79.6 12.31 6.84 34.00 36.00 1.38920 1145.8 0.01679 244.38 415.54 1.1499 1.7036 1.314 0.957 1.448 487 157.6 146.1 13.28 78.7 12.54 6.57 36.00 38.00 1.46010 1137.3 0.01593 247.00 415.91 1.1582 1.7010 1.326 0.976 1.463 478 157.0 142.7 13.40 77.8 12.77 6.30 38.00 1.3830 1.46010 1.53360 1128.5 0.01511 249.65 416.25 1.1665 1.6985 1.339 0.995 1.480 468 156.4 139.4 13.52 76.9 13.02 6.04 40.00 1.63360 1119.6 0.01433 252.32 416.55 1.1747 1.6959 1.333 1.015 1.498 458 155.7 136.1 13.64 76.0 13.28 5.77 42.00 1.68870 1110.6 0.01360 255.01 416.83 1.1830 1.6933 1.368 1.037 1.517 448 155.0 132.8 13.77 75.1 13.55 5.51 44.00 1.77040 1101.4 0.01291 257.73 417.07 1.1913 1.6906 1.384 1.061 1.538 437 154.2 129.5 13.90 74.1 13.83 5.25 46.00 1.85510 1091.9 0.01226 260.47 417.27 1.1997 1.6879 1.401 1.086 1.561 427 153.4 126.3 14.04 73.2 14.13 5.00 48.00 1.94270 1082.3 0.01163 263.25 417.44 1.2080 1.6852 1.419 1.113 1.586 417 152.6 123.1 14.18 72.3 14.45 4.74 50.00 1.94270 1082.3 0.0163 263.25 417.44 1.2080 1.6852 1.419 1.113 1.586 417 152.6 123.1 14.18 72.3 14.45 4.74 50.00 1.94270 1082.3 0.0163 263.25 417.46 1.2646 1.6824 1.439 1.142 1.614 407 151.7 120.0 14.32 71.4 14.78 4.49 52.00 1.94270 1082.3 0.000 8.28390 1052.0 0.00995 271.76 417.65 1.2164 1.6824 1.439 1.142 1.614 407 151.7 120.0 14.32 71.4 14.78 4.49 52.00 1.94270 1082.3 0.000 8.28390 1052.0 0.00995 271.76 417.65 1.2164 1.6824 1.439 1.142 1.614 407 151.7 120.0 14.32 71.4 14.78 4.49 52.00 1.94270 1082.3 0.000 8.000 2.22390 1052.0 0.00995 271.76 417.65 1.2248 1.6795 1.539 1.288 1.775 3.64 14.77 70.4 14.80 68.6 15.92 3.75 58.00 1.94270 1082.3 0.000 8.000 2.22390 1052.0 0.00995 271.76 417.55 1.2504 1.6705 1.539 1.288 1.757 3.64 14.77 107.6 14.98 67.6 16.36 3.51 60.00 1.9427 1.9427 1.9428															12.95	81.4	11.89	7.38	30.00
36.00 1.38920 1145.8 0.01679 244.38 415.54 1.1499 1.7036 1.314 0.957 1.448 487 157.6 146.1 13.28 78.7 12.54 6.57 36.00 38.00 1.46010 1137.3 0.01593 247.00 415.91 1.1582 1.7010 1.326 0.976 1.463 478 157.0 142.7 13.40 77.8 12.77 6.30 38.00 1.300 1.33360 1128.5 0.01511 249.65 416.25 1.1665 1.6985 1.339 0.995 1.480 468 156.4 139.4 13.52 76.9 13.02 6.04 40.00 1.69380 1119.6 0.01433 252.32 416.55 1.1747 1.6959 1.333 1.015 1.498 458 155.7 136.1 13.64 76.0 13.28 5.77 42.00 1.68870 1110.6 0.01360 255.01 416.83 1.1830 1.6933 1.368 1.037 1.517 448 155.0 132.8 13.77 75.1 13.55 5.51 44.00 1.77040 1101.4 0.01291 257.73 417.07 1.1913 1.6906 1.384 1.061 1.538 437 154.2 129.5 13.90 74.1 13.83 5.25 46.00 1.85510 1091.9 0.01226 260.47 417.27 1.1997 1.6879 1.401 1.086 1.561 427 153.4 126.3 14.04 73.2 14.13 5.00 48.00 1.94270 1082.3 0.01163 263.25 417.44 1.2080 1.6852 1.419 1.113 1.586 417 152.6 123.1 14.18 72.3 14.45 4.74 50.00 1.94270 1082.3 0.0163 263.25 417.44 1.2080 1.6852 1.419 1.113 1.586 417 152.6 123.1 14.18 72.3 14.45 4.74 50.00 1.94270 1082.3 0.0163 263.25 417.46 1.2646 1.6824 1.439 1.142 1.614 407 151.7 120.0 14.32 71.4 14.78 4.49 52.00 1.94270 1082.3 0.0004 2.82390 1052.0 0.00995 271.76 417.65 1.2164 1.6824 1.439 1.142 1.614 407 151.7 120.0 14.32 71.4 14.78 4.49 52.00 1.94270 1082.3 0.0004 2.74566 417.63 1.2248 1.6795 1.461 1.173 1.644 396 150.8 116.9 14.47 70.4 151.4 4.24 54.00 1.000 1.200 1.00																			
38.00 1.46010 1137.3 0.01593 247.00 415.91 1.1582 1.7010 1.326 0.976 1.463 478 157.0 142.7 13.40 77.8 12.77 6.30 38.00 10.00 1.53360 1128.5 0.01511 249.65 416.25 1.1665 1.6985 1.339 0.995 1.480 468 156.4 139.4 13.52 76.9 13.02 6.04 40.00 1.69870 1110.6 0.01433 257.32 416.55 1.1747 1.6959 1.333 1.015 1.498 488 155.7 136.1 13.64 76.0 13.28 5.77 42.00 44.00 1.69870 1110.6 0.01360 255.01 416.83 1.1830 1.6903 1.368 1.037 1.517 448 155.0 132.8 13.77 75.1 13.55 5.51 44.00 44.00 1.77040 1101.4 0.01291 257.73 417.07 1.1913 1.6906 1.384 1.061 1.538 437 154.2 129.5 13.90 74.1 13.83 5.25 46.00 48.00 1.58510 1091.9 0.01226 260.47 417.27 1.1997 1.6879 1.401 1.086 1.561 427 153.4 126.3 14.04 73.2 14.13 5.00 48.00 1.94270 1082.3 0.01163 263.25 417.44 1.2080 1.6852 1.419 1.113 1.586 417 152.6 123.1 14.18 72.3 14.45 4.74 50.00 50.00 1.94270 1082.3 0.01163 263.25 417.44 1.2080 1.6852 1.419 1.113 1.586 417 152.6 123.1 14.18 72.3 14.45 4.74 50.00 50.00 2.22390 1052.0 0.00995 271.76 417.66 1.2331 1.6706 1.461 1.173 1.644 396 150.8 116.9 14.47 70.4 151.4 42.4 54.00 50.00 2.22390 1052.0 0.00995 271.76 417.66 1.2333 1.6766 1.485 1.208 1.677 3.86 14.98 113.8 14.63 69.5 15.52 40.00 56.00 2.22390 1052.0 0.00995 271.76 417.66 1.2333 1.6766 1.485 1.208 1.677 3.86 14.98 113.8 14.63 69.5 15.52 40.00 56.00 2.22390 1052.0 0.00995 271.76 417.66 1.2333 1.6766 1.485 1.208 1.677 3.86 14.98 113.8 14.63 69.5 15.52 40.00 56.00 2.22390 1052.0 0.00995 271.76 417.55 1.2504 1.6705 1.539 1.287 1.753 3.44 14.77 107.6 14.98 67.6 16.36 3.51 60.00 2.42750 1030.4 0.00896 277.61 417.55 1.2504 1.6705 1.539 1.281 1.381 3.37 144.9 100.0 15.46 65.3 17.61 2.92 65.00 70.00 2.99740 96.97 0.00685 293.10 414.49 1.3177 1.6424 1.913 1.832 2.315 280 138.1 84.6 16.70 60.0 11.6 2.2 2.6 65.00 70.00 2.99740 96.97 0.00685 293.10 416.09 1.2945 1.6529 1.743 1.584 2.056 3.09 141.7 92.4 16.02 62.9 19.16 2.36 70.00 55.00 4.88240 662.9 0.00262 349.56 387.28 1.4462 1.5486 17.31 2.529 2.643 128 118.0 44.4 24.76 83.5 59.15 0.00 90.00 90.00 4.44230 780.1 0.00356 332.09 40.187 1.4001 1.592																			
40.00   1.53360   1128.5   0.01511   249.65   416.25   1.1665   1.6985   1.339   0.995   1.480   468   156.4   139.4   13.52   76.9   13.02   6.04   40.00     42.00   1.6980   1119.6   0.01433   252.32   415.55   1.1747   1.6959   1.353   1.015   1.498   458   155.7   136.1   13.64   76.0   13.28   5.77   42.00     44.00   1.68870   1110.6   0.01360   255.01   416.83   1.1830   1.6933   1.368   1.037   1.517   448   155.0   132.8   13.77   75.1   13.55   5.51   44.00     48.00   1.87510   1091.9   0.01226   260.47   417.27   1.1997   1.6879   1.401   1.086   1.561   427   153.4   126.3   14.04   73.2   14.13   5.00   48.00     50.00   1.94270   1082.3   0.01163   263.25   417.44   1.2080   1.6852   1.419   1.113   1.586   417   152.6   123.1   14.18   72.3   14.45   4.74   50.00     50.00   2.12700   1062.3   0.01048   268.89   417.63   1.2248   1.6795   1.461   1.173   1.644   396   150.8   116.9   14.47   70.4   151.4   424   54.00     50.00   2.22390   1052.0   0.00995   271.76   417.66   1.2333   1.6766   1.485   1.208   1.677   386   149.8   113.8   14.63   69.5   1.52   3.75   58.00     60.00   2.42750   0.304   0.00886   277.61   417.55   1.2504   1.6705   1.539   1.287   1.714   375   148.8   110.7   14.80   68.6   15.92   3.75   58.00     60.00   2.99740   96.7   0.00685   293.10   416.09   1.2945   1.6529   1.743   1.584   2.056   3.09   41.77   92.4   16.02   62.9   19.16   2.36   70.00     50.00   2.99740   96.7   0.00685   293.10   416.09   1.2945   1.6529   1.743   1.584   2.056   3.09   41.77   92.4   16.02   62.9   19.16   2.36   70.00     50.00   3.6380   893.7   0.00512   310.44   412.01   1.3423   1.6690   1.6142   2.682   2.984   3.532   215   129.7   68.1   18.71   57.4   27.82   0.83   85.00     50.00   3.6380   893.7   0.00512   310.44   412.01   1.3423   1.6690   1.6142   2.682   2.984   3.532   215   129.7   68.1   18.71   57.4   27.82   0.83   85.00     50.00   4.44230   780.1   0.00356   332.09   40.187   1.4001   1.5922   3.981   4.975   5.664   177   12.6   58.3   20.48   59.3   3	38.00 1.	46010	1137.3	0.01593															
44,00 1.68870 1110.6 0.01360 255.01 416.83 1.1830 1.6933 1.368 1.037 1.517 448 155.0 132.8 13.77 75.1 13.55 5.51 44.00 1.77040 1101.4 0.01291 257.73 417.07 1.1913 1.6906 1.384 1.061 1.538 437 154.2 129.5 13.90 74.1 13.83 5.25 46.00 1.85510 1091.9 0.01226 260.47 17.27 1.1997 1.6879 1.401 1.086 1.561 427 153.4 126.3 14.04 73.2 14.13 5.00 48.00 1.85510 1091.9 0.0126 260.47 17.47 1.2980 1.6852 1.419 1.113 1.586 417 152.6 123.1 14.18 72.3 14.15 4.74 50.00 50.00 1.94270 1082.3 0.01163 263.25 417.44 1.2080 1.6852 1.419 1.113 1.586 417 152.6 123.1 14.18 72.3 14.45 4.74 50.00 50.00 1.200 1.0000 1.000 1.0000 1.000 1.000 1.000 1.000 1.000 1.0000 1.0000 1.0000 1.0000 1.0000 1.0000													156.4	139.4	13.52	76.9	13.02		
46.00 1.77040 1101.4 0.01291 257.73 417.07 1.1913 1.6906 1.384 1.061 1.538 437 154.2 129.5 13.90 74.1 13.83 5.25 46.00 48.00 1.85510 1091.9 0.01226 260.47 417.27 1.1997 1.6879 1.401 1.086 1.561 427 153.4 126.3 14.04 73.2 14.13 5.00 48.00 1.94270 1082.3 0.01163 263.25 417.44 1.2080 1.6852 1.419 1.113 1.586 417 152.6 123.1 14.18 72.3 14.45 4.74 50.00 1.94270 1082.3 0.01048 268.89 417.63 1.2248 1.6795 1.461 1.173 1.644 396 150.8 116.9 14.47 70.4 15.14 4.24 54.00 56.00 2.22390 1052.0 0.00995 271.76 417.66 1.2333 1.6766 1.485 1.208 1.677 386 149.8 113.8 14.63 69.5 15.52 4.00 56.00 2.322400 1041.3 0.00944 274.66 417.63 1.2418 1.6736 1.511 1.246 1.714 375 148.8 110.7 14.80 68.6 15.92 3.75 58.00 60.00 2.42750 1030.4 0.00896 277.61 417.55 1.2504 1.6705 1.539 1.287 1.755 364 147.7 107.6 14.98 67.6 16.36 3.51 60.00 60.00 2.99740 969.7 0.00685 293.10 416.09 1.2245 1.6529 1.743 1.584 2.056 309 141.7 92.4 16.02 62.9 19.16 2.36 70.00 1.99740 969.7 0.00685 293.10 416.09 1.2245 1.6529 1.743 1.584 2.056 309 141.7 92.4 16.02 62.9 19.16 2.36 70.00 1.99740 969.7 0.00685 293.10 416.09 1.2945 1.6529 1.743 1.584 2.056 309 141.7 92.4 16.02 62.9 19.16 2.36 70.00 1.99740 969.7 0.00685 293.10 416.09 1.2945 1.6529 1.743 1.584 2.056 309 141.7 92.4 16.02 62.9 19.16 2.36 70.00 1.99740 969.7 0.00685 293.10 416.09 1.2945 1.6529 1.743 1.584 2.056 309 141.7 92.4 16.02 62.9 19.16 2.36 70.00 1.99740 969.7 0.00685 293.10 416.09 1.2945 1.6529 1.743 1.584 2.056 3.09 141.7 92.4 16.02 62.9 19.16 2.36 70.00 1.99740 969.7 0.00685 293.10 414.99 1.3177 1.642 1.913 1.832 2.315 2.80 138.1 84.6 16.70 60.6 21.16 1.82 75.00 85.00 4.03780 844.8 0.00434 320.38 408.19 1.36690 1.6142 2.682 2.984 3.532 2.15 2.80 138.1 84.6 16.70 60.6 21.16 1.82 75.00 85.00 4.88240 66.29 0.00262 349.56 387.28 1.4462 1.5486 17.31 25.29 66.43 128 118.0 44.4 2.476 83.5 59.15 0.00 90.00 90.00 4.44230 780.1 0.00356 332.09 401.87 1.4001 1.5922 3.981 4.975 5.626 177 124.6 58.3 2.048 59.3 34.55 0.00 90.00 90.00 90.00 4.42200 52.80 52.80 52.80 52.80 52.80 52.80 52.80 52.80 52.80 52.80 52.80 52																			
48.00 1.85510 1091.9 0.01226 260.47 417.27 1.1997 1.6879 1.401 1.086 1.561 427 153.4 126.3 14.04 73.2 14.13 5.00 48.00 1.94270 1082.3 0.01163 263.25 417.44 1.2080 1.6852 1.419 1.113 1.586 417 152.6 123.1 14.18 72.3 14.45 4.74 50.00 1.0000 1.000 1.000 1.0000 1.000 1.000 1.000 1.000 1.000 1.0000 1.0000 1.0000 1.0000 1.0000 1.0000																			
\$2.00 2.03350 1072.4 0.01104 266.05 417.56 1.2164 1.6824 1.439 1.142 1.614 407 151.7 120.0 14.32 71.4 14.78 4.49 52.00   \$54.00 2.12700 1062.3 0.01048 268.89 417.63 1.2248 1.6795 1.461 1.173 1.644 396 150.8 116.9 14.47 70.4 151.14 4.24 54.00   \$56.00 2.22390 1052.0 0.00995 271.76 417.66 1.2333 1.6766 1.485 1.208 1.677 386 149.8 113.8 14.63 69.5 15.52 4.00 56.00   \$85.00 2.32400 1041.3 0.00944 274.66 417.63 1.2418 1.6736 1.511 1.246 1.714 375 148.8 110.7 14.80 68.6 15.92 3.75 58.00   \$60.00 2.42750 1030.4 0.00896 277.61 417.55 1.2504 1.6705 1.539 1.287 1.755 364 147.7 107.6 14.98 67.6 16.36 3.51 60.00   \$65.00 2.70120 1001.4 0.00785 285.18 417.06 1.2722 1.6622 1.6622 1.626 1.413 1.881 337 144.9 100.0 15.46 65.3 17.61 2.92 65.00   \$75.00 3.31770 934.4 0.00595 301.46 414.49 1.3177 1.6424 1.913 1.832 2.315 280 138.1 84.6 16.70 60.2 62.9 19.16 2.36 70.00   \$85.00 4.03780 844.8 0.00434 320.38 408.19 1.3690 1.6142 2.682 2.984 3.532 215 280 138.1 84.6 16.70 60.2 11.6 1.82 75.00   \$85.00 4.03780 844.8 0.00434 320.38 408.19 1.3690 1.6142 2.682 2.984 3.532 215 129.7 68.1 18.71 57.4 27.82 0.83 85.00   \$90.00 4.44230 780.1 0.00356 332.09 401.87 1.44001 1.5922 3.981 4.975 5.626 177 124.6 58.3 20.48 59.3 34.55 0.40 90.00   \$90.00 4.88240 662.9 0.00262 349.56 387.28 1.4462 1.5486 17.31 25.29 26.43 128 118.0 44.4 2.4.76 83.5 59.15 0.00 90.00 96.15	48.00 1.	85510	1091.9	0.01226														5.00	48.00
54.00 2.12700 1062.3 0.01048 268.89 417.63 1.2248 1.6795 1.461 1.173 1.644 396 150.8 116.9 14.47 70.4 15.14 4.24 54.00 1062.0 0.023200 1052.0 0.00995 271.76 417.66 1.2333 1.6766 1.485 1.208 1.677 386 149.8 113.8 14.63 69.5 15.52 4.00 56.00 2.32400 1041.3 0.00944 274.66 417.63 1.2418 1.6736 1.511 1.246 1.714 375 148.8 110.7 14.80 68.6 15.92 3.75 58.00 600 2.42750 1030.4 0.00896 277.61 417.55 1.2504 1.6705 1.539 1.287 1.755 36 147.7 107.6 14.98 67.6 16.36 3.51 60.00 65.00 2.70120 1001.4 0.00785 285.18 417.06 1.2722 1.6622 1.622 1.622 1.622 1.622 1.413 1.881 337 144.9 100.0 15.46 65.3 17.61 2.92 65.00 10.00 2.99740 969.7 0.00685 293.10 416.09 1.2945 1.6529 1.743 1.584 2.056 309 141.7 92.4 16.02 62.9 19.16 2.36 70.00 1.00 2.99740 3.61380 893.7 0.00512 310.44 412.01 1.3472 1.6224 1.913 1.832 2.315 280 138.1 84.6 16.70 60.6 21.16 1.82 75.00 30.00 3.66380 893.7 0.00512 310.44 12.01 1.3423 1.6299 2.181 2.231 2.735 249 134.2 76.6 17.55 58.6 23.87 1.30 80.00 85.00 4.03780 844.8 0.00434 320.38 408.19 1.3690 1.6142 2.682 2.984 3.532 215 129.7 68.1 18.71 57.4 27.82 0.83 85.00 90.00 4.44230 780.1 0.00356 332.09 401.87 1.4001 1.5922 3.981 4.975 5.626 177 124.6 58.3 20.48 59.3 34.55 0.40 90.00 56.05 4.9900 523.8 0.0019 366.90 4.88240 662.9 0.00262 349.56 387.28 1.4462 1.5486 17.31 25.29 26.43 128 118.0 44.4 24.76 83.5 59.15 0.00 90.00 96.15	50.00 1.	94270	1082.3	0.01163															
56.00 2.22390 1052.0 0.00995 271.76 417.66 1.2333 1.6766 1.485 1.208 1.677 386 149.8 113.8 14.63 69.5 15.52 4.00 56.00 58.00 2.32400 1041.3 0.00944 274.66 417.63 1.2418 1.6736 1.511 1.246 1.714 375 148.8 110.7 14.80 68.6 15.92 3.75 58.00 60.00 2.42750 1030.4 0.00895 277.61 417.55 1.2504 1.6705 1.539 1.287 1.755 364 147.7 107.6 14.98 67.6 16.36 3.51 60.00 65.00 2.70120 1001.4 0.00785 285.18 417.06 1.2722 1.6622 1.626 1.413 1.881 337 144.9 100.0 15.46 65.3 17.61 2.92 65.00 17.00 2.99740 96.7 0.00685 293.10 410.09 1.2945 1.6529 1.743 1.584 2.056 30.9 141.7 92.4 16.02 62.9 19.16 2.36 70.00 17.00 3.31770 934.4 0.00595 301.46 414.49 1.3177 1.6424 1.913 1.832 2.315 280 138.1 84.6 16.70 60.6 21.16 1.82 75.00 3.66380 893.7 0.00512 310.44 412.01 1.3423 1.6299 2.181 2.231 2.735 249 134.2 76.6 17.55 58.6 23.87 1.30 80.00 85.00 4.03780 844.8 0.00434 320.38 408.19 1.3690 1.6142 2.682 2.984 3.532 2.15 129.7 68.1 18.71 57.4 27.82 0.83 85.00 4.03780 844.8 0.00434 320.38 408.19 1.3690 1.6142 2.682 2.984 3.532 2.15 129.7 68.1 18.71 57.4 27.82 0.83 85.00 4.03780 844.8 0.00434 320.38 408.19 1.3690 1.6142 2.682 2.984 3.532 2.15 129.7 68.1 18.71 57.4 27.82 0.83 85.00 4.03780 844.8 0.00434 320.38 408.19 1.3690 1.6142 2.682 2.984 3.532 2.15 129.7 68.1 18.71 57.4 27.82 0.83 85.00 4.03780 844.8 0.00434 320.38 408.19 1.3690 1.6142 2.682 2.984 3.532 2.15 129.7 68.1 18.71 57.4 27.82 0.83 85.00 4.03780 844.8 0.00434 320.38 408.19 1.3690 1.6142 2.682 2.984 3.532 2.15 129.7 68.1 18.71 57.4 27.82 0.83 85.00 4.03780 844.8 0.00434 320.38 408.19 1.3690 1.54920 3.981 4.975 5.626 177 124.6 58.3 20.48 59.3 34.55 0.40 90.00 90.																			
\$8.00 2.32400 1041.3 0.00944 274.66 417.63 1.2418 1.6736 1.511 1.246 1.714 375 148.8 110.7 14.80 68.6 15.92 3.75 58.00   60.00 2.42750 1030.4 0.00896 277.61 417.55 1.2504 1.6705 1.539 1.287 1.755 364 147.7 107.6 14.98 67.6 16.36 3.51 60.00   65.00 2.70120 1001.4 0.00785 285.18 417.06 1.2722 1.6622 1.626 1.413 1.881 337 144.9 100.0 15.46 65.3 17.61 2.92 65.00   70.00 2.99740 96.7 0.00685 293.10 416.09 1.2945 1.6529 1.743 1.584 2.056 30.9 141.7 92.4 16.02 62.9 19.16 2.36 70.00   75.00 3.31770 934.4 0.00595 301.46 414.49 1.3177 1.6424 1.913 1.832 2.315 280 188.1 84.6 16.70 60.6 21.16 1.82 75.00   80.00 3.66380 893.7 0.00512 310.44 412.01 1.3423 1.6299 2.181 2.31 2.735 249 134.2 76.6 17.55 58.6 23.87 1.30 80.00   85.00 4.03780 844.8 0.00434 320.38 408.19 1.3690 1.6142 2.682 2.984 3.532 215 129.7 68.1 18.71 57.4 27.82 0.83 85.00   96.00 4.84230 780.1 0.00356 332.09 401.87 1.4001 1.5922 3.981 4.975 5.626 177 124.6 58.3 20.48 59.3 34.55 0.40 90.00   96.155 4.99000 523.8 0.00191 366.90 366.90 1.4927 1.4927    \$\omega\$ \infty\$ \inf	56.00 2.	22390	1052.0	0.00995															
65.00 2.70120 1001.4 0.00785 285.18 417.06 1.2722 1.6622 1.626 1.413 1.881 337 144.9 100.0 15.46 65.3 17.61 2.92 65.00   70.00 2.99740 96.7 0.00685 293.10 416.09 1.2945 1.6529 1.743 1.584 2.056 309 141.7 92.4 16.02 62.9 19.16 2.36 70.00   75.00 3.31770 934.4 0.00595 301.46 414.49 1.3177 1.6424 1.913 1.832 2.315 280 138.1 84.6 16.70 60.6 21.16 1.82 75.00   85.00 4.03780 844.8 0.00434 320.38 408.19 1.3690 1.6142 2.682 2.984 3.532 215 129.7 68.1 18.71 57.4 27.82 0.83 85.00   90.00 4.44230 780.1 0.00356 332.09 401.87 1.4001 1.5922 3.981 4.975 5.626 177 124.6 58.3 20.48 59.3 34.55 0.40 90.00   90.00 4.88240 662.9 0.00262 349.56 387.28 1.4462 1.5486 17.31 25.29 26.43 128 118.0 44.4 24.76 83.5 59.15 0.05 90.00   90.01 4.99000 1.55 4.99000 1.00 1.00 1.00 1.00 1.00 1.00 1.0	58.00 2.	32400	1041.3	0.00944	274.66	417.63										68.6	15.92	3.75	
75.00 3.31770 934.4 0.00595 301.46 414.49 1.3177 1.6424 1.913 1.832 2.315 280 138.1 84.6 16.70 60.6 21.16 1.82 75.00 80.00 3.66380 893.7 0.00512 310.44 12.01 1.3423 1.6299 2.181 2.231 2.735 249 134.2 76.6 17.55 58.6 23.87 1.30 80.00 85.00 4.03780 844.8 0.00434 320.38 408.19 1.3690 1.6142 2.682 2.984 3.532 215 129.7 68.1 18.71 57.4 27.82 0.83 85.00 40.87 1.4001 1.5922 3.981 4.975 5.626 177 124.6 58.3 20.48 59.3 34.55 0.40 90.00 4.44230 780.1 0.00356 332.09 401.87 1.4001 1.5922 3.981 4.975 5.626 177 124.6 58.3 20.48 59.3 34.55 0.40 90.00 4.54230 4.9840 662.9 0.00262 349.56 387.28 1.4462 1.5486 17.31 25.29 26.43 128 118.0 44.4 24.76 83.5 59.15 0.05 95.00 4.88240 662.9 0.00262 349.56 366.90 1.4927 1.4927 ∞ ∞ ∞ ∞ 0 0 0.0 — ∞ ∞ ∞ ∞ 0 0.00 96.15	65 00 2	70120	1030.4				1.2504	1.6705	1.539	1.287	1.755								
75.00 3.31770 934.4 0.00595 301.46 414.49 1.3177 1.6424 1.913 1.832 2.315 280 138.1 84.6 16.70 60.6 21.16 1.82 75.00 80.00 3.66380 893.7 0.00512 310.44 412.01 1.3423 1.6299 2.181 2.231 2.735 249 134.2 76.6 17.55 58.6 23.87 1.30 80.00 85.00 4.03789 844.8 0.00434 320.38 408.19 1.3690 1.6142 2.682 2.984 3.532 215 129.7 68.1 18.71 57.4 27.82 0.83 85.00 90.00 4.44230 780.1 0.00356 332.09 401.87 1.4001 1.5922 3.981 4.975 5.626 177 124.6 58.3 20.48 59.3 34.55 0.40 90.00 4.88240 662.9 0.00262 349.56 387.28 1.4462 1.5486 17.31 25.29 26.43 128 118.0 44.4 24.76 83.5 59.15 0.05 95.00 96.15 4.99000 2.38 0.00191 366.90 366.90 1.4927 1.4927	70.00 2																		
80.00 3,66380 893,7 0.00512 310.44 412.01 1.3423 1.6299 2.181 2.231 2.735 249 134.2 76.6 17.55 58.6 23.87 1.30 80.00   85.00 4.03780 844.8 0.00434 320.38 408.19 1.3690 1.6142 2.682 2.984 3.532 215 129.7 68.1 18.71 57.4 27.82 0.83 85.00   90.00 4.44230 780.1 0.00356 332.09 401.87 1.4001 1.5922 3.981 4.975 5.626 177 124.6 58.3 20.48 59.3 34.55 0.40 90.00   95.00 4.88240 662.9 0.00262 349.56 387.28 1.4462 1.5486 17.31 25.29 26.43 128 118.0 44.4 24.76 83.5 59.15 0.05 95.00   96.15 4.99000 1.00 1.00 1.00 1.00 1.00 1.00 1.0	75.00 3.	.31770																	75.00
90.00 4.03780 844.8 0.00434 320.38 408.19 1.3690 1.6142 2.682 2.984 3.532 215 129.7 68.1 18.71 57.4 27.82 0.83 89.00 90.00 4.44230 780.1 0.00356 332.09 401.87 1.4001 1.5922 3.981 4.975 5.626 177 124.6 58.3 20.48 59.3 34.55 0.40 90.00 95.00 4.88240 662.9 0.00262 349.56 387.28 1.4462 1.5486 17.31 25.29 26.43 128 118.0 44.4 24.76 83.5 59.15 0.05 95.00 96.15 4.99000 523.8 0.00191 366.90 366.90 1.4927 1.4927			893.7	0.00512	310.44										17.55	58.6	23,87		
95.00 4.88240 662.9 0.00262 349.56 387.28 1.4462 1.5486 17.31 25.29 26.43 128 118.0 44.4 24.76 83.5 59.15 0.05 95.00 96.15 4.99000 523.8 0.00191 366.90 366.90 1.4927 1.4927 $\varpi$ $\varpi$ $\varpi$ $\varpi$ 0 0 0.0 — — $\varpi$ $\varpi$ 0.00 96.15										2.984									
96.15° 4.99000 523.8 0.00191 366.90 366.90 1.4927 1.4927 \omega \																			
Critical point														-	-			STATE OF THE PARTY OF	COLUMN COLUMN
	Temperatu	res on IT	S-90 scal	c		TO SERVICE		1115		- ASSAULT	1/2	BIT	TEST				Hill	Critic	al point

Refrigerant 22 (Chlorodifluoromethane) Properties of Saturated Liquid and Saturated Vapor

T	Pres-	TO COMPANY OF THE PARTY OF	Volume,	COL	halpy,	Enti	гору,	Specifi	c Heat	UI SAL	Veloc	ity of	-	Saturat		oor Cond.,		
Temp.,	sure, MPa	Liquid	m <sup>3</sup> /kg Vapor	Liquid	A STATE OF THE PARTY OF THE PAR	Liquid	Vapor	Cp, k3/		Cp/Cy Vapor	Soun	d, m/s	μP	A-8	mW/	(m·K)	Surface Tension	, Temp.,*
-100.00			8,26600	90.71	358.97	0.5050	2.0543	1.061	0.497	1,243	1127	143.6	Liquid 845.8	7.25	Liquid	MICH AND	mN/m	°C_
-90.00 -80.00	0.00481		3.64480 1.77820	101.32	363.85 368.77	0.5646	1.9980	1.061	0.512	1.237	1080	147.0	699.4	7,67	143,1 137,8	4.46	28.12	-100.00 -90.00
-70.00	0.02047	1491.2	0.94342	122.58	373.70	0.0210	1.9508	1.062	0.528	1.233	1033 986	150.3	591.0	8.09	132.6	5.25	24.63	-80.00
-60.00 -50.00		1463.7 1435.6	0.53680	133.27	378.59	0.7260	1.8770	1.071	0.564	1.230	940	153.3 156.0	507.6	8.52 8.94	127.6 122.6	5.68	22.92	-70.00
-48.00	0.00453			144.03	383.42 384.37	0.7752	1.8480	1.079	0.585	1.232	893	158.3	387.5	9.36	117.8	6.59	19.58	-60.00 -50.00
-46.00	0.07894	1424.2	0.26837	148.36	385.32	0.7944	1.8376	1.081	0.589	1.233	884 875	158.7	377.8 368.6	9.45	116.9	6.69	19.25	-48.00
-44.00 -42.00	0.08705 0.09580			150.53	386.26	0.8039	1.8327	1.086	0.599	1.235	865	159,5	359.6	9.53 9.62	115.9	6.79	18.92	-46.00 -44.00
	0.10132			152.70 154.00	387.20 387.75	0.8134	1.8278	1.088	0.603	1.236	856	159.9	351.0	9.70	114.0	6.99	18.27	-42.00
-40.00	0.10523	1406.8	0.20521	154.89	388.13	0.8227	1.8231	1.090	0.606	1.236	851 847	160.1	346.0 342.6	9.75 9.79	113.5	7.05	18.08	-40.81
-38.00 -36.00	0.11538 0.12628			157.07	389.06	0.8320	1.8186	1.093	0.613	1.238	838	160.6	334.5	9.87	112.2	7.19	17.94	-40.00 -38.00
-34.00				159.27 161.47	389.97 390.89	0.8413 0.8505	1.8141	1.096	0.619	1.239	828	160.9	326.7	9.96	111.2	7.29	17.30	-36.00
-32.00	0.15050			163.67	391.79	0.8596	1.8056	1.102	0.624	1.241	819 810	161.2	319.1	10.04	110.3	7.40	16.98	-34.00
-30.00 -28.00	0.16389 0.17819	1377.2		165.88	392.69	0.8687	1.8015	1.105	0.635	1.244	800	161.8	304.6	10.21	108.5	7.61	16.66	-32.00 -30.00
-26.00	0.17619	1365.0		168.10	393,58 394,47	0.8778	1.7975	1.108	0.641	1.246	791	162,0	297.7	10.29	107,5	7.72	16.02	-28.00
-24.00	0.20968	1358.9	0.10749	172.56	395.34	0.8957	1.7899	1.115	0.646	1.248	782 772	162.5	291.0 284.4	10.38	106.6	7.83 7.94	15.70	-26.00 -24.00
-22.00	0.22696			174.80	396.21	0.9046	1.7862	1.119	0.659	1.253	763	162.7	278.1	10.55	104.8	8.06	15.07	-22.00
-20.00 -18.00	0.24531 0.26479			177.04 179.30	397.06 397.91	0.9135	1.7826	1.123	0.665	1.255	754	162.8	271.9	10.63	103.9	8.17	14.76	-20.00
-16,00	0.28543			181.56	398.75	0.9311	1.7757	1.131	0.678	1.261	744	163.0	265,9 260.1	10.72	103,0	8.29 8.40	14.45	-18.00 -16.00
-14.00	0.30728			183.83	399.57	0.9398	1.7723	1.135	0.685	1.264	726	163.2	254.4	10.89	101.1	8.52	13.83	-14.00
-12.00 -10.00	0.33038			186.11 188.40	400.39	0.9485 0.9572	1.7690	1.139	0.692	1.267	716	163.3 163.3	248.8 243.4	10.98	100.2 99.3	8.65	13.52	-12.00
-8.00	0.38054			190.70	401.99	0.9658	1.7627	1.149	0.707	1.274	697	163.4	238.1	11.06	98.4	8.77 8.89	13.21	-10.00 -8.00
-6.00	0.40769			193.01	402.77	0.9744	1.7596	1.154	0.715	1.278	688	163,4	233.0	11.24	97.5	9.02	12.60	-6.00
-4.00 -2.00	0.43628			195.33 197.66	403.55	0.9830	1.7566	1.159	0.722	1.282	679	163,4 163,4	227.9	11.32	96.6	9.15 9.28	12.30	-4.00 -2.00
0.00	0.49799			200,00	405.05	1.0000	1.7507	1.169	0.739	1.291	660	163.3	218.2	11.50	94.8	9.42	11.70	0.00
2.00	0.53120			202.35	405.78	1.0085	1.7478	1.175	0.748	1.296	650	163.2	213.5	11.59	93.9	9.56	11.40	2.00
4.00 6.00	0.56605			204.71 207.09	406.50	1.0169	1.7450	1.181	0.757	1.301	641	163.1 163.0	208.9	11.68	93.1	9.70 9.84	11.10	4.00 6.00
8.00	0.64088			209.47	407.89	1.0338	1.7395	1.193	0.775	1.313	622	162.8	200.0	11.86	91.3	9,99	10.51	8.00
10.00		1246.7		211.87	408.56	1.0422	1,7368	1.199	0.785	1.319	613	162.6	195.7	11.96	90.4	10,14	9.93	10.00
12.00	0.72286 0.76668			214.28 216.70	409.21	1.0505	1.7341	1.206	0.795	1.326	603 594	162.4	191.5 187.3	12.05	89.5 88.6	10.45	9.64	12.00
	0.81244			219.14	410.47	1.0672	1.7289	1.220	0.817	1.340	584	161.9	183.2	12.24	87.7	10.61	9,35	16.00
18.00	0.86020	1217.4		221.59	411.07	1.0755	1.7263	1.228	0.828	1.348	575 565	161.6	179.2 175.3	12.33	86.8 85.9	10.77	9.06 8.78	18.00
20.00	0.91002	1209.9		224.06	411.66	1.0838	1.7238	1.236	0.853	1.366	555	161.0	171.5	12.53	85,0	11.12	8.50	22.00
24.00	1.01600			229.04	412.77	1.1004	1.7187	1.252	0 866	1.375	546	160.6	167.7	12.63	84.1	11.30	8.22	24,00
26.00	1.07240			231.55	413.29	1.1086	1.7162	1.261	0.879	1.385	536 527	160.2 159.7	163.9	12.74	83.2 82.3	11.49	7.94	26.00 28.00
28.00 30.00	1.13090	1178.8		234.08	413.79	1.1169	1.7136	1.281	0.908	1,408	517	159.2	156.7	12.95	81.4	11,89	7.38	30.00
32.00	1.25520			239.19	414.71	1.1334	1.7086	1.291	0.924	1.420	507	158.7	153.1	13.06	80.5	12,10	7.11 6.84	32,00 34.00
34.00	1.32100			241.77	415.14	1.1417	1,7061	1.302	0.940	1.434	497 487	158.2 157.6	149.6	13.17 13.28	79.6 78.7	12.31	6.57	36.00
	1.38920				415.54	1,1499	1.7036	1.326	0.976	1.463	478	157.0	142.7	13.40	77.8	12.77	6.30	38.00
	1.53360			249.65		1.1665	1.6985	1.339	0.995	1.480	468	156.4	139.4	13.52	76.9	13.02	6.04 5.77	40.00 42.00
100000000000000000000000000000000000000	1.60980			252.32		1.1747	1.6959	1.353	1.015	1.498	458 448	155.7 155.0	136.1 132.8	13.64	76.0 75.1	13.55	5.51	44.00
100000	1.68870			255.01 257.73	416.83	1.1830	1,6933	1.384	1.061	1.538	437	154.2	129.5	13.90	74.1	13.83	5.25	46.00 48.00
	1.85510			260.47	417.27	1,1997	1.6879	1.401	1.086	1.561	427	153.4	126.3	14.04	73.2	14.13	5.00 4.74	50.00
	1.94270			263.25		1.2080	1.6852	1.419	1.113	1.586	417	152.6	123.1	14.18	71.4	14,78	4.49	52.00
	2.03330			266.05	417.56	1,2164	1.6824	1.439	1.173	1.644	396	150.8	116.9	14.47	70.4	15.14	4.24	54.00 56.00
	2.22390			271.76	417.66	1.2333	1.6766	1.485	1.208	1.677	386	149.8	113.8	14.63	69.5 68.6	15.52	3.75	58.00
	2.32400			274.66		1,2418	1.6736	1.511	1.246	1.714	375 364	148.8	110.7	14.98	67.6	16.36	3.51	60.00
	2.42750 2.70120			277.61 285.18	417.55	1.2504	1.6705		1.413	1.881	337	144.9	100.0	15.46	65.3	17.61	2.92	65.00 70.00
State of the last	2,99740		0.00685		416.09	1.2945	1.6529	1.743	1.584	2.056	309	141.7	92.4	16.02	62.9	21.16	1.82	75.00
	3,31770	934.4	0.00595	301.46		1.3177	1.6424	1.913	1.832	2.735	280	138.1	76.6	17.55	58.6	23.87	1.30	80.00 85.00
	3.66380 4.03780		0.00512		412.01	1.3423	1.6299		2.984	3.532	215	129.7	68.1	18.71	57.4 59.3	27.82 34.55	0.83	90.00
90.00	4.44230		0.00356		401.87	1.4001	1.5922	3.981	4.975	5,626	177	124.6 118.0	58.3	20.48	83.5	59.15	0.05	95.00
	4,88240		0.00262		387.28	1.4462	1.5486	17.31 ∞	25.29 ∞	26.43 ∞	128	0.0	-	=	00	60	0.00	96.15 fical point
and the latest the	4.99000 tures on Γ		0.00191	366.90	366,90	1.4747	1,1221		mal boili								Cili	
Lunger	unts on 1	13-30 NG	State of			+0			The state of the s									

## LEMBAR ASISTENSI TUGAS AKHIR

Upaya Peningkatan Performance Acwh Dengan Penambahan Sirip Pada Apk Shell Helical Coil

Nama: Ulil Amri NPM: 1507230164

Dosen Pembimbing 1: Chandra A Siregar, S.T., M.T.

2. Saltv /5-7-2019 perbaili lab 19 3. Saltv 29-8-2019 Ret-up alat lisi 4. Lateration pendiat lisi 4. Lateration Pendia la languation lee pendindry 19 5. Servin - 2020: Perbaile prosedur peneli- hair facili lagi Bab-3  prosedur penelitian 1/2120: Nesbaulei lagi prosedur	raf
2. Saltu /5 - 7-2019 perbaili lab 19 3. Saltu /5 - 7-2019 perbaili lab 19 4. Latarathan Pabu 23/10-2019. langutkan be pembindry 19 5. Senin - 2020: Perbaiki prosedur peneli- han tan 10 2020: perbaiki kagi Bab-3 prosedur penelitian 11-2121: Mesbailij Ragi prosedur	4
2. Sabh 29-8-2019 Set-up alet wii  4. Langutten per out wii  4. Langutten lee pembinday 1  Februite prosedur peneli-  5. Senin - 2020: Perbaile prosedur peneli-  han  han  hagi Bab-3  prosedur penelitian  1/2121: Merbaile Ragi Prosedur	4
peter 23/10-2019. langutten lee pembintony 1]  5. Servin - 2020: Perbaile prosedur peneli- han han 10 2020: perbaile lagi Bab-3  prosedur penelitian 1/2121: Perbaile lagi prosedur	4
5. Semin \( \frac{6}{2020} : \text{Perbailer prosedur penels} \)  6. Semin \( \frac{10}{2020} : \text{Perbailer lagi Bab-3} \)  6. Sumal \( \frac{10}{2020} : \text{perbailer lagi Bab-3} \)  1/2121: Nestanler lagi prosedur	4
5. Juna 1 2020: persedur penelitian	344
12120. Mestantes region	H
1 00 60 10000	74
- Kembar	<i>'</i> J'
6. Sabtu 7 avav Lan hasid.  - kembali ke prembirlig  7. Sahin 13/1-2020 8044.  Are servina	2



## MAJELIS PENDIDIKAN TINGGI PENELITIAN & PENGEMBANGAN

# UNIVERSITAS MUHAMMADIYAH SUMATERA UTARA FAKULTAS TEKNIK

Jalan Kapten Muchtar Basri No. 3 Medan 20238 Telp. (061) 6622400 - EXT. 12
Website: http://fatek.umsu.ac.id E-mail: fatek@umsu.ac.id

Bila menjawab surat ini agar disebutkan nomor dan tanggalnya

## PENENTUAN TUGAS AKHIR DAN PENGHUJUKAN DOSEN PEMBIMBING

#### Nomor 645/3AU/UMSU-07/F/2019

Dekan Fakultas Teknik Universitas Muhammadiyah Sumatera Utara, berdasarkan rekomendasi Atas Nama Ketua Program Studi Teknik Mesin Pada Tanggal 10 Mei 2019 dengan ini Menetapkan:

Nama

: ULIL AMRI

Npm

: 1507230164

Program Studi

: TEKNIK Mesin

Semester

: VIII ( Delapan )

Judul Tugas Akhir

: PENGARUH VARIASI VOLUME AIR TERHADAP EFEKTIVITAS

PENUKAR PANAS TIPE HELLICAL COIL

Pembimbing 1

1 : CHANDRA A SIREGAR ST.MT

Pembimbing 11

: AHMAD MARABDI SIREGAR ST.MT

 Bila Judul Tugas Akhir kurang sesuai dapat diganti Oleh Dosen pembimbing setelah mendapat persetujuan dari program Studi Teknik Mesin

2. Menulis Tugas Akhir dinyatakan batal setelah 1 (satu) Tahun dan tanggal yang telah ditetapkan.

Demikian surat penunjukan dosen Pembimbing dan menetapkan Judul Tugas Akhir ini dibuat untuk dapat dilaksanakan sebagaimana mestinya.

Ditetapkan di Medan pada Tanggal.

Medan 05 Ramadhan 1440 H

10 Mei 2019

Dekan

Muhawar Alfansury Siregar, ST.,MT

NIDN: 0101017202

Cc. File

DAFTAR HADIR SEMINAR TUGAS AKHIR TEKNIK MESIN FAKULTAS TEKNIK – UMSU TAHUN AKADEMIK 2019 - 2020

Peserta Seminar

Nama : Ulil Amri NPM : 1507230164

Judul Tugas Akhir : Upaya Peningkatan Performance Acwh Dengan Penam-

Bahan Sirip Pada Apk Shell Helical Coil.

## DAFTAR HADIR

Pembimbing - I : Chandra A Sieregar.S.T.M.T

Pembimbing – II : Ahmad Marabdi Siregar.S,T.M.T : .

Pembanding - I : Khairul Umurani.S.T.M.T

Pembanding - II : Affandi.S.T.M.T

No	NPM	Nama Mahasiswa	Tanda Tangan
1	1507230178	DANA SETIAWAN	But
2	1507730084	HOSEM (FIFERIDI	AH-
3	1607230075	M. FAMALUDIN WAHDAND	Mud
4	1607230046	M. YEIP MALLANA	May.
5	1607230062	ALDI TRISMA IRAWAN	All
6	1607230080	M. ALFA APRIAN ISMARA	Les
7	1607230069	BAYU AZHARY	7
8			
9			
10			

Medan, 06 Jum. Akhir 1441 H 01 Februari 2020 M

T.Mesin

TANDA TANGAN

## DAFTAR EVALUASI SEMINAR FAKULTAS TEKNIK UNIVERSITAS MUHAMMADIYAH SUMATERA UTARA

	TAS MUHAMMADIYAH SUMATERA UTARA
NPM :	Ulil Amri 1507230164 Upaya Peningkatan Performance Acwh Dengan Penambahan Sirip Pada Apk Shell Helical Coil.
Dosen Pembimbing – I Dosen Pembimbing – II Dosen Pembanding - I Dosen Pembanding - II	: Chandra A Siregar.S.T.M.T : Ahmad Marabdi Siregar.S.T.M.T : Khairul Umurani.S.T.M.T : Affandi.S.T.M.T
	KEPUTUSAN
2. Dapat mengikuti perbaikan antara	ma ke sidang sarjana (collogium) sidang sarjana (collogium) setelah selesai melaksanakan lain:  lain:  Augur Augur  Augur
3. Harus mengikuti Perbaikan :	
	Medan 06 Jum. Akhir 1441 H 01 Februari 2020 M
Diketahui : Ketua Prodi. T.Mo	esin Dosen Pembanding- I

# DAFTAR EVALUASI SEMINAR FAKULTAS TEKNIK UNIVERSITAS MUHAMMADIYAH SUMATERA UTARA

ngan Penambahan
nelaksanakan
6 Jum.Akhir 1441 H Februari 2020 M
embanding- II  Li.S.T.M.T

## DAFTAR RIWAYAT HIDUP



## A. DATA PRIBADI

1. Nama : ULIL AMRI

2. Jenis Kelamin : Laki – Laki

3. Tempat, Tanggal Lahir : MEDAN, 05 - 11 - 1997

4. Kewarganegaraan : Indonesia

5. Status : Belum Kawin

6. Agama : Islam

7. Alamat : Jln.Bajak II H Gg.Ikhlas No 38B

8. No. Hp : 0895611161535

9. Email : amri69420@gmail.com

### B. RIWAYAT PENDIDIKAN

1. 2003 - 2009 : SD TPI (Taman Pendidikan Islam)

2. 2009 – 2012 : MTS N 1 Medan

3. 2012 – 2015 : SMK Negeri 2 Medan

4. 2015 - 2020 : Teknik Mesin, Universitas Muhammadiyah

Sumatera Utara